



การตรวจหาอายุคราบโลหิตด้วย Fourier Transform Infrared Spectroscopy

โดย
นายสราวุช แหนมศิริ

วิทยานิพนธ์นี้เป็นส่วนหนึ่งของการศึกษาตามหลักสูตรปริญญาวิทยาศาสตรมหาบัณฑิต
สาขาวิชานิติวิทยาศาสตร์
บัณฑิตวิทยาลัย มหาวิทยาลัยศิลปากร
ปีการศึกษา 2554
ลิขสิทธิ์ของบัณฑิตวิทยาลัย มหาวิทยาลัยศิลปากร

การตรวจหาอายุคราบโลหิตด้วย Fourier Transform Infrared Spectroscopy

โดย

นายสราวน พยอมศิริ

วิทยานิพนธ์นี้เป็นส่วนหนึ่งของการศึกษาตามหลักสูตรปริญญาวิทยาศาสตรมหาบัณฑิต

สาขาวิชานิพิทธิศาสตร์

บัณฑิตวิทยาลัย มหาวิทยาลัยศิลปากร

ปีการศึกษา 2554

ลิขสิทธิ์ของบัณฑิตวิทยาลัย มหาวิทยาลัยศิลปากร

**DETERMINATION OF THE AGE OF BLOODSTAIN BY FOURIER TRANSFORM
INFRARED SPECTROSCOPY**

By

Mr. Sarawut Yeamsiri

**A Thesis Submitted in Partial Fulfillment of the Requirements for the Degree
Master of Science Program in FORENSIC SCIENCE
Program of Forensic Science
Graduate School, Silpakorn University
Academic Year 2011
Copyright of Graduate School, Silpakorn University**

บัณฑิตวิทยาลัย มหาวิทยาลัยศิลปากร อนุมัติให้วิทยานิพนธ์เรื่อง “ การตรวจหาอายุคราบ โลหิตด้วย Fourier Transform Infrared Spectroscopy ” เสนอโดย นายสราวุช แซมมาร์ เป็นส่วนหนึ่ง ของการศึกษาตามหลักสูตรปริญญาวิทยาศาสตร์บัณฑิต สาขาวิชานิติวิทยาศาสตร์

.....
(ผู้ช่วยศาสตราจารย์ ดร.ปานใจ สารทศนวงศ์)

คณบดีบัณฑิตวิทยาลัย
วันที่.....เดือน..... พ.ศ.....

อาจารย์ที่ปรึกษาวิทยานิพนธ์
อาจารย์ ดร.สุกชัย ศุภลักษณ์นารี

คณะกรรมการตรวจสอบวิทยานิพนธ์

..... ประธานกรรมการ
(อาจารย์ ดร.ศิริรัตน์ ชูสกุลเกรียง)
...../...../.....

..... กรรมการ
(รองศาสตราจารย์ ดร.วีรชัย พุทธวงศ์)
...../...../.....

..... กรรมการ
(อาจารย์ ดร.สุกชัย ศุภลักษณ์นารี)
...../...../.....

52312339 : สาขาวิชานิติวิทยาศาสตร์

คำสำคัญ : อายุคราบโลหิต/นิติวิทยาศาสตร์/FTIR

สรุป หมายเหตุ : การตรวจหาอายุคราบโลหิตด้วย Fourier Transform Infrared Spectroscopy. อาจารย์ที่ปรึกษาวิทยานิพนธ์ : อ.ดร.ศุภชัย ศุภลักษณ์นารี. 68 หน้า.

ทราบโลหิตของมนุษย์เป็นหลักฐานทางนิติวิทยาศาสตร์ที่สำคัญ และมักจะพบในสถานที่เกิดเหตุ ในการศึกษานี้ใช้เทคนิค Fourier Transform Infrared Spectroscopy (FTIR) ในการตรวจประมวลหารอย่างของทราบโลหิต ทำการทดลองโดยนำโลหิตของมนุษย์มาหยดลงบนกระดาษไอล์ด แล้วปล่อยไว้ที่อุณหภูมิห้องที่ระยะเวลาต่าง ๆ กันจากนั้นนำมาเตรียมตัวอย่างโดยใช้วิธี KBr disc และวิเคราะห์ด้วยเทคนิค FTIR

สเปกตรัมของ IR ของทราบโลหิตแสดงองค์ประกอบของ N-H stretching ที่เลขค่าคลื่น 3300 cm^{-1} ซึ่งพีกที่เกิดขึ้นมีลักษณะกว้าง เนื่องจากเกิดการซ้อนทับกันพีกของ O-H stretching ที่เลขค่าคลื่นช่วงนี้ พบรีก Amide I และพีก Amide II ที่เลขค่าคลื่น 1656 cm^{-1} และ 1538 cm^{-1} ตามลำดับ และพบพีกที่เลขค่าคลื่น 1354 cm^{-1} และ 1195 cm^{-1} ที่เกิดจาก PO_4^- stretching ของกรดนิวเคลอิก เมื่อนำพื้นที่ได้พีกที่ช่วงเลขค่าคลื่น $3700 - 3000 \text{ cm}^{-1}$ (A_{3300}) มาใช้ในการคำนวณเป็นอัตราส่วนของพื้นที่ที่รัดได้นี้กับพื้นที่ของพีกที่ไม่มีการเปลี่ยนแปลงเมื่อเวลาผ่านไปในช่วงเลขค่าคลื่น $770 - 730 \text{ cm}^{-1}$ (A_{744}) เมื่อนำอัตราส่วนของพื้นที่พีก $\text{A}_{3300}/\text{A}_{744}$ มาพล็อตกราฟเทียบกับอายุของทราบโลหิต มีการลดลงเป็นเส้นตรงอย่างมีนัยสำคัญตามกราฟสมการเส้นตรง $y = -2.613x + 667.2$ ($R^2 = 1$) เมื่อนำตัวอย่างทราบโลหิตจากแหล่งต่างๆ มาทำการวิเคราะห์หาอายุจากสมการ พบว่าสามารถประมาณอายุของทราบโลหิตได้ใกล้เคียงกับอายุจริงของโลหิต ดังนั้นการศึกษานี้มีความเหมาะสม สามารถนำไปประยุกต์ใช้ในประมาณอายุของทราบโลหิตในที่เกิดเหตุได้

สาขาวิชานิติวิทยาศาสตร์

ลายมือชื่อนักศึกษา.....

ลายมือชื่ออาจารย์ที่ปรึกษาวิทยานิพนธ์.....

บัณฑิตวิทยาลัย มหาวิทยาลัยศิลปากร

ปีการศึกษา 2554

52312339 : MAJOR : FORENSIC SCIENCE

KEY WORD : AGE OF BLOODSTAIN / FORENSIC / FTIR

SARAWUT YEAMSIRI : DETERMINATION OF THE AGE OF BLOODSTAIN BY FOURIER TRANSFORM INFRARED SPECTROSCOPY. THESIS ADVISORS: SUPACHAI SUPALAKNARI, Ph.D. 68 pp.

The human bloodstains are important forensic evidence often found in the event concerned with crime. In this study, the technique of Fourier Transform Infrared Spectroscopy (FTIR) was used to estimate the age of bloodstains. The sample was prepared by placing the bloodstain on microscope slide and kept at ambient temperature for various periods of time. The KBr disc technique was used to prepare the sample for the FTIR measurement.

The IR spectra of the blood sample displayed a broad band of the N-H stretching at around 3300 cm^{-1} . The band was usually found overlapping with the O-H stretching in the region. The amide I and amide II bands were found at the wavenumbers of 1656 cm^{-1} and 1538 cm^{-1} respectively. The band between 1354 cm^{-1} and 1195 cm^{-1} can be ascribed to the stretching of phosphate group in nucleic acid. The integrated area of the bands between 3700 cm^{-1} - 3000 cm^{-1} (A_{3300}) was used to calculate the ratio of the area to the area of the peak in the range of 770cm^{-1} - 730 cm^{-1} (A_{744}). The A_{744} peak was chosen because the peak area was found to be invariable in all samples. The graph plotting A_{3300}/A_{744} versus the age of sample displayed a decreasing trend with a linear regression equation , $y= -2.613+667.2$ ($R^2= 1$). The equation was then used to estimate the age of samples from different source. A good agreement between the estimated age of samples and the known values can be obtained. The results thus showed the potential of the technique for the estimation of the age of bloodstains.

กิตติกรรมประกาศ

การตรวจหาอายุครามโดยทิศด้วย Fourier Transform Infrared Spectroscopy สำเร็จลุล่วงได้ด้วยดี ผู้วิจัยขอบพระคุณ อาจารย์ ดร. ศิริรัตน์ ชูสกุลเกรียง อาจารย์ ดร. ศุภชัย ศุภลักษณ์นรี ที่ได้กรุณาเป็นที่ปรึกษา ให้คำแนะนำ ข้อคิดเห็นที่มีคุณค่าและเป็นประโยชน์ต่องานวิจัยเป็นอย่างยิ่ง และให้ความช่วยเหลือในทุกด้าน และขอบพระคุณอาจารย์ทุกท่านที่ได้ประสิทธิ์ประสาทวิชาให้ความรู้ต่างๆ และขอบพระคุณเป็นอย่างสูงมาก ณ โอกาสนี้

นอกจากนี้ผู้วิจัยขอบพระคุณนางสาวชนวรรณ วัฒนพร และนายพิมันตรี บัวชื่น และอาสาสมัคร และผู้เข้าร่วมการวิจัยทุกท่าน ตลอดจนบุคลากรคณะวิทยาศาสตร์ที่ให้ความช่วยเหลือ สะดวกในการช่วยทำการวิจัย และให้คำแนะนำให้รายงานการวิจัยมีความสมบูรณ์มากยิ่งขึ้น และขอบคุณเพื่อน ๆ และพี่ ๆ ที่มหาวิทยาลัยศิลปากรทุกคนที่เคยให้ความช่วยเหลือให้คำแนะนำช่วยให้การดำเนินงานเป็นไปอย่างราบรื่นมากยิ่งขึ้น

สุดท้ายผู้วิจัยขอบพระคุณมารดา และครอบครัวที่ให้การสนับสนุนช่วยเหลือและเป็นกำลังใจมาโดยตลอด และขอบพระคุณผู้ที่ไม่ได้อ่านมา ณ โอกาสนี้ ซึ่งมีล้วนช่วยเหลือในการวิจัยนี้ประสบผลสำเร็จไปได้ด้วยดี

สารบัญ

	หน้า
บทคัดย่อภาษาไทย.....	๔
บทคัดย่อภาษาอังกฤษ.....	๖
กิตติกรรมประกาศ.....	๘
สารบัญตาราง.....	๙
สารบัญภาพ.....	๑๐
บทที่	
1 บทนำ.....	1
ความเป็นมาและความสำคัญของปัญหา.....	1
ความมุ่งหมายและวัตถุประสงค์ของการวิจัย.....	3
สมมติฐานของการวิจัย.....	3
ขอบเขตของการวิจัย.....	3
ข้อจำกัดของการวิจัย.....	3
คำจำกัดความที่ใช้ในการวิจัย.....	4
กรอบแนวคิดการวิจัย.....	4
ประโยชน์ที่จะได้รับ.....	4
2 เอกสารและงานวิจัยที่เกี่ยวข้อง.....	5
ความรู้เกี่ยวกับโลหิต.....	5
องค์ประกอบของโลหิต.....	7
การเก็บวัตถุพยาน.....	14
การตรวจ rab สเปก.....	16
ความรู้เกี่ยวกับอินฟราเรดสเปกโตรสโคปี.....	18
แสงอินฟราเรด.....	18
การดูดกลืนแสงอินฟราเรด.....	18
ลักษณะการสั่นของพันธะ.....	19
อินฟราเรดสเปกตัรัม.....	19
ส่วนประกอบของเครื่องอินฟราเรดสเปกโตรไฟโตมิเตอร์.....	20
ชนิดของเครื่องอินฟราเรดสเปกโตรไฟโตมิเตอร์.....	20
Fourier Transform Infrared Spectrophotometer (FTIR).....	21

บทที่	หน้า
Diffuse Reflection Infrared Fourier Transform (DRIFT).....	22
เทคนิคการเตรียมตัวอย่าง.....	23
การวิเคราะห์หาปริมาณ.....	23
การแปลงผลสเปกตรัมของ FTIR.....	26
ข้อดีของสเปกโทรฟลูเรียร์แทรนซ์ฟอร์ม.....	27
งานวิจัยที่เกี่ยวข้อง.....	28
3 วิธีดำเนินการวิจัย.....	31
วัสดุอุปกรณ์.....	31
สารเคมี.....	32
วิธีการทดลอง.....	32
การวิเคราะห์ตัวอย่างจริงจากอาสาสมัคร.....	34
4 ผลการวิเคราะห์ข้อมูล.....	35
การวิเคราะห์ตัวอย่างโดยพิเศษด้วยเทคนิค Diffuse Reflectance Infrared Fourier Transform Spectroscopy	35
การวิเคราะห์ตัวอย่างโดยพิเศษด้วยเทคนิค Transmission Infrared Fourier Transform Spectroscopy	37
5 สรุป อภิปราย และ ข้อเสนอแนะ.....	44
สรุปและอภิปรายผล ผลการวิจัย.....	44
ข้อเสนอแนะ.....	45
 บรรณานุกรม.....	 46
 ภาคผนวก.....	 48
ภาคผนวก ก สเปกตรัมที่วิเคราะห์ด้วยเทคนิค Diffuse Reflectance Infrared Fourier Transform Spectroscopy (DRIFT FTIR).....	49
ภาคผนวก ข สเปกตรัมที่วิเคราะห์ด้วยเทคนิค Transmission Infrared Fourier Transform Spectroscopy (TIFT FTIR).....	52
 ประวัติผู้วิจัย.....	 68

สารบัญตาราง

ตารางที่	หน้า
1 ชนิดและปริมาณ โปรตีนในพลาสม่า.....	9
2 ตารางการคูณคลื่นแสงอินฟราเรดในช่วงเลขคลื่นต่างๆ.....	26
3 วัสดุอุปกรณ์.....	31
4 สารเคมี.....	32
5 ช่วงเลขคลื่นที่พบ ในสเปกตรัม ได้จากการวิเคราะห์ของ โลหิต.....	39
6 อัตราส่วนระหว่างพื้นที่ได้พีคที่ช่วงเลขคลื่น $3700 - 3000 \text{ cm}^{-1}$ (A_{3300}) กับพื้นที่ได้พีคของพีคที่ไม่มีการเปลี่ยนแปลง เมื่อระยะเวลาผ่านไปที่ช่วงเลขคลื่น $770 - 730 \text{ cm}^{-1}$ (A_{744}).....	40
7 อัตราส่วนระหว่างพื้นที่ได้พีคที่ช่วงเลขคลื่น $3700 - 3000 \text{ cm}^{-1}$ (A_{3300}) กับพื้นที่ได้พีคของพีคที่ไม่มีการเปลี่ยนแปลง เมื่อระยะเวลาผ่านไปที่ช่วงเลขคลื่น $770 - 730 \text{ cm}^{-1}$ (A_{744}) ของตัวอย่างคราน โลหิตจำนวน 13 ตัวอย่าง.....	42

สารบัญภาพ

ภาพที่	หน้า
1 องค์ประกอบของโลหิต.....	8
2 Fourier Transform Infrared Spectrophotometer.....	21
3 ทิศทางการเคลื่อนที่ของแสงด้วยเทคนิค Diffuse Reflection Infrared Fourier Transform (DRIFT).....	22
4 สเปกตรัมของคราบโลหิตที่ระยะเวลาต่างๆ กัน ในช่วงเลขคู่ 7800-4000 cm ⁻¹ ด้วยเทคนิค DRIFT FTIR.....	35
5 กราฟความสัมพันธ์ระหว่างพื้นที่ใต้พื้น(K-M) ของ Methemoglobin ที่ช่วงเลขคู่ 7123 – 5394 cm ⁻¹ ของตัวอย่างคราบโลหิตกับอายุของคราบโลหิต.....	36
6 สเปกตรัมของคราบโลหิตในช่วงเลขคู่ 4000 – 400 cm ⁻¹	37
7 สเปกตรัมของคราบโลหิตตัวอย่างชั่วโมงที่ 2, 24, 48.....	37
8 ความสัมพันธ์ระหว่างอัตราส่วนพื้นที่ได้พื้นที่เลขคู่ 3700-3000 cm ⁻¹ กับพื้นที่ไม่เปลี่ยนแปลง (A_{3300}/A_{744}) ของตัวอย่างกับอายุของคราบโลหิต โดยใช้ KBr disc...	
	41
9 ความสัมพันธ์ระหว่างอายุจริงของคราบโลหิตกับอายุของคราบโลหิตที่คำนวณได้จากการ.....	43
10 สเปกตรัมของคราบโลหิตที่ระยะเวลาต่างๆ กัน ในช่วงเลขคู่ 4000 - 400 cm ⁻¹	50
11 สเปกตรัมของคราบโลหิตที่ระยะเวลาต่างๆ กัน ในช่วงเลขคู่ 7800-4000 cm ⁻¹	51
12 สเปกตรัมของคราบโลหิตในช่วงเลขคู่ 7800 – 400 cm ⁻¹	53
13 สเปกตรัมของคราบโลหิตแสดงการลดลงของพื้นที่ได้พื้นที่ช่วงระยะเวลา 4 วัน ของวิธีการเตรียมตัวอย่างโดย การใช้ KBr disc ทำการวิเคราะห์ข้าในระยะเวลาต่างกัน	
14 สเปกตรัมของคราบโลหิตตัวอย่างอาสาสมัครคนที่ 1.....	55
15 สเปกตรัมของคราบโลหิตตัวอย่างอาสาสมัครคนที่ 2.....	56
16 สเปกตรัมของคราบโลหิตตัวอย่างอาสาสมัครคนที่ 3.....	57
17 สเปกตรัมของคราบโลหิตตัวอย่างอาสาสมัครคนที่ 4.....	58
18 สเปกตรัมของคราบโลหิตตัวอย่างอาสาสมัครคนที่ 5.....	59
19 สเปกตรัมของคราบโลหิตตัวอย่างอาสาสมัครคนที่ 6.....	60
20 สเปกตรัมของคราบโลหิตตัวอย่างอาสาสมัครคนที่ 7.....	61
21 สเปกตรัมของคราบโลหิตตัวอย่างอาสาสมัครคนที่ 8.....	62

ภาพที่	หน้า
22 สเปกตรัมของกราบโลหิตตัวอย่างอาสาสมัครคนที่ 9.....	63
23 สเปกตรัมของกราบโลหิตตัวอย่างอาสาสมัครคนที่ 10.....	64
24 สเปกตรัมของกราบโลหิตตัวอย่างอาสาสมัครคนที่ 11.....	65
25 สเปกตรัมของกราบโลหิตตัวอย่างอาสาสมัครคนที่ 12.....	66
26 สเปกตรัมของกราบโลหิตตัวอย่างอาสาสมัครคนที่ 13.....	67

บทที่ 1

บทนำ

1. ความเป็นมาและความสำคัญของปัจจุบัน

คดีอาชญากรรมคดีต่างๆ ไม่ว่าจะเป็นข่มขืน ฆาตกรรม ปลดันทรัพย์ ชิงทรัพย์ ทำร้ายร่างกาย วักจาะพบวัตถุพยานทางชีวภาพ เช่น ทราบน้ำลาย ทราบน้ำอสูร ทราบโลหิต เส้นผม เส้นขนปนเสื้อ หรือตกหล่นในสถานที่เกิดเหตุเสมอ โดยเฉพาะทราบโลหิตหรือหยดโลหิตนี้เป็นวัตถุพยานที่มักพบได้บ่อยและมีความสำคัญและสามารถนำมาใช้ในการสืบสวนได้ เช่น ทราบวิธีการกระทำผิดของคนร้าย ทางเส้นทางหนึ่งของคนร้าย ใช้ตรวจยืนยันตัวบุคคลหรือพิสูจน์เอกลักษณ์บุคคลได้และช่วยในการประมาณระยะเวลาการเกิดเหตุ ได้อีกทั้งทราบโลหิตที่พบช่วยบ่งบอกพฤติกรรมของคนร้าย ได้ ลักษณะทราบโลหิตที่ใช้ร่วมในการพิจารณา คือ ตำแหน่งของทราบโลหิต การกระจายตัวของทราบโลหิต ปริมาณทราบโลหิต รูปร่างขนาดของทราบโลหิตและอาศัยพยานหลักฐานในที่เกิดร่วมจะสามารถนำมาทำการประมาณลำดับเหตุการณ์ข้อนหลังได้ (Reconstruction)

การตรวจสอบทราบโลหิตในงานนิติวิทยาศาสตร์นี้ มีวิธีที่ใช้ในการทดสอบเบื้องต้นว่า เป็นทราบโลหิตหรือไม่ คือ การทดสอบเบนซิดีน (Tetramethylbenzidine) และการทดสอบฟีโนลฟทาเลïน (Phenolphthalein) และการทดสอบยืนยันทราบโลหิตว่าเป็นทราบโลหิตมนุษย์ หรือไม่ คือ การทดสอบ Precipitin test โดยอาศัย Anti Human Globulin ที่มีความจำเพาะเจาะจงสูงและการทดสอบหาปริมาณทราบโลหิตโดยที่มีปริมาณน้อยการทดสอบโดยใช้สารลูมินอล (Luminol) และสารบลูสตาร์ (Blue star) และการทดสอบเอกลักษณ์บุคคลโดยอาศัยสารชีวโมเลกุล เช่น การทดสอบ DNA typing สำหรับการประมาณอายุทราบโลหิตนั้นยังคงเป็นปัญหาการปฏิบัติงานเสมอมาในงานด้านนิติวิทยาศาสตร์ วิธีการต่างๆ ทางวิทยาศาสตร์กูญนำมาใช้ เช่น วิธีการวัดค่า อิเล็กตรอนสปินเรโซแนนซ์สามารถตรวจหาอายุทราบโลหิตซึ่งขึ้นกับความเข้มของสัญญาณของ Methemoglobin หรือแม้แต่การใช้โคมไฟของเหลวสมรรถนะสูงเพื่อหาปริมาณองค์ประกอบของส่ายโซ่โลกลินของชีวโมโนโลกลินของเม็ดโลหิตแดงพบการลดลงของอัตราส่วนระหว่างส่ายโซ่โลกลินของชีวโมโนโลกลินของเม็ดโลหิตแดงที่มีความละเอียดระดับ nanometer เพื่อหาค่าความยืดหยุ่น

(Elasticity pattern) ของเซลล์เม็ดโลหิตแดง ที่ลดลงเมื่ออายุครบโลหิตเพิ่มมากขึ้น แต่วิธีการดังกล่าวยังมีข้อจำกัดในเรื่องรายละเอียด มีความผิดพลาดสูง ค่าใช้จ่ายสูง และใช้เวลานานและเป็นวิธีการที่ทำให้ตัวอย่างเสียสภาพ และเป็นการทำให้วัตถุพยานเสื่อมคุณค่า

ปัจจุบันนี้เทคโนโลยีทางด้านเคมีได้เข้ามามีส่วนร่วมในงานด้านนิติวิทยาศาสตร์เป็นอย่างมากและที่่น่าสนใจคือเทคโนโลยีการใช้แสงอินฟราเรดซึ่งเป็นคลื่นแม่เหล็กไฟฟ้าคลื่นแม่เหล็กไฟฟ้า (Electromagnetic Radiation) ที่แบ่งตามความยาวคลื่นในช่วงต่าง ๆ เช่น แสงอินฟราเรดช่วงไกล (FIR) และอินฟราเรดช่วงกลาง (MIR) ที่เหมาะสมสำหรับศึกษาคุณภาพวิเคราะห์และการศึกษาโครงสร้างโมเลกุลที่มีความซับซ้อนที่ให้ลักษณะที่มีความจำเพาะเฉพาะเจาะจงแบบ (Fingerprint) และอินฟราเรดช่วงใกล้ Near Infrared Region (NIR) เป็นการวัดเชิงปริมาณวิเคราะห์สามารถวัดค่าความชื้นสารเคมีที่มีองค์ประกอบของ N-H, O-H และ C-H โดยใช้วัดค่าความชื้น (Moisture) หรือปริมาณของ H_2O ไขมัน (Fats) ปริมาณโปรตีน (Protein) ในผลิตภัณฑ์อาหาร ผลิตภัณฑ์ที่ทำจากเนื้อสัตว์หรือในวัตถุนิ炊 ปริมาณแอลกอฮอล์ในน้ำมันเชื้อเพลิงและได้ถูกนำมาประยุกต์ใช้ในงานด้านนิติวิทยาศาสตร์สำหรับในการการประมาณอายุครบโลหิต โดยใช้เครื่องมือสเปกโตกโนล็อกอินฟราเรดช่วงใกล้ (Near infrared spectroscopy) เพื่อศึกษาหาปริมาณพื้นที่ได้กราฟของพิกน้ำ (H_2O) ที่ความยาวคลื่น 1400 nm และความยาวคลื่น 1900 nm ในครานโลหิต พนักงานลดลงของปริมาณพื้นที่ได้กราฟของ H_2O เมื่อกรานโลหิตมีอายุมากขึ้นตามระยะเวลาและในขณะเดียวกันพบพิกของเมทธิโโนโลกลิน (Methemoglobin) ที่มีพื้นที่ได้กราฟช่วงความยาวคลื่น 1480-1860 nm เพิ่มขึ้นตามระยะเวลาเมื่อกรานโลหิตมีอายุมากขึ้น (Edita et al 2009 : 111) อย่างไรก็ตาม งานวิจัยของเขามีวัตถุประสงค์เพื่อใช้ข้อมูลที่ได้พัฒนาเครื่องมือตรวจอายุครบโลหิตด้วยแสงอินฟราเรดชนิดพกพาท่านั้น และสำหรับประเทศไทยยังไม่ได้มีการวิจัยการการประมาณอายุครบโลหิตโดยใช้เครื่องมือสเปกโตกโนล็อก

เมื่อไม่นานมานี้เทคโนโลยี Fourier Transform Infrared Spectroscopy (FTIR) ที่เป็นส่วนหนึ่งของเครื่องมือ Infrared Spectroscopy ที่ตรวจวิเคราะห์เชิงปริมาณและวิเคราะห์เชิงคุณภาพ สามารถเลือกใช้ช่วงอินฟราเรดในช่วงต่าง ๆ ได้ และใช้กับตัวอย่างที่เป็นของแข็งของเหลวและก้าชได้ ถูกนำมาใช้ในงานด้านนิติวิทยาศาสตร์อย่างกว้างขวาง เช่น การตรวจพิสูจน์เศษสิ่งของศพ ลำดับชั้นของคืน หมึกปากกา หมึกพิมพ์ ยาเสพติด และใช้น้ำมาใช้ในงานชีวเคมีในการแยกสารคัดหลังจากกร่างกายมนุษย์ไม่ว่าจะเป็น โลหิต น้ำลาย น้ำอสุจิ น้ำจากช่องคลอด ได้โดยอาศัยพีค (peak) สัญญาณที่จำเพาะเจาะจงในการแยกอีกทั้งวิธีการนี้เป็นวิธีการตรวจที่สะดวกและรวดเร็ว และที่สำคัญไม่ทำลายตัวอย่าง

ด้วยวิธีการ Fourier Transform Infrared Spectroscopy ที่กล่าวมาข้างต้นเป็นเพียงการใช้เพื่อแยกสารคัดหลังเบื้องต้นเท่านั้น ยังไม่มีนักวิจัยได้ศึกษาการเปลี่ยนแปลงของโปรตีนที่เป็นองค์ประกอบในคราบโลหิตเมื่อเวลาผ่านไปในแต่ละช่วงเวลาเพื่อหาความสัมพันธ์ใช้สำหรับการประมาณอายุคราบโลหิต ซึ่งเห็นได้ว่าหากได้มีการศึกษาวิจัยอย่างจริงจังน่าจะสามารถนำมาใช้ประโยชน์ในงานด้านนิติวิทยาศาสตร์ได้ต่อไป

วิทยานิพนธ์นี้เป็นการศึกษาการเปลี่ยนแปลงของโปรตีนในคราบโลหิตในระยะเวลาต่างๆ โดยวิธี FTIR โดยศึกษาหาปริมาณพื้นที่ได้กราฟของโปรตีนในคราบโลหิต ในช่วงระยะเวลาต่างๆ หลังการหลังโลหิต

2. ความนุ่งหมายและวัตถุประสงค์ของการวิจัย

เพื่อศึกษาวิธีการตรวจหาอายุของคราบโลหิต โดยศึกษาการเปลี่ยนแปลงโปรตีนในคราบโลหิต ในระยะเวลาต่างๆ กันหลังการหลังโลหิตด้วยเทคนิค Fourier Transform Infrared Spectroscopy (FTIR)

3. สมมติฐานของการวิจัย

โปรตีนในคราบโลหิตมีการเปลี่ยนแปลงตามระยะเวลา การเปลี่ยนแปลงของโปรตีนในคราบโลหิตสามารถใช้ในการประมาณอายุคราบโลหิตในสถานที่เกิดเหตุได้

4. ขอบเขตของการวิจัย

4.1 ศึกษาการเปลี่ยนแปลงของโปรตีนในคราบโลหิตโดยการหากราฟมาตรฐานจากพื้นที่ได้พิกที่ช่วงเลขคู่ลีน $3700\text{-}3000\text{ cm}^{-1}$ ด้วยเทคนิค Fourier Transform Infrared Spectroscopy ในตัวอย่างโดยเปรียบเทียบเป็นปอร์เซ็นต์ความเปลี่ยนแปลงสัมพัทธ์

4.2 ทำการประมาณหาอายุของคราบโลหิตด้วยเทคนิค Fourier Transform Infrared Spectroscopy ในตัวอย่างคราบโลหิตจำนวน 13 ตัวอย่าง

5. ข้อจำกัดของงานวิจัย

5.1 การวิจัยนี้ต้องมีการควบคุมนำหนักของโลหิตและนำหนักของ KBr ให้ได้ใกล้เคียงกัน และแน่นอนทุกครั้งที่ทำการวัดซึ่งทำได้ยาก ซึ่งทำให้เกิดความคลาดเคลื่อนในการประมาณอายุ

5.2 การวิเคราะห์ตัวอย่างใช้เวลาในการวิเคราะห์ระยะเวลาณ ดังนั้นในแต่ละวันจึงไม่สามารถวิเคราะห์ตัวอย่างจำนวนมากได้

5.3 เทคนิคการเตรียมตัวอย่าง KBr disc มีความประยุกต์ทำให้แตกได้ง่ายขณะทำการวัด

6. คำจำกัดความที่ใช้ในการวิจัย

Blood stain	หมายถึง คราบโลหิต
KBr	หมายถึง โพแทสเซียมไบร์ไมค์

7. กรอบแนวคิดงานวิจัย

โลหิตมีโปรตีนเป็นองค์ประกอบหลัก หลังจากที่โลหิตหลังออกภายนอกร่างกาย โปรตีนของในคราบโลหิตย่อมมีการมีเสื่อมสภาพตามกาลเวลา ดังนั้นการศึกษาการเปลี่ยนแปลงของโปรตีนในคราบโลหิตย่อมนำไปสู่การประมาณอายุคราบโลหิตได้

8. ประโยชน์ที่จะได้รับ

8.1 สามารถใช้เทคนิค FTIR ในการประมาณอายุคราบโลหิตได้

8.2 สามารถนำวิธีการตรวจนี้ประยุกต์ใช้ในงานด้านนิติวิทยาศาสตร์ได้ อีกทั้งสะดวกและรวดเร็วและไม่ทำลายตัวอย่าง

บทที่ 2

เอกสารและงานวิจัยที่เกี่ยวข้อง

1. ความรู้เกี่ยวกับโลหิต

โลหิตเป็นองค์ประกอบที่สำคัญของระบบไหลเวียนโลหิตของมนุษย์และสัตว์ ซึ่งทำงานรวมกันอย่างมีระบบ เพื่อจัดหาปัจจัยพื้นฐานที่จำเป็นสำหรับเซลล์ในร่างกาย ทำให้เซลล์สามารถดำรงชีพ และทำหน้าที่ได้อย่างมีประสิทธิภาพ อันเป็นผลให้ร่างกายของสิ่งมีชีวิตนั้น สามารถดำรงชีพอยู่ได้อย่างปกติ (พิพัฒน์ เจตธงศิริ 2536 :140-142)
หน้าที่ของโลหิตมีหน้าที่สำคัญ ดังนี้

1.1 การขนส่ง (Transportation)

1.1.1 การขนส่งสารอาหาร (Nutrient transportation) โลหิตมีหน้าที่ขนส่งอาหาร หรือผลิตผลของสารอาหารต่างๆ ที่ได้จากการย่อยในระบบทางเดินอาหารคุณซึมเข้าสู่เส้นโลหิต ผ่านแล้วขนส่งไปสู่เนื้อเยื่อต่างๆ ทั่วร่างกาย

1.1.2 การขนส่งแก๊ส (Gaseous transportation) โดยฮีโมโกลบินซึ่งเป็นโปรตีนที่อยู่ในเม็ดโลหิตแดงและมีคุณสมบัติในการจับกับออกซิเจน (O_2) กล้ายเป็นออกซิไฮโลโกลบิน (Oxyhemoglobin) โดยเฉพาะที่ปอด เพื่อนำออกซิเจนไปให้เนื้อเยื่อต่างๆ นำไปใช้ในปฏิกริยาทางเคมีขณะเดียวกันเนื้อเยื่อเหล่านี้จะมีการผลิตคาร์บอนไดออกไซด์ (CO_2) ซึ่งจะถูกนำไปขับออกจากร่างกาย ต่อไปที่ปอด

1.1.3 การขนส่งของเสีย (Waste product transportation) ของเสียที่ได้จากกระบวนการเมแทบอลิซึมในเนื้อเยื่อต่างๆ ของร่างกาย เช่น ยูโรบิค ครดิโนบิโน เป็นต้นและพอกแร่ธาตุต่างๆ จะถูกขนส่งออกจากเนื้อเยื่อไปขับออกที่ไต ผิวนังและอวัยวะอื่นๆ เพื่อกำจัดออกจากร่างกาย

1.1.4 การขนส่งฮอร์โมน (Hormone transportation) ฮอร์โมนต่างๆ ที่ผลิตได้จากต่อมไร้ท่อ (Endocrine gland) จะถูกขนส่งไปยังเนื้อเยื่อหรืออวัยวะเป้าหมาย (Target organ) โดยโลหิต

1.2 การควบคุม (Regulation)

1.2.1 การควบคุมความเป็นกรด-เบสของร่างกาย (Regulation of body pH) ขบวนการเมแทบอลิซึมและปฏิกิริยาทางชีวเคมีต่างๆ ที่เกิดขึ้นในร่างกาย รวมทั้งการเผาผลาญอาหาร หรือผลจากการได้รับยาหรือสารเคมีต่างๆ เช่นไปจะมีผลทำให้ความเป็นกรด-เบสในร่างกายเปลี่ยนแปลง เช่น การเกิดแก๊สคาร์บอนไดออกไซด์ กรดแลคติก เป็นต้น โดยโลหิต จะทำหน้าที่เป็นบัฟเฟอร์ช่วยรักษาระดับความเป็นกรด-เบสในร่างกายให้คงที่ หรือมีการเปลี่ยนแปลงน้อยที่สุด

1.2.2 การควบคุมอุณหภูมิของร่างกาย (Regulation of body temperature) โลหิตควบคุมอุณหภูมิหรือความร้อนภายในร่างกายโดยการกระจากความร้อนและการขับเหื่อ

1.2.3 การควบคุมน้ำในร่างกาย (Regulation of water balance) โลหิตทำหน้าที่รักษาสมดุลของของเหลวในกระแสโลหิตกับของเหลวในเนื้อเยื่อ โดยการแลกเปลี่ยนของน้ำ

1.3 การป้องกัน (Protection)

1.3.1 การป้องกันการสูญเสียโลหิต (Protection of blood loss) เมื่อเกิดบาดแผลบนกับร่างกายไม่ว่าจะเป็นที่ผิวนังหรืออวัยวะภายในของร่างกาย โลหิตจะมีกลไกการห้ามโลหิตโดยอาศัยปัจจัยในการแข็งตัวของโลหิตรวมถึงเกล็ดโลหิตช่วยให้เกิดการอุดปิดบาดแผล

1.3.2 การป้องกันสิ่งแปลกปลอม (Protection of foreign body) โลหิตป้องกันสิ่งแปลกปลอม เช่น เชื้อโรค ตลอดจนสารพิษที่เข้าสู่ร่างกายโดยอาศัยกลไกการทำงานของเม็ดโลหิตขาว เกล็ดโลหิต และแอนติบอดี้ (Antibodies) ที่ไล่ล่าเชิงทางเคมีในกระแสโลหิต

ลักษณะทางกายภาพของโลหิต (Physical characteristics of blood)

ความหนืด (Viscosity)	4.5-5.5	(เมื่อเปรียบเทียบกับน้ำ)
----------------------	---------	--------------------------

อุณหภูมิ	37-38	องศาเซลเซียส
----------	-------	--------------

ความเป็นกรด-เบส (pH)	7.35-7.45
----------------------	-----------

องค์ประกอบของเกล็ดโลหิตเดี่ยมคลอไรด์ (Salinity)	0.9 %
---	-------

น้ำหนัก	8	% ของน้ำหนักของร่างกาย
---------	---	------------------------

ปริมาตร : เพศหญิง	5-6	ลิตร
-------------------	-----	------

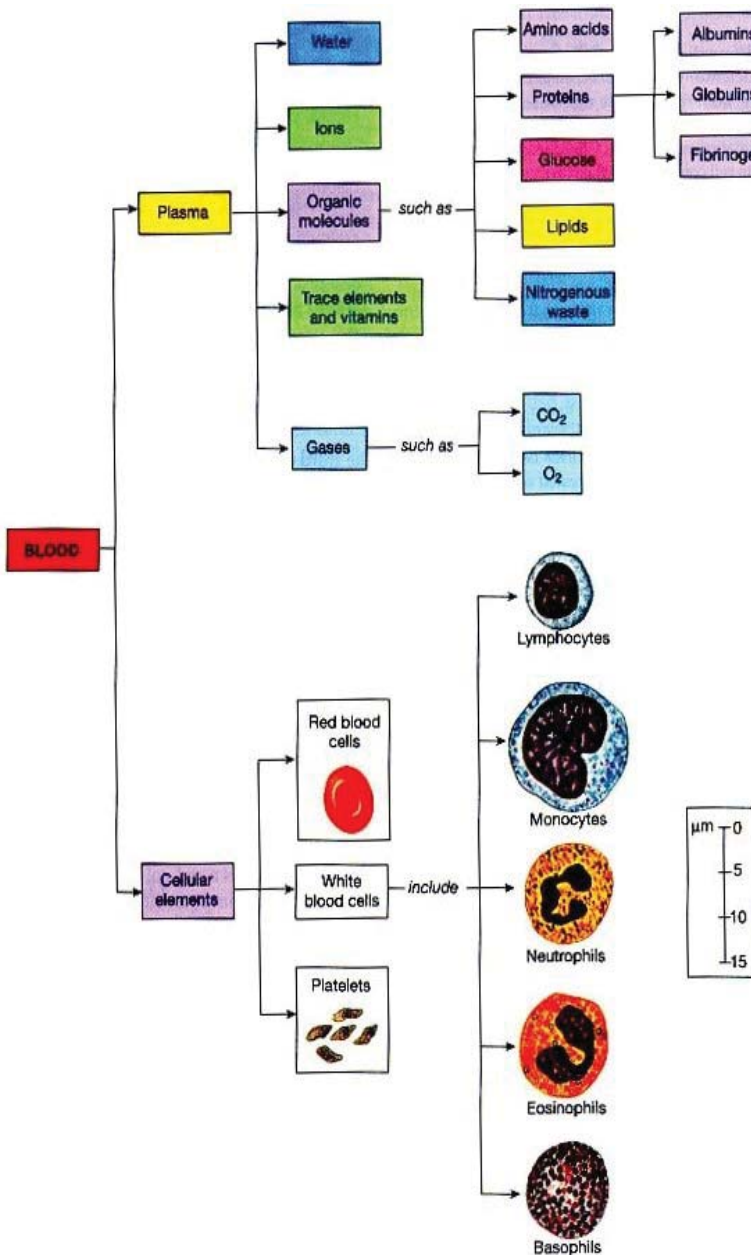
เพศชาย	4-5	ลิตร
--------	-----	------

(พิพัฒน์ เจตธงสี 2536 :142)

2. องค์ประกอบของโลหิต (พิพัฒน์ เจตธงศิริ 2536 :143)

โลหิตจัดเป็นเนื้อเยื่อกีบพัน (Connective tissue) ชนิดหนึ่ง ที่มีลักษณะเป็นของเหลว ไหลเวียนอยู่ในหลอดโลหิตประกอบด้วย ส่วนที่เป็นน้ำโลหิตที่เรียกว่า พลาสma (Plasma) เป็นของเหลวที่เป็นตัวกลาง ให้มีค่าโลหิตแขวนตัวโดยอยู่คิดเป็นสัดส่วนประมาณ 55 % ของโลหิตและส่วนที่เป็นเม็ดโลหิต (Corpuscles หรือ Formed elements) คือส่วนที่เป็นตัวเซลล์แขวนลอยไหลเวียนในหลอดโลหิตทั่วร่างกาย ได้แก่ เม็ดโลหิตแดง เม็ดโลหิตขาว และเกล็ดโลหิตหรือ thrombocytes คิดเป็นสัดส่วนประมาณ 45 % ของโลหิต

2.1 พลาสma (Plasma) (สุวรรณ์ ชีระเวรพันธ์ 2539 :91) พลาสma หมายถึง น้ำโลหิตที่แยกเอาส่วนของเม็ดโลหิตออกไปแล้ว มีลักษณะเป็นของเหลวสีเหลืองใส ซึ่งมีสารต่างๆ ละลายอยู่ ได้แก่ โปรตีนชนิดต่างๆ รวมถึงปัจจัยในการแข็งตัวของโลหิต คาร์บอโน๊อกไซด์ ไขมัน วิตามิน เกลือแร่ต่างๆ (Electrolyte) ซอร์โมน และสารอื่นๆ การแยกพลาสma ต้องเก็บโลหิตโดยใช้สารกันโลหิตแข็ง (Anticoagulants) เช่น อีดีทีเอ (EDTA, Ethylene Diamine Tetraacetate Acid) ดับเบิลออกชาเลต (Double oxalate) เอเชิด (ACD, Acid Citrate Dextrose) เอปพาริน (Heparin) เป็นต้น ส่วนประกอบของพลาสma ได้แก่ น้ำประมาณ 90 % โปรตีนชนิดต่างๆ 7 % เช่น อัลบูมิน โกลบูลิน และไฟบริโนเจน และอีก 3 % เป็นส่วนของแก๊สที่ละลายอยู่ในโลหิต อ่อนต่างๆ ซอร์โมน และสารอาหารชนิดอื่นๆ



ภาพที่ 1 องค์ประกอบของโลหิต

ที่มา: วิน เซยชุมครี, โลหิตวิทยา [ออนไลน์], เข้าถึงเมื่อ 15 พฤษภาคม 2554 เข้าถึงได้จาก

<http://www.pirun.ku.ac.th/-fsciwcc.HEMA TO.PDF>

โปรตีนในพลาสมามีคุณสมบัติทางกายภาพที่สำคัญทางสรีรวิทยาโดยอัลบูมินและโกลบูลิน เป็นตัวสำคัญที่เกี่ยวข้องกับความดันอสโนติก (Colloid osmotic pressure) ในการรักษาสมดุล ของน้ำในร่างกาย โกลบูลินซึ่งมีอยู่ในรูปของแอลฟ่า (α) เบต้า (β) และแกรมมา (γ) ที่เกี่ยวข้องกับ การสร้างเอนติบอดี้ ชอร์โนน และเอ็นไซม์ชนิดต่างๆ ไฟบริโนเจนช่วยในการแข็งตัวของโลหิต โปรตีนทั้งหมดในพลาสมาทำหน้าที่เป็นบัฟเฟอร์ช่วยควบคุมระดับความเป็นกรด-เบสและทำให้ เกิดความหนืดของโลหิตความเข้มข้นของโปรตีนเหล่านี้ได้

ตารางที่ 1 ชนิดและปริมาณโปรตีนในพลาสม่า

โปรตีน	น้ำหนักโมเลกุล	ความเข้มข้น (กรัม/100 มล.พลาสม่า)
อัลบูมิน	69,000	4-6
โกลบูลิน (α_1 , α_2 , β_1 , β_2 และ γ)	80,000-200,000	1.5
ไฟบริโนเจน	350,000-400,000	0.2-0.4
รวม		6-8

ที่มา: วิน เชยชุมศรี, โลหิตวิทยา [ออนไลน์], เข้าถึงเมื่อ 15 พฤษภาคม 2554 เข้าถึงได้จาก www.pirun.ku.ac.th/~fsciwcc.HEMAТО.PDF

2.2 เม็ดโลหิต (Corpuscles หรือ Formed elements) เชลล์เม็ดโลหิตมีหลายชนิด โดยแบ่งเป็นชนิดใหญ่ๆ ดังนี้ (สุวรรณ์ ธีรวีรพันธ์ 2539 :93-94)

2.2.1 เม็ดโลหิตแดง (Erythrocyte , red blood cell) มีลักษณะเป็นจุล รูปร่างกลม ตรงกลางเว้าเข้าหากันทั้งสองด้าน (Biconcave) ทำให้รูปร่างเปลี่ยนได้มากโดยไม่ทำให้ปริมาตรเปลี่ยน เช่น ขณะผ่านหลอดโลหิตฟอย ปริมาตรจะเพิ่มได้มากโดยแรงดึงผิวและพื้นที่ผิวเปลี่ยนแปลงเพียงเล็กน้อย ภายในเม็ดโลหิตห่อหุ้มสารละลายต่างๆ ซึ่งส่วนใหญ่คือ ฮีโมโกลบิน (Hemoglobin) เอนไซม์ (Enzyme) และพวกรอ่อน (Ion) เพื่อทำหน้าที่ขนถ่ายออกซิเจน และการ์บอนไดออกไซด์ ระหว่างปอด และเนื้อเยื่อต่างๆ ทั่วร่างกาย และทำหน้าที่เป็นบัฟเฟอร์ที่ปรับความสมดุลของกรดและเบสของโลหิต

เม็ดโลหิตแดงถูกสร้างในไขกระดูกโดยมีความดัน ปริมาณออกซิเจนในโลหิตลดลง การเสียโลหิตและการได้รับโลหิต เป็นปัจจัยที่สำคัญเกี่ยวกับการสร้างโลหิตมีชอร์โนนอร์โนนอร์โตรพอยติน (Erythropoietin) ในโลหิตเป็นตัวควบคุมการสร้าง เม็ดโลหิตแดงมีอายุประมาณ 120 วัน ถูกทำลายในม้าม ตับ และ ไขกระดูก ปริมาณเม็ดโลหิตแดงในโลหิตในเพศชายมีค่าเท่ากับ 5.5-6.0 ล้านเซลล์/ลูบนาสก์มิลลิลิตร และในเพศหญิงมีค่าเท่ากับ 4.5-5.0 ล้านเซลล์/ลูบนาสก์มิลลิลิตร โดยปริมาณโลหิตขึ้นอยู่กับ อายุ บทบาทของร่างกาย ภูมิอากาศ ระดับความสูงของที่อยู่ พยาธิสภาพของโรคที่เกิดกับร่างกาย การสร้างเม็ดโลหิตแดงถูกควบคุมโดยชอร์โนน erythropoietin ในกระแสโลหิต

ฮีโมโกลบิน (Hemoglobin, Hb) คือโปรตีนในเม็ดโลหิตแดง ทำหน้าที่รับส่งแก๊สออกซิเจน และเป็นบันไฟฟอร์ที่ปรับความสมดุลของกรดและเบส แต่ละโมเลกุลของฮีโมโกลบินประกอบด้วย 4 หน่วยย่อย แต่ละหน่วยย่อยประกอบด้วย 1 ไฮเม (Heme) จับกับเปปไทด์สายยาว (Polypeptide) 1 สาย ภายในมีธาตุเหล็ก (Fe^{2+}) 1 อะตอม ฮีโมโกลบินเมื่อจับกับออกซิเจน จะเรียกว่า ออกซิฮีโมโกลบิน (Oxyhemoglobin) โดยการจับกันของฮีโมโกลบินกับออกซิเจนขึ้นอยู่กับอุณหภูมิ ความเป็นกรด-เบส ปริมาณการบอนไดออกไซด์และปริมาณออกซิเจนในละลายน้ำในกระแสโลหิต (pCO_2 และ pO_2)

อาการไซยาโนซิส (Cyanosis) พบรึเมื่อโลหิตมีสีคล้ำๆ โลหิตคำ มีฮีโมโกลบินที่ไม่ได้จับกับออกซิเจน (Deoxyhemoglobin) อยู่มาก ผิวนังมีลักษณะเปียวคล้ำ ซึ่งจะเห็นได้ชัดที่ เล็บมือ เล็บเท้า ริมฝีปาก ทั้งนี้ปกติเมธีโมโกลบิน (Methemoglobin) ซึ่งจับกับธาตุเหล็ก (Fe^{2+}) ในสีม่วง ถูกออกซิไซด์ไปเป็นเหล็กออกไซด์ (Fe^{3+}) ทำให้ฮีโมโกลบินมีสีคล้ำ



Oxidized

ปริมาตรเม็ดโลหิตแดงอัตรา (Hematocrit : Hct หรือ Pack Cell Volume : PCV) เป็นค่าทางโลหิตวิทยาของเม็ดโลหิตแดงสามารถหาได้จากการนำโลหิตใส่ในหลอดแก้วที่มีขนาดเล็ก (Capillary tube) นำไปปั่นด้วยเครื่องปั่นให้ยิ่งความเร็วสูง มีหน่วยเป็นเปอร์เซ็นต์ เมื่อเทียบกับปริมาตรโลหิตทั้งหมด มีประโยชน์ต่อการวินิจฉัยการเกิดพยาธิสภาพของร่างกาย เช่น

ในสภาวะที่ร่างกายขาดน้ำ จะพบ Hct มีค่าสูงกว่าปกติ ในผู้ป่วยที่มีภาวะโลหิตจาง (Anemia) มากพบ Hct มีค่าต่ำกว่าปกติ

เม็ดโลหิตแดงมีอายุเฉลี่ยประมาณ 120 วัน ระยะทางที่เคลื่อนที่ในระบบไหลเวียนประมาณ 700 ไมล์ และในที่สุดจะถูกทำลาย การเคลื่อนที่อยู่ในหลอดโลหิตนั้นย่อมมีการเสียดสีระหว่าง พนังเม็ดโลหิตและหลอดโลหิต รวมทั้งสัมผัสกับสารเคมีต่างๆ ในโลหิต มีผลให้พนังเม็ดโลหิตเสื่อม เม็ดโลหิตที่อายุมากจึงแตก (Hemolyse) ได้ง่ายซึ่งปกติอัตราการสร้างเม็ดโลหิตเท่ากับอัตราการทำลาย (ประมาณ 1% ของปริมาณเม็ดโลหิตแดงทั้งหมดต่อวัน) ถ้าอัตราสร้างสูงกว่าอัตราการทำลายมีผลให้ปริมาณเม็ดโลหิตแดงในโลหิตสูงขึ้น ปริมาณเม็ดโลหิตแดงอัดแน่นมากขึ้น (Polycythemia) และถ้าอัตราการสร้างต่ำกว่าอัตราการทำลายจะมีผลให้ปริมาณเม็ดโลหิตแดงอัดแน่นต่ำลง (Anemia)

เม็ดโลหิตแดงที่มีอายุมากจะถูกทำลายใน reticuloendothelial system ส่วนใหญ่ถูกทำลายในม้าม (spleen) ซึ่งโมโกลบินจะถูกแยกออกเป็น heme และ globin heme จะถูกเปลี่ยนเป็น biliverdin และเป็น bilirubin เข้าสู่ตับแล้วออกมากับน้ำดีสู่ลำไส้เล็ก ซึ่งบางส่วนถูกดูดซึมกลับเข้าสู่กระแสโลหิตแล้วถูกขับออกที่ไตปนออกมากับปัสสาวะ bilirubin มีสีเหลืองทองถ้ามีความเข้มข้นเกิน 2mg/100 mL พลาสม่า จะทำให้ผิวน้ำ scleras และ mucous membrane โลหิตมีสีเหลือง เรียกอาการเร่นนี้ว่า ดีช่า� (Juandice) หรือ (Ictrus) การเพิ่มขึ้นของปริมาณ bilirubin ในโลหิต เรียกว่า hyperbilirubinemia เกิดได้จากหลายสาเหตุ เช่น เม็ดโลหิตแดงถูกทำลายมากกว่าปกติ เช่น hemolytic anemia bilirubin เข้าเซลล์ตับ ได้น้อยลง การหลัง bilirubin จากเซลล์ตับสู่ bile canaliculi ผิดปกติ หรืออาจจะเกิดจากห่อน้ำดีอุดตัน

2.2.2 เม็ดโลหิตขาว (Leucocyte , white blood cell) (สูตรณ์ ธีระวิรพันธ์ 2539 :93-94) เม็ดโลหิตขาวในกระแสโลหิตมีหลายชนิด โดยมีหน้าที่หลักคือป้องกันและทำลายสิ่งแปลกปลอมที่เข้าสู่ร่างกาย มีคุณสมบัติที่สำคัญ คือ

เม็ดโลหิตขาวสามารถเคลื่อนผ่านผนังหลอดโลหิตโดยสูญเสียไปยังบริเวณที่มีเชื้อโรค (Diapedesis)

เม็ดโลหิตขาวสามารถเคลื่อนเข้าไปหาเชื้อโรค โดยการดึงดูดของสารเคมีที่ถูกปล่อยจากเชื้อโรค เช่น แบคทีเรีย (Chemotaxis) เป็นต้น

เม็ดโลหิตขาวสามารถจับกันสิ่งแปลกปลอมโดยวิธีคล้ายอะมีนา เข้าโอบล้อม และย่อยเชื้อโรค หรือสิ่งแปลกปลอมนั้น (Phagocytosis) แบ่งเม็ดโลหิตขาวออกเป็น 2 ชนิด คือ

2.2.2.1 ชนิดมีแกรนูลหรือมีนิวเคลียสหลายแบบ (Granulocytic or polymorpho nuclear cell) ซึ่งจะแบ่งย่อยตามลักษณะการติดสีของแกรนูลเมื่อย้อมด้วยสีไรอ์ท์ ดังนี้ นิวโตรฟิล (Neutrophil or polymorphonuclear cell : PMN) มีขนาดใหญ่ กว่าเม็ดโลหิตแดงประมาณ 2 เท่า หรือประมาณ 12 ไมครอน นิวเคลียสได้ตั้งแต่ 2-5 พู (lobe) ติดสีน้ำเงินปนม่วง ในไซโทพลาซึมมีแกรนูลและอีคอมากติดสีชมพู หรือชมพูอมม่วง อิโอสิโนฟิล (Eosinophil) มีขนาดประมาณ 12 ไมครอน รูปร่างเหมือน นิวโตรฟิลต่างกันที่ส่วนใหญ่นิวเคลียสจะมี 2 พู ในไซโทพลาซึมจะมีแกรนูลเม็ดใหญ่ ติดสีส้มแดง ค่อนข้างขาวแสงอยู่เต็มไซโทพลาซึม และมักจะไม่ทับนิวเคลียส เบโซซิฟิล (Basophil) รูปร่างเหมือนนิวโตรฟิล ต่างกันที่ นิวเคลียสมี ได้ตั้งแต่ 2-5 พู แต่มักจะเห็นนิวเคลียสได้ไม่ชัด เนื่องจากถูกบดบังด้วยแกรนูลซึ่งมีขนาดใหญ่ ติดสีน้ำเงินเข้มกระจายทั่วไซโทพลาซึม

2.2.2.2 ชนิดไม่มีแกรนูลหรือมีนิวเคลียสเดียว (Agranulocytic or mononuclear cell) หมายถึง เม็ดโลหิตขาวที่ไม่มีแกรนูลเฉพาะ (Specific granule) มีแต่แกรนูลไม่เฉพาะ(Non specific granule) ซึ่งพบได้ในเซลล์เม็ดโลหิตขาวทุกชนิด เรียก อะซูโรฟิลิกแกรนูล (Azurophilic granule) ติดสีแดงอยู่ในไซโทพลาซึม เม็ดโลหิตขาวชนิดไม่มีแกรนูลนี้ นิวเคลียสจะไม่แบ่งเป็นพู แต่อ่อนกว่ารอยบุ๋มเว้า (Indented) เป็นลอนเหมือนรอยพับ (Folding) แบ่งย่อยได้ดังนี้ โนโนไชต์ (Monocyte) เป็นเม็ดโลหิตขาวที่มีขนาดใหญ่ที่สุดในกระแสโลหิต ขนาดใหญ่กว่าเม็ดโลหิตแดงประมาณ 2-3 เท่า หรือประมาณ 14-20 ไมครอน นิวเคลียสมักจะเว้าหรือเป็นลอน ไซโทพลาซึมติดสีเทาอ่อนๆ หรือน้ำเงินปนม่วง และอะซูโรฟิลิกแกรนูล เป็นเม็ดเล็กๆ ติดสีแดงกระจายอยู่ทั่วไป

ลิมโฟไชต์ (Lymphocyte) โดยทั่วไปเป็นเม็ดโลหิตขาวที่มีขนาดเล็กที่สุด ใหญ่กว่าเม็ดโลหิตแดงเล็กน้อย (ขนาดประมาณ 10 ไมครอน) แต่บางครั้งอาจพบที่มีขนาดใหญ่ได้ (20 ไมครอน) นิวเคลียสมักจะกลมและอาจมีรอยเว้าได้บ้างติดสีเข้มทึบอยู่ชิดริมด้านใดด้านหนึ่งของเซลล์ไซโทพลาซึมติดสีฟ้าอ่อนใสและพบอะซูโรฟิลิกแกรนูลได้บ้าง

2.3. เกล็ดโลหิต (Thrombocyte , platelet) (สุวรรณ์ ธีระวีรพันธ์ 2539 :94-95)

เป็นองค์ประกอบของโลหิตที่มีขนาดเล็กที่สุด ประมาณ 2-4 ไมครอน ไม่มีนิวเคลียส ส่วนใหญ่รูปร่างกลม แบน หรือ รูปไข่ ติดกับพื้นอ่อน มีพับอะซูโรฟิลิกแกรนูลติดตัวอยู่ในร่อง กระจายอยู่ทั่วไปกลางเซลล์ในคนและสัตว์เลี้ยงลูกด้วยนมชนิดอื่นๆ มีต้นกำเนิดมาจากเซลล์เมกะาร์โอะไซต์ (Megakaryocyte) ในไขกระดูกในสัตว์มีกระดูกสันหลังชนิดอื่น จะพบองค์ประกอบนี้ เป็นเซลล์ที่เรียกว่า thrombocyte (Thrombocyte) ทำหน้าที่สำคัญ เกี่ยวกับการแข็งตัวของโลหิต ช่วยทำให้โลหิตหยุดไหลหรือห้ามโลหิตเมื่อเกิดบาดแผล

2.3.1 กลไกห้ามโลหิต (Homeostasis) ประกอบด้วย ขั้นตอนที่สำคัญ คือ หลอดโลหิตแคบลง (Vasoconstriction) เมื่อเกิดบาดแผล สารซีโรโนนิน (Serotonin) จากเกล็ดโลหิตจะกระตุ้นให้หลอดโลหิตแคบลง

การเกาะกลุ่มของเกล็ดโลหิต (Platelet aggregation) คือเซลล์ที่ได้รับความเสียหาย และเกล็ดโลหิต จะปล่อยสาร ADP (Adenosine diphosphate) ออกมานำมาทำให้เกล็ดโลหิต เกิดการเปลี่ยนรูปร่าง และรวมกัน (Aggregate) จุดหลอดโลหิตที่เกิดบาดแผล

2.3.2 การแข็งตัวของโลหิต (Coagulation, clot) เกิดจากปฏิกิริยาของเกล็ดโลหิต สารต่างๆ ในพลาสma และสารจากเนื้อเยื่อที่เกิดบาดแผล แบ่งเป็น 4 ขั้นตอนย่อย คือ

2.3.2.1 การเกิดการกระตุ้น โปร thrombin (Prothrombin activation)
แบ่งย่อยได้เป็น 2 ขบวนการ คือ

Extrinsic pathway เกิดจากการทำลายเซลล์หลอดโลหิต และเซลล์ ข้างเคียงจะกระตุ้นให้เซลล์เหล่านี้สร้าง thromboplastin (Tissue thromboplastin)

Intrinsic pathway เกิดขึ้นภายในหลอดโลหิตเมื่อเกล็ดโลหิตเกิดการแตก จะมีการทำปฏิกิริยากันของสารที่หลังออกมานอกจากเกล็ดโลหิตและปัจจัยการแข็งตัวของโลหิตได้ thromboplastin (Intrinsic thromboplastin)

2.3.2.2 การเปลี่ยน โปร thrombin (Prothrombin) เป็น thrombin (Thrombin)
 thromboplastin (Thromboplastin) ที่เกิดขึ้นจะกระตุ้นการเปลี่ยน โปร thrombin เป็น thrombin

2.3.2.3 การเปลี่ยน ไฟบริโนเจน (Fibrinogen) เป็นไฟบริน (Fibrin)
 thrombin ที่เกิดขึ้นจะเปลี่ยนไฟบริโนเจนเป็นไฟบริน โดยใช้แคลเซียมอ่อน (Ca^{2+}) และปัจจัยการแข็งตัวของโลหิตชนิดต่างๆ ไฟบรินเป็นเส้นใยโปรตีนที่ไม่ละลายน้ำ มีการรวมตัวกันแน่นประสาน เป็นร่างแท และยึดจับกับเม็ดโลหิตแข็งกล้ายเป็นก้อนโลหิต (Clot)

2.3.2.4 การเกิดการหดตัวของก้อนโลหิต (Clot retraction) มีการหดตัวของก้อนโลหิตและร่างแท้ ทำให้น้ำโลหิต (ซีรัม) ออกจากก้อนโลหิตและเป็นผลให้เกิดการเชื่อมติดบาดแผลมากขึ้น บาดแผลหลังจากเกิดก้อนโลหิตอุดนาดแผลและไม่มีโลหิตไหลออกมานแล้วเซลล์ไฟเบอร์บลาส (Fibroblast) จะทำหน้าที่เป็นเนื้อเยื่อประสาน เจริญแทรกเข้าไปในก้อนโลหิต โดยปกติร่างกายของมนุษย์จะมีสารป้องกันการเกิดก้อนโลหิตที่เกิดจากกระบวนการการแข็งตัว ซึ่งอาจจะไปอุดตันหลอดโลหิตในอวัยวะที่สำคัญ เช่น สมอง สารเหล่านี้ได้แก่ แอนติ thrombin โนบพลาสติน (Antithromboplastin) และเอปฟาริน (Antithrombin)

3. การเก็บวัตถุพยาน

บรรดา พล แซ่บสุวรรณวงศ์ (2546 : 131-136) ได้กล่าวถึงหลักการเก็บรวบรวมวัตถุพยานไว้ว่า ขณะทำการตรวจค้นหาพยานหลักฐาน เมื่อพบสิ่งใดที่ใช้เป็นพยานวัตถุได้ ผู้เก็บต้องมีหลักการที่พึงปฏิบัติเสมอ

3.1 ขั้นตอนการเก็บวัตถุพยาน

3.1.1 บันทึกตำแหน่งและสภาพของพยานวัตถุ เมื่อตรวจพบลิ่งให้ระหว่างการตรวจสถานที่เกิดเหตุ ก่อนจะจับต้องหรือหยิบขึ้นมาต้องมีการบันทึกตำแหน่งและสภาพของวัตถุพยานนั้นให้เรียบร้อยเสียก่อน

3.1.2 ถ่ายภาพวัตถุที่ตรวจพบไว้ พยานวัตถุทุกชิ้นต้องทำการถ่ายภาพไว้ก่อนทำการเก็บและควรถ่ายภาพทั้งในระยะใกล้และไกล การถ่ายภาพระยะใกล้เพื่อยืนยันตำแหน่งที่พบ และแสดงความสัมพันธ์ของพยานวัตถุนั้นกับสภาพโดยรอบ ส่วนการถ่ายระยะไกลเพื่อให้เห็นพยานวัตถุจริงที่จะทำการเก็บ ซึ่งการถ่ายภาพระยะไกลคือการมีมาตรการรักษาภัยทุกครั้งเพื่อจะได้ทราบขนาดที่แน่นอนของวัตถุจากการถ่ายภาพ

3.1.3 ทำการหันนิสัญลักษณ์ลงบนพยานวัตถุที่ตรวจพบ หรือบนภาชนะที่ใช้บรรจุ เพื่อเป็นหลักฐานว่าเป็นสิ่งที่ตรวจพบในคดีใด เมื่อได้โดยผู้ใด การทำการหันนิสัยการทำที่พยานวัตถุทุกชิ้น และทำในตำแหน่งที่จะไม่กระทบกระเทือนต่อการตรวจพิสูจน์

3.1.4 การเก็บรวบรวม เป็นขั้นตอนสุดท้ายของการปฏิบัติ ต่อพยานวัตถุเพื่อนำไปดำเนินการทางคดีต่อไป ขั้นตอนนี้มีความสำคัญ เพราะหากบกพร่อง อาจทำให้เกิดการสูญเสีย หรือเปลี่ยนสภาพของพยานวัตถุที่จะตามมาได้ หากผู้เก็บรวบรวม ปฏิบัติไม่ถูกต้องตามหลักวิธี ในการเก็บพยานวัตถุ จะต้องเก็บรวมรวมพยานวัตถุที่สูญหาย หรือเสียหายได้ง่ายเป็นลำดับแรก ในกรณีที่มี

พยานวัตถุหอยชิ้นต้องแยกบรรจุ ไม่นำเก็บไว้ในที่เดียวกัน เพราะอาจทำให้เกิดการสลับพยานวัตถุ และพยานวัตถุนางชนิดอาจเสียสภาพไป

3.2 วิธีการเก็บทราบโลหิต (โลหิตเปียก)

3.2.1 มีปริมาณทราบโลหิตมากหรือเป็นกองโลหิต

3.2.1.1 ใช้ที่หยดตา (Eyedropper) หรือ หลอดน้ำดယา คุณเก็บของเหลวใส่ไว้ในภาชนะบรรจุ ที่ผ่านการฆ่าเชื้อโรค (Sterile) ปริมาณที่ใช้สำหรับการตรวจพิสูจน์ ประมาณ 5 มิลลิลิตร

3.2.1.2 รีบนำส่งตรวจพิสูจน์ทันทีทันใด ถ้าไม่สามารถทำได้ให้แช่ไว้ในตู้เย็น หรือถุงน้ำแข็ง แต่ห้ามนำໄปแข็งโดยเด็ดขาด

3.2.1.3 ในบางประเภทคลาสัญญา อนุญาตให้ใช้สารเคมี เช่น โซเดียมอะไซด์ ใส่ลงໄปเพื่อป้องกันโลหิตเสียหาย

3.2.2 มีปริมาณทราบโลหิตน้อย

3.2.2.1 ใช้สำลีชนิด 100 % หรือผ้าก๊อช กระดาษซับ ผ้าขาวสะอาด กระดาษเยื่ออย่างโดยย่างหนึ่ง ซับเก็บขึ้นมา

3.2.2.2 นำไปฝังลงให้แห้ง ห้ามผึ่งแดด เพื่อป้องกันไม่ให้โลหิตเสียหรือเสื่อมสภาพ

3.2.2.3 เก็บในหลอดทดลอง หรือภาชนะที่ผ่านการฆ่าเชื้อโรคแล้ว

3.3 วิธีการเก็บทราบโลหิต (โลหิตแห้ง)

3.3.1 บนผิววัสดุที่ไม่คุ้ดชื้น ถ้าปริมาณโลหิตแห้ง ไม่เพียงพอ ให้ใช้มีดโกนที่สะอาดบุดออกจากผิววัสดุ กรณิทไม่สามารถใช้วิธีการรบุได้ ให้ใช้กระดาษซับ กระดาษเยื่อ สำลี ผ้าก๊อช อย่างโดยย่างหนึ่งที่สะอาด ขนาดพอสมควร ชุบน้ำเกลือ (น้ำเกลือผสมร้อยละ 0.9) หรือน้ำกลั่น ปิดตรงทราบโลหิตจนกระถั่งโลหิตชื้นขึ้นมาที่กระดาษ (สังเกตจากสี) และนำกระดาษผึ่งลงให้แห้งวิธีนี้ต้องนำของกลางตัวอย่าง (Control Sample) ส่งไปตรวจพิสูจน์พร้อมกับของกลางปัญหาด้วย และไว้ในภาชนะที่ผ่านการฆ่าเชื้อโรค

3.3.2 บนพื้นผิววัสดุคุ้ดชื้น เช่น ไม้ที่เคลือบผิว สิ่งที่ทำจากเศษไช

3.3.2.1 นำวัสดุที่มีทราบโลหิตส่งตรวจพิสูจน์ทั้งชิ้น เช่น เสื้อผ้า ห่อน ไม้ที่สงสัยว่าคนร้ายใช้ตัวตาย

3.3.2.2 ให้แยกบรรจุหินห่อ เช่น เสื้อผ้าผู้ตาย ต้องไม่เก็บรวมกับเสื้อผ้าผู้ต้องสงสัย และเก็บไว้ในภาชนะที่ผ่านการฆ่าเชื้อโรค ถ้าวัตถุนั้นมีขนาดใหญ่เกินໄปไม่สะดวกในการ

นำส่งตรวจพิสูจน์ทั้งชิ้นให้แยกหรือตัด หรือตัดเฉพาะส่วนที่มีคราบโลหิตติดอยู่ปะริมาณเพียงพอ
นำส่งตรวจพิสูจน์

อุปกรณ์เก็บโลหิต เช่น ใบมีดโกน มีด สำลี ใช้ได้สำหรับกรานโลหิตเดียวเท่านั้น เมื่อจะทำการเก็บกรานโลหิตใหม่ก็ต้องเปลี่ยน เพื่อป้องกันการปนเปื้อน นอกจากนี้ควรระมัดระวังอย่าจับต้องอุปกรณ์ตรงบริเวณที่จะสัมผัสกับกรานโลหิตของกลาง เนื่องจากสารจากร่างกายอาจปนเปื้อนกับกรานโลหิตของกลางในขณะที่ทำการเก็บ

4. การตรวจกรานโลหิต (พ.ต.ท. หลุบ ธรรมกรรณ์ ชนวัฒน์วงศ์ชาร 2548:80-81)

ในคดีอาญาประเภทประทุยร้ายต่อร่างกายและชีวิต เช่น คดีฆาตกรรม บ่มขึ้นกระทำชำเรา และคดีอื่นๆ ที่คล้ายคลึงกับคดีเหล่านี้ ขอทราบโลหิตจะเป็นหลักฐานสำคัญอันหนึ่งเสมอ ในคดีเหล่านี้จะพบกรานโลหิตจากบริเวณดังกล่าว คือ

จากตัวผู้ถูกประทุยร้าย

จากสถานที่เกิดเหตุ

จากตัวผู้ร้าย

จากอาวุธที่ใช้

4.1 การตรวจพิสูจน์ว่ากรานนั้นเป็นกรานโลหิตหรือไม่

เป็นการพิสูจน์ทางเคมีที่นำยาทำปฏิกิริยากับเหล็กหรือที่มาจากการตุ้มเหล็กในเม็ดโลหิต แดง น้ำยาที่ใช้คือเบนซิดีน (Benzidine) กับไฮโดรเจน Peroxide (Hydrogen Peroxide) เมื่อโลหิตทำปฏิกิริยากับเบนซิดีนกลายเป็นอีดีไซค์ซิง ไม่มีสี จากนั้นใช้ไฮโดรเจน Peroxide อีดีไซค์ทำปฏิกิริยากับอีดีไซค์ของโลหิต ซึ่งจะทำให้เกิดสีน้ำเงินประกายขึ้น ความไวต่อน้ำยาเบนซิดีนต่อโลหิตในอัตราส่วน 1 ต่อ 300,000 เท่าทำให้สามารถทดสอบว่าเป็นโลหิตหรือสิ่งที่สังสัยว่า มีกรานโลหิตติดอยู่ได้ ถึงแม้ว่ากรานโลหิตนั้นจะจางลงไปถึง 300,000 เท่า ถือได้ว่าวิธีเบนซิดีนจึงเป็นวิธีที่สะดวกในการตรวจหาโลหิต

4.2 การตรวจพิสูจน์ว่าเป็นโลหิตมนุษย์หรือสัตว์

หลังจากการตรวจพิสูจน์ว่าสิ่งที่สังสัยเป็นโลหิตแล้ว ต่อไปเป็นการตรวจพิสูจน์ว่าโลหิตนั้นเป็นโลหิตของมนุษย์หรือสัตว์ วิธีการที่ใช้เรียกว่า วิธีพริซิปิติน (Precipitin test) กรานโลหิตที่พบนั้นอาจจะติดอยู่กับสิ่งของต่างๆ เช่นเสื้อผ้า พื้น หรืออาวุธ โดยพยาบาลจะนำกรานโลหิตกับน้ำเกลือ (Normal saline) ประมาณ 2-3 หยด โลหิตที่ละลายอยู่ในน้ำเกลือนี้ถ้าสุ่นหรือมีเศษผงผสมอยู่ควรนำไปปั่นให้ตกลงก่อนหรือกรองผงออกก่อน ใส่แอนติอิวเมนซิรั่ม ลงใน

หลอดแก้วขนาดเล็ก กว้างประมาณ 5 mm จากนั้นใส่สารละลายโลหิตไปอย่างช้าๆ ในปริมาณที่เท่ากับแอนติชิวามเอนซิรัม ระวังไม่ให้น้ำเกลือกับแอนติชิวามเอนซิรัมผสมกัน ถ้าโลหิตที่ละลายอยู่น้ำเกลือเป็นโลหิตมนุษย์ วงศีขาวจะเกิดขึ้นตรงบริเวณรอยต่อของสารละลายทั้งสองนี้

4.3 การตรวจพิสูจน์ว่าเป็นโลหิตสัตว์นั้นเป็นสัตว์ชนิดใด

ถ้าโลหิตที่ละลายในน้ำเกลือมิใช่โลหิตมนุษย์กล่าวคือ ไม่มีวงขาวในหลอดแก้วบริเวณรอยต่อของแอนติชิวามเอนซิรัมกับสารละลายโลหิตในน้ำเกลือ จากนั้นจะพิสูจน์ต่อไปว่าเป็นโลหิตของสัตว์ชนิดใด โดยใช้น้ำยาแอนติชิวามเอนซิรัมของสัตว์ชนิดต่างๆ มาทำการทดสอบ ถ้ามีวงขาวเกิดขึ้นในหลอดแก้วที่ใช้กับแอนติชิวามเอนซิรัมของสัตว์ชนิดใดก็หมายถึงโลหิตที่ละลายอยู่ในน้ำเกลือนั้นเป็นโลหิตของสัตว์ชนิดนั้น

4.4 การตรวจพิสูจน์หาหมูโลหิตจากทราบโลหิตมนุษย์

การตรวจหาหมูโลหิตแบ่งได้ออกเป็น 2 ประเภทคือ ประเภทโลหิตแห้ง ประเภทโลหิตสด ในร่างกายมนุษย์มีแอนติเจนอยู่ 2 ชนิดคือ ชนิด A ชนิด B และมีแอนติบอดีอยู่ 2 ชนิดคือ แอนติบอดี A และแอนติบอดี B ใน การตรวจหาหมูโลหิตจากวัตถุของกลางต่างๆ เช่น เสื่อผ้าและอาชุดนั้น จำเป็นจะต้องใช้คือ

เม็ดโลหิตหมู A และ B ผสมลงในน้ำเกลือประมาณ 2%

แอนติบอดี A และแอนติบอดี B เสื้อจากพอที่จะทำให้มีดโลหิตเกาะกันประมาณ

15 นาที

วัตถุของกลางที่พนทราบโลหิตแล้วนั้น ตัดส่วนที่พนทราบโลหิตมากที่สุด ใส่ลงในหลอดทดลอง 2 หลอด ใส่แอนติบอดี A ลงในหลอดแรก และใส่แอนติบอดี B ลงในหลอดที่สอง ปริมาณแอนติบอดีที่ใส่ไปควรจะพอคิดเพื่อให้ทราบโลหิตละลายออกมาก หากปิดหลอดทดลองแล้ว ใส่เอาไว้ในตู้เย็นประมาณ 8 ชั่วโมง โลหิตจะมีสีแดงหรือสีน้ำตาลแล้วแต่ว่าโลหิตจะละลายมากแค่ไหน นำแผ่นแก้วมาแบ่งออกเป็นสองด้าน โดยด้านซ้ายใส่หลอดที่แช่ แอนติบอดี A ส่วนด้านขวาใส่น้ำจากหลอดที่แช่ แอนติบอดี B ประมาณ 1-2 หยด เอาเม็ดโลหิตหมูเอ ใส่พสมลงไปที่ด้านซ้าย และเอาเม็ดโลหิตหมูบี ใส่พสมลงไปที่ด้านขวา ด้านละ 1 หยดเอียงแผ่นกระจากไปมาเพื่อให้น้ำซึ่รั่มกับเม็ดโลหิตผสมกัน หลังจากที่ใส่เม็ดโลหิตลงไปแล้ว สังเกตดูว่าเม็ดโลหิตเกาะกันหรือไม่ โดยใช้กล้องจุลทรรศน์ ถ้าเม็ดโลหิตเกาะกันทั้ง 2 ด้านแสดงว่าเป็นโลหิตหมู อิ

ถ้าเม็ดโลหิตไม่เกาะกันทั้ง 2 ด้านแสดงว่าเป็นโลหิตหมู เอบี

ถ้าเม็ดโลหิตไม่เกาะด้านซ้ายแต่เกาะด้านขวาแสดงว่าเป็นโลหิตหมู เ�

ถ้าเม็ดโลหิตเกาะด้านซ้ายแต่ไม่เกาะด้านขวาแสดงว่าเป็นโลหิตหมู บี

5. ความรู้เกี่ยวกับอินฟราเรดสเปกโถรஸโคป (ผันธนา อารมณ์ดี 2535 :64-66)

อินฟราเรดสเปกโถรஸโคปเป็นเทคโนโลยีที่นำแสงอินฟราเรดมาประยุกต์ใช้ในการพิสูจน์เอกสารลักษณ์ หาสูตรโครงสร้างหรือหาปริมาณของสาร โดยไม่เลกุลของสารแต่ละชนิดจะคุดคลื่นแสงอินฟราเรดในช่วงความถี่ที่มีค่าเฉพาะแล้วทำให้เกิดการเคลื่อนไหวของพันธะปรากฏการณ์ที่เกิดขึ้นจะถูกบันทึกเป็นสเปกตรัมซึ่งแสดงลักษณะเฉพาะตัวของแต่ละสาร

6. แสงอินฟราเรด

แสงอินฟราเรดเป็นคลื่นรังสีแม่เหล็กไฟฟ้าที่มีความยาวคลื่นอยู่ในช่วงที่มองเห็น (Visible light) และ microwave ส่วนที่นำมาใช้ประโยชน์ในอินฟราเรดสเปกโถรஸโคปคือช่วงอินฟราเรดกลางซึ่งมีความยาวคลื่น 2.5-25 ไมโครเมตร ช่วงคลื่นของอินฟราเรด

Region	Wavelength range (nm)	Wavenumber range (cm^{-1})
Near	0.78 -2.5	12800 - 4000
Middle	2.5 -50	4000 - 200
Far	50 -1000	200 -10

7. การคุดคลื่นแสงอินฟราเรด

การคุดคลื่นแสงอินฟราเรดของสารมีลักษณะเช่นเดียวกับการคุดคลื่นแสงชนิดอื่นๆ นั่นคือ ไม่เลกุลหนึ่งจะคุดคลื่นแสงที่มีพลังงานพอดีที่ทำให้เกิดการกระตุนหนึ่งๆ เท่านั้นแต่แสงอินฟราเรดมีพลังงานต่ำ เมื่อไม่เลกุลคุดคลื่นแสงจึงทำให้เกิดเพียงการเคลื่อนไหวของพันธะ โดยพันธะแต่ละชนิดจะคุดคลื่นแสงที่มีความถี่เฉพาะแตกต่างกันไปการคุดคลื่นขนาดพลังงานที่เฉพาะนี้ เราเรียกว่าเป็น quantized energy ผลของการคุดคลื่นพลังงานที่เฉพาะนี้ ทำให้เราทราบได้ว่า เป็นการคุดคลื่นแสงที่เกิดจากพันธะชนิดใด อย่างไรก็ตาม หากการเคลื่อนไหวของพันธะเป็นการเคลื่อนไหวในลักษณะที่ไม่เกิดการเปลี่ยนแปลง dipole moment แล้ว เราจะตรวจไม่พบการคุดคลื่นแสงของพันธะนั้น ๆ ยิ่งการเคลื่อนไหวของพันธะที่ก่อให้เกิด dipole moment มากเท่าใด สัญญาณที่ตรวจได้จะยิ่งสูงขึ้นเท่านั้น

8. ลักษณะการสั่นของพันธะ

8.1 การสั่นแบบพื้นฐาน (Fundamental vibration) แบ่งได้เป็นสองชนิดคือ

8.1.1 การยืด (Stretching) เป็นการเปลี่ยนแปลงระยะทางระหว่างอะตอมตามแนวแกนพันธะ แต่หมุนของพันธะไม่เปลี่ยนแปลง

8.1.2 การงอ (Bending) เป็นการสั่นที่ทำให้เกิดการเปลี่ยนแปลงของมุมระหว่างอะตอม เช่น การขับเข้าหากันและแยกกันแบบกรีก (Scissoring) การเหวี่ยง (Rocking) การกระดิก (Wagging) การบิด (Twisting)

โดยทั่วไปการยืดจะใช้พลังงานสูงกว่าการงอสำหรับกลุ่มอะตอมที่มีอะตอมที่เหมือนกันอยู่สองอะตอม จะพบการยืดและการงอสองแบบคือ แบบสมมาตร (Symmetric) และแบบ nonsymmetric (Asymmetric) โดยพลังงานที่ทำให้เกิดการยืดแบบสมมาตรจะสูงกว่าการยืดแบบ nonsymmetric

8.2 การสั่นแบบซับซ้อน (Complicated vibration) เป็นการสั่นที่มีผลลัพธ์เนื่องมาจากการสั่นแบบพื้นฐาน แบ่งเป็น

8.2.1 Overtone เป็นการสั่นที่มีผลจากการสั่นแบบพื้นฐานที่แรงมาก ทำให้เกิดรัลอกคลื่นกระจายออก ซึ่งรัลอกที่ถัดออกมากจะมีความถี่เป็นสองเท่า (Overtone ที่ 1) หรือสามเท่า (Overtone ที่ 2) ของความถี่เดิม

8.2.2 Combination band เมื่อการสั่นแบบพื้นฐานของ 2 พันธะที่ความถี่หนึ่ง (\bar{v}_1) มาประสานกับความถี่หนึ่ง (\bar{v}_2) band ที่เกิดขึ้นใหม่จะมีความถี่เท่ากับความถี่ของแต่ละอันมารวมกัน

8.2.3 Difference band เป็นการสั่นที่เกิดจากการหักล้างกันของการสั่นแบบพื้นฐานของสองพันธะ

8.2.4 Fermi resonance เกิดเนื่องจากตำแหน่งของความถี่ของการเกิด overtone หรือ combination band ใกล้เคียงกับตำแหน่งของความถี่ของ fundamental band ทำให้เกิดการ coupling กัน

9. อินฟราเรดสเปกตรัม

อินฟราเรดสเปกตรัมเป็นกราฟที่เกิดจากการพื้อตระห่วงแสงที่ผ่านตัวอย่างออกมานะ (Transmittance light) โดยคำนวณเป็น % transmittance (%T)(อัตราส่วนระหว่างความเข้มของ

แสงที่ผ่านสารตัวอย่างต่อความเข้มของแสงที่ตกกระทบสารตัวอย่าง $\times 100$) (แกน y) กับจำนวนคลื่น (แกน x)

10. ส่วนประกอบของเครื่องอินฟราเรดสเปกโถโรโพโตมิเตอร์ (แม่น อมรสิทธิ์ 2535 :112)

เครื่องอินฟราเรดสเปกโถโรโพโตมิเตอร์ โดยทั่วไปประกอบด้วย 5 ส่วน คือ

10.1 IR source แหล่งกำเนิดแสง เป็นส่วนที่ผลิตหรือแปลงแสงให้เป็นแสงในช่วงจำนวนคลื่นที่ต้องการ หลอดที่นำมาใช้เป็นเครื่องกำเนิดแสงจะต้องมีไส้หลอดที่สามารถให้รังสีอินฟราเรดได้ ชนิดที่นิยมใช้ได้แก่ Nernst glower, Globar และ Nichrome coil เป็นต้น

10.2. Sampling area ในระหว่างทางเดินของแสงจะมีบริเวณที่วางตัวอย่าง ลักษณะเป็นหน้าต่างและมีส่วนที่เสียบ sample cell สารที่ใช้เป็นตัวกลางชี้ดับ sample ต้องทำด้วยวัสดุที่ยอมให้แสงอินฟราเรดผ่าน เช่น NaCl, KBr, AgCl, AgBr, CaF₂, BaF₂ เป็นต้น การเลือกใช้ต้องคำนึงช่วงความถี่ของแสงที่สารเหล่านี้ยอมให้ผ่าน ลักษณะตัวอย่าง ช่วงความถี่ของแสงที่ sample ดูดคลื่น

10.3 Monochromator ตัวแยกความถี่แสง เป็นตัวแยกรังสีหรือจัดลำดับรังสีของแสง อาจทำด้วย prism หรือ grating

10.4 Detector เครื่องตรวจสัญญาณ เป็นส่วนที่รับพลังงานแสงขึ้นสุดท้ายแล้วแปลงออกมานำเป็นสัญญาณส่งเข้าเครื่องบันทึกสัญญาณ

10.5 Recorder เครื่องบันทึกสัญญาณทำหน้าที่รับสัญญาณจาก Detector และแสดงผลลัพธ์ ออกมายังบันทึกภาพแสดงเป็นเส้นกราฟที่เรียกว่าสเปกตรัม

11. ชนิดของเครื่องอินฟราเรดสเปกโถโรโพโตมิเตอร์ (บอร์ก ไซตสูต 2548 :201)

เครื่องมืออินฟราเรด (Infrared instruments) มี 3 แบบ คือ

11.1 มาตรสเปกโถรแบบกระจาย (Dispersive) ใช้เกรตติงแบบสะท้อนแสงแยกความยาวคลื่น ใช้งานคุณภาพวิเคราะห์

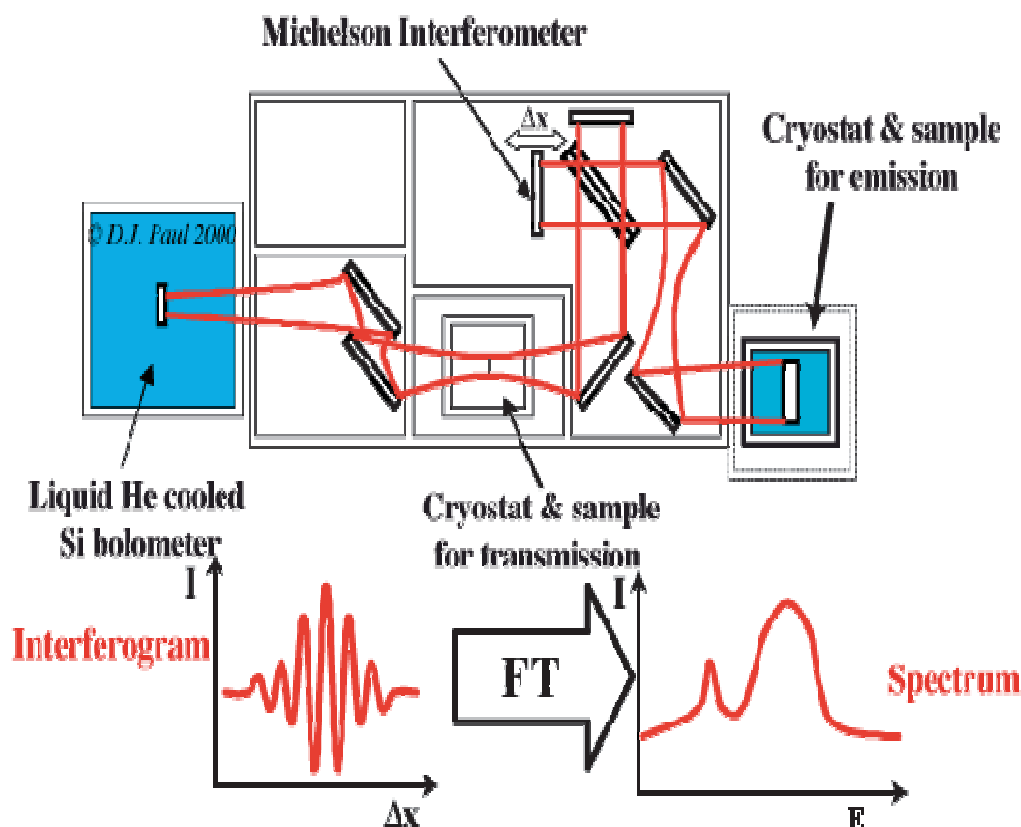
11.2 เครื่องมือแบบมัลติเพล็กซ์ (Multiplex) ใช้เทคนิคฟลูเรเยอร์แทรนซ์ฟอร์ม ใช้งานคุณภาพและปริมาณวิเคราะห์

11.3 มาตรแสงแบบไม่กระจาย (Nondispersive) ใช้งานปริมาณวิเคราะห์สารอินทรีย์ในบรรยายกาศ โดยวิธีสเปกโถชนิดดูดคลื่น เปล่ง และสะท้อน

ก่อนปี ก.ศ. 1980 Infrared Spectrometers เป็นแบบกระจาย ปัจจุบันนิยมใช้เครื่องมือ อินฟราเรดแบบ Fourier transform มากกว่าแบบกระจาย เพราะราคาลดลง ให้ผลแน่นอน

12. Fourier Transform Infrared Spectrophotometer (FTIR) (แม่น อัมรสิทธิ์ 2535 : 118)

FTIR มีหลักการทำงานคล้ายกับ Dispersive infrared spectrophotometer แต่ใช้ interferometer แทน monochromator โดย FTIR จะวัดความเข้มของแสงที่จำนวนคู่นั้นต่าง ๆ อย่างต่อเนื่องเทียบกับเวลาแล้วแปลงผลด้วยสูตรทางคณิตศาสตร์เรียกว่า Fourier transformation



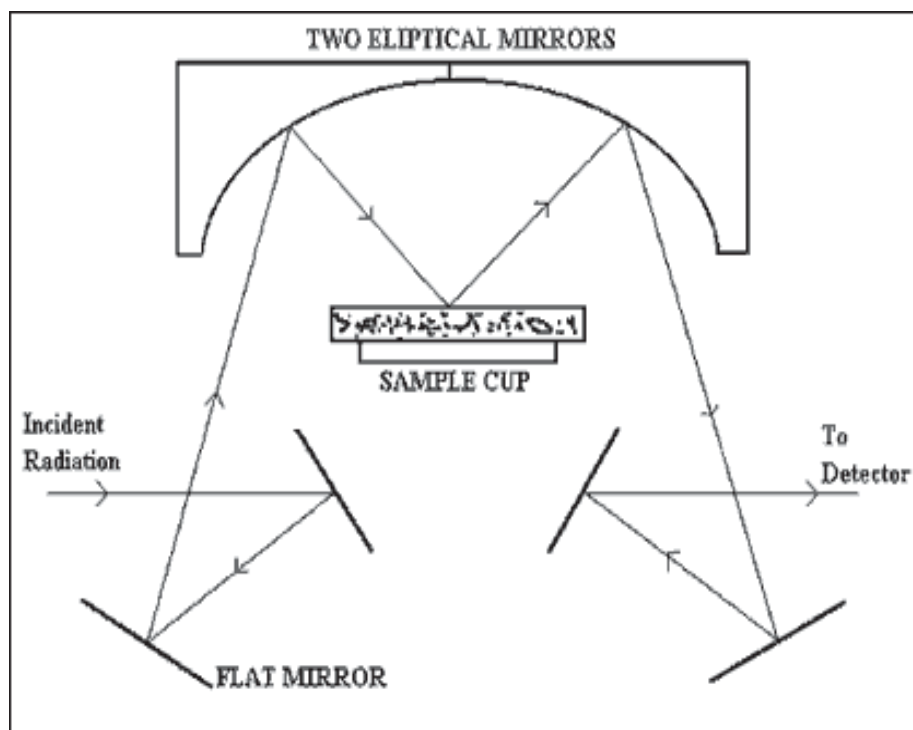
ภาพที่ 2 Fourier Transform Infrared Spectrophotometer

ที่มา: Anonymous. FTIR Diagram block[Online]. Accessed 24 May 2011. Available from http://faculty.sdmiramar.edu/fgarces/LabMatters/Instruments/FTIR/Pic_FTIR/FTIR-1.gif

FTIR มีข้อดีเหนือกว่าชนิด Dispersive คือ สามารถตรวจวัด (Scan) ได้รวดเร็วมีความไว และความเที่ยงตรงสูงกว่า ให้สเปกตรัมที่มีความละเอียดและชัดเจนกว่า แต่มีราคาแพง

13. Diffuse Reflection Infrared Fourier Transform (DRIFT) (แม่น อ默สิทธิ์ 2535 :120)

เป็นเทคนิคที่มีความเหมาะสมสำหรับการวิเคราะห์ตัวอย่างที่มีผิวเรียบหรือมีลักษณะที่เป็นผง เทคนิค DRIFT มีทั้งกระบวนการ Reflection และ Diffraction ของแสงเกิดขึ้นในเวลาเดียวกัน โดยที่มุมของแสงตกกระทบกับตัวอย่างจะแตกต่างจากมุมของแสงที่สะท้อนออก แสงที่สะท้อนออกจะถูกรวมด้วยกระจกโดยดังภาพที่ 3



ภาพที่ 3 ทิศทางการเคลื่อนที่ของแสงด้วยเทคนิค Diffuse Reflection Infrared Fourier Transform (DRIFT)

ที่มา : Anonymous. [DRIFT\[Online\]](http://www.shu.ac.uk/research/meri/equipment/spectroscopy5.html), Accessed 24 May 2011. Available from <http://www.shu.ac.uk/research/meri/equipment/spectroscopy5.html>

ในการวิเคราะห์น้ำดื่มต้องย่างที่จะวิเคราะห์ซึ่งเป็นผงจะถูกบดรวมกับสารที่ไม่ถูกดูดกลืนแสง IR บรรจุลงในช่องใส่สารตัวอย่าง ที่มีความลึกประมาณ 2-3 มิลลิเมตร สเปกตรัมที่ได้ จะมีลักษณะคล้ายกับสเปกตรัมของเทคนิค Transmission technique แต่ต่างกันตรง Relative intensity ของพิกในสเปกตรัม

14. เทคนิคการเตรียมตัวอย่าง (มาตรฐาน ๒๕๔๘ : ๒๑๖)

โดยทั่วไปไม่มีตัวทำละลายใดที่ยอมให้รังสีอินฟราเรดผ่านตลอดช่วงความยาวคลื่นที่สนใจ ดังนั้นการเตรียมสารละลายจึงทำได้ยากและใช้เวลาในการเตรียมนาน สามารถเตรียมได้ทั้งตัวอย่างที่เป็นของแข็ง ของเหลว และก้าช

14.1 ของแข็ง (Solids) สารประกอบอินทรีย์ส่วนมากให้พื้นดูดกลืนในช่วงกลาอินฟราเรด หลายพิก ถ้าตัวทำละลายที่ใช้ละลายสารไม่ให้พิกในช่วงความยาวคลื่นนี้ก็ใช้ได้ การวิเคราะห์ใช้หลักการกระจายของแข็งในของเหลวหรือเมทริกซ์ของแข็ง นำตัวอย่างของแข็งมาบดให้ละเอียดให้มีขนาดเล็กกว่าความยาวคลื่นของรังสีอินฟราเรดเพื่อลดปัญหาจากการกระเจิงรังสี การกระเจิงเกิดเมื่อมีอนุภาคมีขนาดใหญ่กว่าความยาวคลื่นอินฟราเรด

14.1.1 เทคนิคการอัดเม็ด (Pelleting technique) โดยการนำตัวอย่างของแข็งมาบดกับโพแทสเซียมไบร์ไมด์ให้ละเอียดและอัดเป็นเม็ด(เคลือโภห้อลคลาโนน์ชนิดอื่นก็ใช้ได้) เคลือไฮอาโลด มีสมบัติโปร่งใสต่อรังสีอินฟราเรดคล้ายแก้ว เมื่อใส่หรืออัดด้วยความดันสูงจะเป็นเม็ด นำตัวอย่างมา 1 mg บดให้ละเอียด ผสมกับโพแทสเซียมไบร์ไมด์แห้ง 100 mg บดให้เข้ากันในโกร่ง (Mortar) ด้วยสาก (Pestle) ใส่ของผสมนึ่งใน (Die) และอัดด้วยความดันสูง 10,000 ถึง 15,000 ปอนด์ต่อตารางนิ้วพร้อมกับถุงอากาศออก(ไม่มีอากาศภายในเม็ด) ได้เม็ดใส นำเม็ดนี้ใส่ในที่ยึดสารตัวอย่าง ถ้าพบแอบสเปกตรัมที่ $3,450 \text{ cm}^{-1}$ และ $1,640 \text{ cm}^{-1}$ (2.9 และ $6.1 \mu\text{m}$)แสดงว่ามีความชื้นปนถ้าศักยภาพที่เลขคลื่นต่ำกว่า 400 cm^{-1} ใช้โพแทสเซียมไบร์ไมด์ไม่ได้ เพราะโพแทสเซียมไบร์ไมด์ดูดกลืนรังสีช่วงความยาวคลื่นนี้ ต้องใช้ซีเซียมไออกอิดด์แทน แต่ซีเซียมไออกอิดด์ดูดกลืนรังสีช่วงความยาวคลื่นต่ำกว่า 200 cm^{-1}

15. การวิเคราะห์ห้าปริมาณ (แม่น อมรสถิท ๒๕๓๕ : ๑๔๘-๑๕๐)

ด้วยเทคนิคนี้จะใช้หลักการเดียวกับ UV-spectrophotometry คือใช้ Lambert-Beer's Law ซึ่งกล่าวไว้ว่า การดูดกลืนแสง (Absorbance) จะแปรผันโดยตรงกับความเข้มข้น (c) และความหนาของ cell ที่บรรจุ (b)

$$A = abc$$

สำหรับเครื่องอินฟราเรดที่ไม่สามารถอ่านค่าอุกมายเป็น absorbance แต่อ่านเป็น % transmittance (%T) จะต้องคำนวณกลับให้เป็นค่า A ก่อน โดย

$$A = -\log (\%T/100)$$

การทำปริมาณด้วยเทคนิคนี้ยังไม่แพร่หลายเท่า UV และการวิเคราะห์ทำปริมาณด้วยสำลักญู ในต่างประเทศ ฯ ก็มีไม่มากนัก เนื่องจากวิธีนี้มีความไวต่ำ และบางครั้งให้ผลการวิเคราะห์ที่ไม่เป็นไปตาม Lambert-Beer's Law

วิธีการทำปริมาณวิเคราะห์ โดยการดูดกลืนรังสี อินฟราเรด ต่างจากวิธีอื่นเนื่องจากค่อนข้างซับซ้อน แลบดูดกลืนแคบ ซึ่งเป็นปัจจัยสำคัญของเครื่องมืออินฟราเรด เครื่องมือปริมาณวิเคราะห์จากเครื่องมืออินฟราเรด แบบกระจายเหมา กับการทำคุณภาพวิเคราะห์ ดีกว่ามาตรฐานสเปกโตรโฟโต อัดตราไฟฟ้า/วิสิเบลเชิงแสง ความเที่ยงและความแม่นในการทำคุณภาพวิเคราะห์ตัวบ่งชี้ของฟลูเรียร์แทรนเซ็ฟอร์มอินฟราเรด ดีกว่าเครื่องมืออินฟราเรดแบบกระจาย และทำให้สเปกตรัมคุณภาพดีโดยทั่วไป ในการทำปริมาณวิเคราะห์โดยใช้เทคนิคทาง Infrared spectroscopy นั้นไม่มีความจำเป็นต้องหาค่า Σ หรือ a เพราะนิยมใช้วิธีเทียบกับสารมาตรฐานที่ทราบความเข้มข้นแล้ว นั่นคือ

$$\frac{Au}{As} = \frac{abuCu}{absCs}$$

เมื่อ a ของสารอย่างเดียวกันจะเท่ากัน

$$b_u = b$$

เมื่อใช้เซลล์ขนาดเดียวกัน หรือเซลล์เดียวกัน

$$b_u = b$$

ดังนั้น เมื่อ $A_u = \text{Absorbance ของสารตัวอย่าง}$

A_s A_s = Absorbance ของสารมาตรฐาน

C_u = ความเข้มข้นของสารตัวอย่าง

C_s = ความเข้มข้นของสารมาตรฐาน

บางครั้งในการหาค่า transmittance (**I₀**) หรือ absorbance (**A₂**) โดยใช้ base-line method เมื่อพิคหรือแบนด์อยู่ใกล้กันมาก หรือบางครั้งบังกัน (Overlap) กับพิคอื่นๆเพื่อให้ได้ค่าที่มีความแม่นยำดี (Best precision) ให้ใช้เส้นราบเป็น base-line เพราะการกระเจิงแสงก็ยังมีส่วนเข้ามาเกี่ยวข้อง ดังนั้น โดยทั่วไปในการวัดค่าแอบซอร์บันซ์ (Absorbance) ของสารจึงนิยมใช้วิธีที่เรียกว่า “base-line method” วิธีนี้ทำได้ 2 วิธี คือ

15.1 การวิเคราะห์หาปริมาณโดยใช้วิธีเทียบกับสารมาตรฐาน การคำนวณหาค่า

absorbance จากสเปกตรัมอินฟราเรดโดยการเลือกจุดสำหรับหาค่า หรือค่า **A₁** นั้นควรจะต้องมีค่าอยู่ระหว่าง 20% T และ 80% และจุดที่เลือกไม่จำเป็นจะต้องเป็นจุดสูงสุดของการดูดกลืนแสง (Minimum T) แต่ทางที่ดีที่สุดควรเลือกจุดสูงสุด เพราะง่ายต่อการกำหนดตำแหน่ง การหาค่า %T ถ้าได้ค่าต่างกันมากกว่า 1% จาก 2 สเปกตรัม ให้หาจากสเปกตรัมที่ 3 ถ้า %T ต่างกันอีกมากกว่า 2% ให้หาจากสเปกตรัมที่ 4 แล้วนำมาเฉลี่ยเป็นค่า %T ที่วัดได้

15.2 การหาปริมาณของสารโดยใช้วิธีทำกราฟมาตรฐาน โดยการเขียนกราฟระหว่างค่า

absorbance กับความเข้มข้น ในการทำกราฟมาตรฐานควรใช้เครื่องเดียวกันโดยตลอด ใช้เซลล์ใส่สารตัวอย่างและสารมาตรฐานอันเดียวกัน ตลอดจนสภาพเดียวกัน ของการใช้เครื่องจะต้องเหมือนกันด้วย จะต้องไม่ลืมว่าอุปกรณ์ที่ใช้และวิธีการทำมีส่วนสำคัญต่อผลของการวิเคราะห์โดยขั้นตอนดังนี้

หาสารมาตรฐานที่บวบสุทธิ์แล้วทดลองหาสเปกตรัมอินฟราเรดของแต่ละชนิด

สมด้วยทำลายหั้งสามชนิดนี้ให้มีความเข้มข้น (% โดยปริมาตร) ต่างกัน แล้วนำไป

หาสเปกตรัมอินฟราเรด

เลือกพิคของสเปกตรัมที่เห็นว่าดีที่สุดของสารแต่ละชนิด

หาค่า absorbance ของแต่ละสารแล้วนำมาเขียนกราฟมาตรฐานระหว่างค่า

absorbance แล้วนำไปอ่านจากกราฟมาตรฐาน ก็จะทราบปริมาตรหรือความเข้มข้นได้

16. การแปลผลสเปกตรัมของ FTIR

ตารางที่ 2 ตารางการคุณค่าสีนแสงอินฟราเรดในช่วงเลขคู่ต่างๆ

Bond	Compound Type	Frequency range, cm^{-1}
C-H	Alkanes	2960-2850(s) stretch
		1470-1350(v) scissoring and bending
	CH ₃ Umbrella Deformation	1380(m-w) - Doublet - isopropyl, <i>t</i> -butyl
C-H	Alkenes	3080-3020(m) stretch
		1000-675(s) bend
C-H	Aromatic Rings	3100-3000(m) stretch
	Phenyl Ring Substitution Bands	870-675(s) bend
	Phenyl Ring Substitution Overtones	2000-1600(w) - fingerprint region
C-H	Alkynes	3333-3267(s) stretch
		700-610(b) bend
C=C	Alkenes	1680-1640(m,w)) stretch
C≡C	Alkynes	2260-2100(w,s) stretch
C=C	Aromatic Rings	1600, 1500(w) stretch
C-O	Alcohols, Ethers, Carboxylic acids, Esters	1260-1000(s) stretch
C=O	Aldehydes, Ketones, Carboxylic acids, Esters	1760-1670(s) stretch
O-H	Monomeric -- Alcohols, Phenols	3640-3160(s,br) stretch
	Hydrogen-bonded -- Alcohols, Phenols	3600-3200(br) stretch
	Carboxylic acids	3000-2500(br) stretch
N-H	Amines	3500-3300(m) stretch
		1650-1580 (m) bend

ตาราง(ต่อ)

C-N	Amines	1340-1020(m) stretch
C≡N	Nitriles	2260-2220(v) stretch
NO ₂	Nitro Compounds	1660-1500(s) asymmetrical stretch
		1390-1260(s) symmetrical stretch

v - variable, m - medium, s - strong, br - broad, w – weak

ที่มา : Stanislaus. Interpretation of Infrared Spectra [Online], Accessed 28 May 2011.

Available from <http://wwwchem.csustan.edu/Tutorials/INFRARED.HTM>

17. ข้อดีของสเปกโทรฟลูเรียร์แทรนซ์ฟอร์ม (ณรนค ๒๕๔๘ :๒๓๖)

เครื่องฟลูเรียร์แทรนซ์ฟอร์มอินฟราเรดใช้ศึกษาช่วงคลังอินฟราเรดให้อัตราส่วนสัญญาณต่อการรบกวนสูงกว่าเครื่องมืออินฟราเรดแบบกระจายที่มีคุณภาพดีหลายเท่า การเพิ่มสัญญาณต่อการรบกวนอย่างรวดเร็ว ทำให้ได้สเปกตรัมที่ดีภายนอกใน 2 ถึง 3 วินาที เครื่องมือที่ใช้หลักการแทรกสอดสเปกตรัมที่ได้มีการแยกสูง (น้อยกว่า 0.1 cm^{-1}) ความถี่ที่วัดได้มีความแม่นยำและ reproduce ข้อดีอีกข้อ ได้แก่ สเปกตรัมที่ได้เป็นสเปกตรัมที่ลบ background แล้ว

ข้อดีเชิงทฤษฎีของเครื่องฟลูเรียร์แทรนซ์ฟอร์ม ให้พลังงานของระบบแสลงมากกว่าเครื่องมือแบบกระจายหนึ่งถึงสองเท่า เนื่องจากเครื่องมือแบบกระจายใช้ความกว้างช่องเล็ก ယา แคบ แต่ใช้วิธีการเพิ่มกำลังขยาย (Gain) เพื่อชดเชยสภาพไว้ที่ลดลง ส่วนแทรนซ์ดิวเซอร์ที่ใช้กับมาตรฐานแทรกสอดไม่มีปัญหาเนื่องจากรังสีอินฟราเรดเข้าไป เพราะเป็นรังสีแบบต่อเนื่อง ส่วนรังสี infrared เป็นแบบสับมีความถี่ต่างกันออกไป transducer ตอบสนองสัญญาณเร็วและใช้หลักการแทรกสอดจึงวิเคราะห์สารที่มีปริมาณน้อยได้ แสงที่มีลดลงเข้าไปไม่มีผลต่อระบบแทรกสอด เพราะแสงที่วัดเป็นแบบสับ ส่วนแสงที่ลดลงเข้าไปเป็นแบบต่อเนื่อง

เครื่องมือที่ใช้หลักการแทรกสอด (Fourier Transform) นิยมใช้งานทางเคมีเนื่องจาก

งานที่ต้องการการแยกสูงทำได้โดยเฉพาะตัวอย่างแก๊สซับช้อน เนื่องจากแอบระดับพลังงานการสั่นและการหมุนทับกัน

วิเคราะห์ตัวอย่างที่มีความเข้มข้นสูงได้ วัดค่าความดูดกลืนสูงสุด

ศึกษาสารที่ให้ค่าแบบดูดกลืนน้อยได้ (เช่น สารประกอบที่ศึกษามีการดูดทางเคมี

ผิว (catalyst)

การสแกนตัวอย่างรวดเร็วจึงใช้ทางจลศาสตร์ได้ดี (เช่น หา gas ที่ออกจากเครื่องแยก gas)

ศึกษาสารตัวอย่างปริมาณน้อยๆ ได้ (รวมรวมข้อมูลスペกตรัมต่างๆ)

ศึกษาスペกตรัมแบบสะท้อนได้

ศึกษาスペกตรัมเปล่ง infrared

18. งานวิจัยที่เกี่ยวข้อง

Edita Botonjic-Sehic(2009) ได้พิจารณาในการพัฒนาเครื่องมือตรวจคุณภาพแบบ spectroscopy สำหรับการตรวจหาอายุคราบโลหิต โดยการใช้แสง Visible, แสงอินฟราเรดช่วงไกล (NIR) และ แสงอินฟราเรดช่วงกลาง (MID) โดยเฉพาะช่วงความยาวคลื่น 1100 -2500 nm ของ NIR เป็นช่วงที่เหมาะสมสำหรับการตรวจหาคราบโลหิตเป้าหมายโดยรวมในการทำการวิจัยครั้งนี้คือ การสำรวจความเป็นไปได้ในการพัฒนาเครื่องมือนี้ในการประมาณอายุของคราบโลหิตที่พบในสถานที่เกิดเหตุ หลักการคือ การวัดสัญญาณแสง(スペクトรัม) ที่สะท้อนจากคราบโลหิตและใช้ข้อมูลที่ได้ตรวจสอบไว้ก่อนหน้านี้ สอนเทียบข้อมูลในการตรวจหาอายุของคราบโลหิต จากการได้ศึกษาการเปลี่ยนแปลงของスペกตรัมในช่วง (NIR) โดยนำโลหิตของมนุษย์จากเส้นโลหิตดำและหลอดโลหิตฝอยถูกนำมาใช้ในการตรวจสอบ ตัวอย่างถูกเตรียมโดยการวางบนพื้นผิวสีขาว ผ้ากันเชื้อและกระดาษ สเปกตรัมอินฟราเรดช่วงไกล (NIR) ของตัวอย่างถูกวัดเป็นระยะๆ ที่สภาวะแวดล้อม 1 เดือน การเปลี่ยนแปลงของスペกตรัมสามารถใช้ แพลตฟอร์มการเปลี่ยนแปลงทางเคมีของตัวอย่าง การสูญเสียน้ำเม็ดน้ำที่สำคัญในการสร้างการเริ่มต้นการเปลี่ยนแปลงในスペกตรัม หลังจากชั่วโมงแรก, พวณแบบนาคใหญ่ที่ปรากฏจะหัวใจช่วงความยาวคลื่น 1460 และ 1860 nm และจะโตขึ้นตามอายุของคราบโลหิตแทนที่ปรากฏนี้ เกิดมาจากการก่อตัวของเมธอกิโนโลกลบินและการจับกันน้ำ และจะเพิ่มขึ้นอย่างต่อเนื่องประมาณ 21 วันและสามารถใช้ในการประมาณอายุของคราบโลหิตได้.

Stefan Strasser(2007) ใช้วิธีการทาง Force spectroscopy สำหรับการประมาณอายุของคราบโลหิตซึ่งสามารถนำมาใช้ในงานด้านนิติวิทยาศาสตร์ได้ โดยใช้ AFM (Atomic Force Microscopy) เพื่อการถ่ายภาพที่มีความละเอียดสูงในการถ่ายภาพเซลล์เม็ดโลหิตแดง และระบุความขีดหยุ่นที่เปลี่ยนแปลงได้ในระดับ nanometer scale ในขั้นตอนการวิเคราะห์ได้นำหยดโลหิตหยดลงบน slide glass เมื่อหยดโลหิตแห้งเริ่มการศึกษาโดย AFM ในขั้นตอนแรกจะแสดงรูปภาพของเซลล์เม็ดโลหิตแดงจำนวนหลายเซลล์ ซึ่งสามารถระบุได้่ายน่องจากรูปร่างของเซลล์เม็ดโลหิตแดงมีลักษณะคล้ายโคน้ำ ลำดับต่อมาเป็นการศึกษารูปร่างลักษณะของเซลล์เม็ดโลหิต

แดงในระยะเวลา 4 สัปดาห์ ซึ่งไม่เห็นการเปลี่ยนแปลงใดๆ ขั้นตอนที่สองจะใช้ AFM ทดสอบ ความยืดหยุ่นโดยบันทึกแนวของความโค้งที่เปลี่ยนแปลง ซึ่งจะทำทันทีขณะที่โลหิตกำลังแห้งที่ระยะเวลา 1.5 ชั่วโมง, 30 ชั่วโมง และ 31 วัน ภายใต้สภาวะแวดล้อมคงที่ ณ อุณหภูมิห้อง (20°C) และที่ความชื้นสัมพัทธ์ 30% หลังจากนั้นนำค่าที่ชี้วัดความยืดหยุ่นดังกล่าวมาเขียนกราฟเทียบกับระยะเวลา ทำข้าหลายๆ ครั้ง จากการทดลองแสดงว่าความยืดหยุ่น (Elasticity pattern) จะลดลง เมื่อระยะเวลาผ่านไปนานขึ้น ซึ่งมีความเป็นไปได้อย่างมากว่า เนื่องมาจาก การเปลี่ยนแปลงที่เกิดขึ้นภายในหยดโลหิตขณะที่กำลังแห้งและจากการเปลี่ยนแปลงในกระบวนการแข็งตัวของโลหิตจากข้อมูลเบื้องต้นแสดงให้เห็นถึงความเป็นไปได้ของวิธีการนี้ที่จะนำมาใช้ในการสร้างกราฟมาตรฐาน (Calibration Curves) ซึ่งสามารถนำมาใช้ในการประมาณอายุของโลหิตได้

Hiroyuki Inoue, et al.(1992) ได้ศึกษาการเปลี่ยนแปลงของโปรตีนในครานโลหิต โดยเก็บตัวอย่างโลหิตจากอาสาสมัครจำนวน 8 คน ตัวอย่างโลหิตได้เก็บไว้ใน Ethylene Diamine Tetraacetic Acid (EDTA) โดยอาสาสมัครทุกคนไม่พบว่ามีความผิดปกติของชีโมโกลบิน โลหิตตัวอย่างถูกหยดลงบนกระดาษกรอง (Toyo Roshi, Ltd., No. 1, Tokyo, Japan) และทำให้แห้งโดยผึ่งทิ้งไว้ข้ามคืนในสภาวะปกติ แต่ละตัวอย่างถูกเก็บไว้ที่ 6 สภาวะ คือ ภายใต้แสงฟลูออเรสเซนต์ และในที่มีดีโดยเก็บไว้ที่อุณหภูมิ 37°C ที่อุณหภูมิห้อง และที่ 4°C ทำการทดสอบ ได้รายงานการลดลงตามระยะเวลาของอัตราส่วนระหว่างพื้นที่พีกของแอ็ลฟ้าโกลบิน (α -globin peak area) ต่อพื้นที่พีกของชีเม (heme peak area) ในครานโลหิต และหลังจากนั้นได้รายงานการพบพีกที่มีพื้นที่เพิ่มขึ้นตามระยะเวลา โดยเรียกว่าพีก “X” ซึ่งไม่สามารถตรวจพบพีกนี้ในโลหิตสด

Andrasko J, Rosén B (1994) ได้รายงานการใช้ HPLC ในวิเคราะห์ชีโมโกลบินในครานโลหิต ด้วย reversed phase large pore column (5 μm particle size, C₄-phase, 300 \AA° bore size) โดยใช้วิเคราะห์สารสักดิ์จากครานโลหิตของสัنجีชีวิตสปีชีส์ต่างๆ สำหรับครานโลหิตของมนุษย์นั้น ดำเนินการโดยเก็บตัวอย่างโลหิตจากเส้นโลหิตดำของผู้ใหญ่ ตัวอย่างโลหิตเหล่านี้ถูกแช่แข็งและเก็บรักษาไว้ที่ -67°C สำหรับใช้หลายๆ ปี ครานโลหิตตัวอย่างได้มาโดยหยดโลหิตสด หรือโลหิตที่ทำให้ละลายจากการแช่น้ำแข็งแล้วลงบนกระดาษกรอง (Munktell No.3) และทำให้แห้งโดยทิ้งไว้ข้ามคืน และจากที่ทราบกันแล้วว่า พื้นที่พีกของ α -globin ต่อพื้นที่พีกของ heme ในครานโลหิตแกรมที่ได้จากการสักดิ์จากครานโลหิตนั้นลดลงทีละน้อยตามระยะเวลา ซึ่งการทดลองนี้ก็พบปรากฏการณ์เช่นเดียวกัน และนอกจากนี้ยังพบว่าความกว้างของฐานพีกของ α และ β -globin เพิ่มขึ้นตามระยะเวลาที่ใช้ในการเก็บตัวอย่าง ซึ่ง globin peak แต่ละอันจะถูกชะออกมาน

ใกล้กันมากขึ้น แนวทางในการประมาณอายุสามารถดูได้จากความสามารถในการแยกที่ลดลงของ ทั้งสองพีคนี้ และจากการสูงขึ้นของตำแหน่งต่ำสุดที่อยู่ระหว่างกลางของพีคทั้งสอง

Barcot O, Balarin M, et al.(2006) กล่าวว่า เครื่อง FTIR แสดงスペกตรัมของตัวอสุจิ ของมนุษย์และนำอสุจิซึ่งถูกวิเคราะห์และบันทึกข้อมูลไว้ ขั้นตอนเหล่านี้ได้รับการยอมรับสำหรับ การเตรียมตัวอย่างที่ง่ายต่อการทราบลักษณะของสเปกตรัม การกำหนดของ band เหล่านี้ได้อ้างอิง มาจากแหล่งกำเนิดของการรวมลักษณะของตัวอสุจิ (sperm specific doublet) ได้ถูกพิจารณา ณ ตำแหน่ง band ที่เลขคู่ 968 cm^{-1} และ 981 cm^{-1} หลักการ PCR ถูกใช้เพื่ออธิบายสเปกตรัมที่มี ความจำเพาะและมีความสัมพันธ์กับความเป็นเอกลักษณ์ของตัวอสุจิ เช่น ความเข้มข้น ความเร็ว ในการเคลื่อนที่, จังหวะสัญญาณความถี่ ดังนั้น พารามิเตอร์ของสเปกตรัมแบบง่ายนี้ เช่น ความเข้ม ของ band และอัตราส่วนของ band ได้ถูกทดสอบเพื่อวิเคราะห์ให้ทราบถึงการเชื่อมโยง ความสัมพันธ์ที่ดีที่สุดเพื่อให้ทราบถึงเอกลักษณ์ของอสุจิ บริเวณ band ของสเปกตรัม amind I ระหว่างเลขคู่ 1700 cm^{-1} และ 1590 cm^{-1} ถูกกำหนดว่ามีความสัมพันธ์จำเพาะกับความเข้มข้น ของอสุจิ, พารามิเตอร์ที่ให้เส้นสเปกตรัมสัมพันธ์กับความเข้มข้นของอสุจิ มีความเข้มข้นของ amide I สำหรับความเร็วในการเคลื่อนที่ band ที่มีเลขคู่ ระหว่าง 1119 cm^{-1} และ 943 cm^{-1} ถูกกำหนดให้เป็นบริเวณแสดงเอกลักษณ์จำเพาะ ความสัมพันธ์ของปริมาณของกรดนิวคลีอิกซึ่ง สัมพันธ์กับโปรตีนแสดงเส้นที่ขึ้นอยู่กับความเร็วในการเคลื่อนที่ของอสุจิ จังหวะสัญญาณความถี่ แสดงความสัมพันธ์ที่ดีที่สุด ณ ตำแหน่ง band เลขคู่ ระหว่าง 3678 cm^{-1} และ 2749 cm^{-1} ซึ่ง ส่วนใหญ่แสดงถึงไขมันและโปรตีน ผลลัพธ์นี้แสดงได้ว่า เครื่อง FTIR มีประโยชน์เพื่อช่วย ส่งเสริมการศึกษาเกี่ยวกับหน้าที่ของเซลล์และเนื้อเยื่อ

บทที่ 3
วิธีการดำเนินการวิจัย

1. วัสดุอุปกรณ์

ตารางที่ 3 วัสดุอุปกรณ์

วัสดุอุปกรณ์	แหล่งที่ผลิต
เครื่อง Fourier Transform Infrared Spectroscopy รุ่น Spectrum 1000	บริษัท Perkin Elmer Thailand
เครื่อง Fourier Transform Infrared Spectroscopy รุ่น Spectrum GX	บริษัท Perkin Elmer Thailand
Diffuse Reflectance Accessory รุ่น Spectrum GX	บริษัท Perkin Elmer
เครื่องชั่งแบบละเอียด รุ่น DRAGON 204	บริษัท Mettler Toledo
โกร่งบด	บริษัท Perkin Elmer Thailand
ساเกบด	บริษัท Perkin Elmer Thailand
เครื่องอัดแรงดัน (Hydraulic pellet press)	บริษัท Specac
Blood lancet	บริษัท Terumo
Needle injection	บริษัท Terumo
Syringe volume 5 ml	บริษัท Terumo
Auto pipette 20-200 ml	บริษัท GIB Thai
Glass slide (microscopic slide)	บริษัท Jed Pella, Inc.
นาฬิกาจับเวลา	บริษัท Casio

2. สารเคมี

ตารางที่ 4 สารเคมี

สารเคมี	แหล่งที่ผลิต
Potassium Bromide (KBr powder) เกรด FTIR	บริษัท Sigma-Aldrich
Acetone	บริษัท fluka
Titanium dioxide	บริษัท Sigma-Aldrich

3. วิธีการทดลอง

3.1 การวิเคราะห์ตัวอย่างด้วยเทคนิค Diffuse Reflectance Infrared Fourier Transform

Spectroscopy (DRIFT FTIR)

3.1.1 การเก็บตัวอย่างเก็บตัวอย่างโลหิตจากอาสาสมัครในหลอดที่มีสารกันโลหิต เช่น Ethylene Diamine Tetraacetic Acid (EDTA) บันทึกเวลาและวันที่ทำการเก็บตัวอย่าง จากนั้นนำไปเก็บไว้ในตู้เย็นที่อุณหภูมิ 4°C

3.1.2. การเตรียมตัวอย่าง

3.1.2.1 นำตัวอย่างโลหิตที่เก็บไว้ในตู้เย็นหยดลงบนช่องใส่ตัวอย่างที่มี Titanium dioxide เป็นตัวรองรับ

3.1.2.2 ทำการวิเคราะห์ด้วย FT-IR Perkin Elmer รุ่น Spectrum GX โดยใช้ mode Kubelka-Munk ที่ช่วงเลขคู่ 7800-4000 cm^{-1} resolution 4 cm^{-1} จำนวนสแกน 256 รอบ/ครั้ง โดยทำการวิเคราะห์ที่เวลาต่างๆ กัน (30-100) นาทีหลังจากหยดโลหิตลงบนตัวรองรับ

3.1.2.3 นำผลสเปกตรัมที่ได้ไปวิเคราะห์ข้อมูลโดยวัดพื้นที่ได้พิกในช่วงเลขคู่ 7153-5394 cm^{-1} และนำมาสร้างกราฟหาความสัมพันธ์ระหว่างพื้นที่ได้พิกกับเวลา (นาที)

3.2 การวิเคราะห์ตัวอย่างด้วยเทคนิค Transmission Infrared Fourier Transform Spectroscopy (TIFTs)

3.2.1 การเก็บตัวอย่าง เก็บตัวอย่างด้วยวิธีเดียวกันกับเทคนิค Diffuse Reflectance Infrared Fourier Transform Spectroscopy (DRIFTs) ข้อ 3.1.1

3.2.2 การเตรียมตัวอย่าง

3.2.2.1 นำตัวอย่างโลหิตหยดลงบนกระจกสไลด์ ให้ได้น้ำหนักประมาณ

0.0040 g

3.2.2.2 ตั้งทิ้งไว้ที่อุณหภูมิห้องที่ระยะเวลาต่างๆ กัน

3.2.2.3 ชั่งน้ำหนักที่แน่นอนของคราบโลหิตบนกระจกสไลด์ บุดคราบโลหิตบนกระจกสไลด์ออก แล้วชั่งน้ำหนักกระจกสไลด์หลังบุดคราบโลหิต เพื่อให้ทราบน้ำหนักที่แน่นอนของคราบโลหิต

3.2.2.4 ทำการเตรียมด้วยวิธี KBr disc ด้วยการนำคราบโลหิตมาบดผสมกับ KBr อัตราส่วน 1 : 99 โดยน้ำหนักอัดเป็นแผ่นโดยใช้แรงดัน 10 kPa เป็นเวลา 10 นาที แล้วนำ KBr disc ที่ได้มาชั่งน้ำหนัก บันทึกน้ำหนักของแผ่น KBr disc

3.2.2.5 วิเคราะห์โดย FTIR Perkin Elmer รุ่น Spectrum 100 ที่ช่วงเลขคลื่น 4000 -400 cm⁻¹ resolution 4 cm⁻¹ จำนวนสแกน 256 รอบ/ครั้ง

3.2.2.6 ทำการวิเคราะห์ทุกๆ 6 ชั่วโมง เป็นเวลา 4 วัน นำสเปกตรัมที่ได้ไปวิเคราะห์ผลการทดลองต่อไป

3.2.2.7 นำสเปกตรัมที่ได้จากข้อ 3.2.2.6 มาทำการเปลี่ยน % transmittance เป็น % absorbance จากนั้นทำการปรับ smooth สเปกตรัมพร้อมทั้งทำการปรับ auto baseline ตามลำดับโดยใช้ software ที่ติดตั้งมา กับเครื่อง FTIR Perkin Elmer รุ่น Spectrum 100 จะได้ สเปกตรัมที่พร้อมสำหรับ integrate peak ต่อไป

3.2.2.8 นำน้ำหนักของคราบโลหิต, KBr และ KBr disc มาคำนวณหาค่า Factor จากสมการต่อไปนี้

$$\text{ค่า Factor} = \frac{\text{น้ำหนักของตัวอย่างที่บุกรากสไลด์} + \text{น้ำหนักของ KBr ที่ใช้วิเคราะห์}}{\text{น้ำหนักของตัวอย่างที่บุกรากสไลด์} \times \text{น้ำหนักของ KBr disc}}$$

3.2.2.9 นำเส้นสเปกตรัมที่ได้จากการวิเคราะห์ที่เวลาต่างๆ นำมาคำนวณหาเส้นสเปกตรัมใหม่จากสมการดังนี้

$$\text{เส้นสเปกตรัมใหม่} = \text{เส้นสเปกตรัม} \times \text{ค่า Factor}$$

3.2.3 จากเส้นสเปกตรัมใหม่ที่ได้จากการวิเคราะห์ตัวอย่างที่เวลาต่างๆ น่าวัดพื้นที่ได้พีคในช่วงเลขคู่ 3700 – 3000 cm^{-1} (A_{3300}) กับพื้นที่ของพีคที่ไม่มีการเปลี่ยนแปลงเมื่อเวลาผ่านไป ในช่วงเลขคู่ 770 - 730 cm^{-1} (A_{744})

3.2.4 คำนวณอัตราส่วน (A_{3300}/A_{744}) และนำอัตราส่วนที่ได้พล็อตกราฟมาตราฐาน เทียบกับอายุของตัวอย่างและหาสมการเส้นตรงจากความสัมพันธ์ดังกล่าว

3.2.5 ทำการวิเคราะห์ช้าจำนวน 4 ชั้้น และนำมาหาค่าเฉลี่ยของอัตราส่วนพื้นที่ได้พีค ค่าเบี่ยงเบนมาตรฐานและ %RSD

4. การวิเคราะห์ตัวอย่างโลหิตจากอาสาสมัคร

4.1 นำตัวอย่างโลหิตจากอาสาสมัครจำนวน 13 รายมาหยดลงบนแผ่นกระดาษไอลิต์และ ทึบไว้ให้แห้งและเก็บตัวอย่างที่เวลาๆ กัน

4.2 ทำการเก็บตัวอย่างเช่นเดียวกับข้อ 3.2.3 – 3.2.8

4.3 ทำการวิเคราะห์หาอัตราส่วนพื้นที่ได้พีค จากตัวอย่างโดยทำการวิเคราะห์ด้วยเทคนิค เดียวกันกับการทำกราฟมาตราฐาน คำนวณอัตราส่วน (A_{3300}/A_{744}) และนำอัตราส่วนที่ได้จากการ คำนวณในแต่ละครั้ง ประมาณอายุของทราบโลหิตจากการฟามาตราฐาน

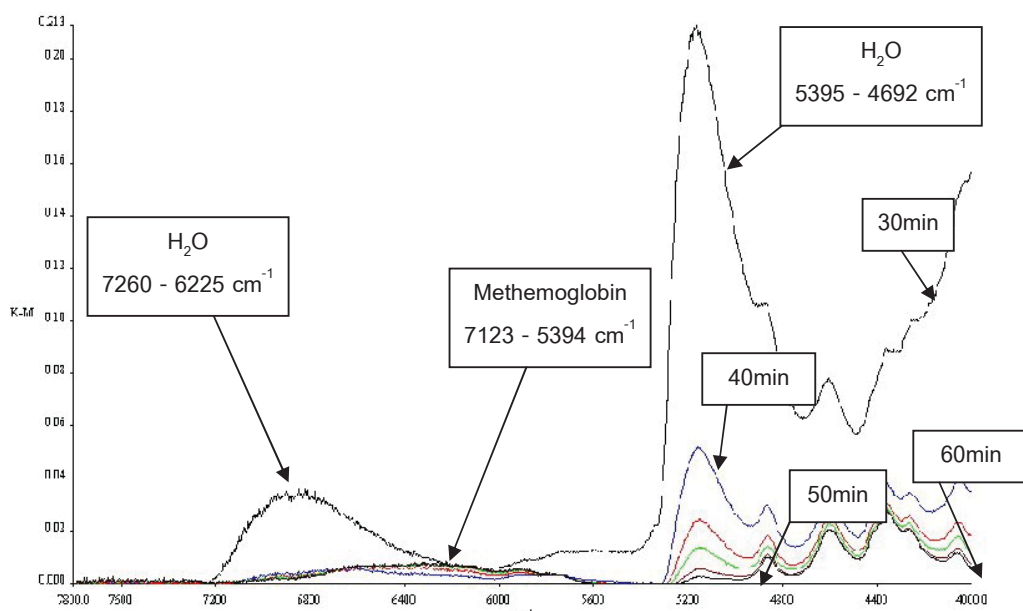
4.4 เปรียบเทียบอายุของทราบโลหิตที่ได้จากการทดลองเทียบกับเวลาจริง

บทที่ 4

ผลการวิเคราะห์ข้อมูล

1. การวิเคราะห์ตัวอย่างโลหิตด้วยเทคนิค Diffuse Reflectance Infrared Fourier Transform Spectroscopy

จากการศึกษาการประมาณอายุของคราบโลหิตมนุษย์ โดยนำตัวอย่างโลหิตมาวิเคราะห์ด้วยเทคนิค Diffuse Reflectance Infrared Fourier Transform Spectroscopy (DRIFT FTIR) โดยใช้ Titanium dioxide เป็นตัวรองรับในช่วงเลขค่า 7800-4000 cm^{-1} ได้สเปกตรัมดังภาพที่ 4



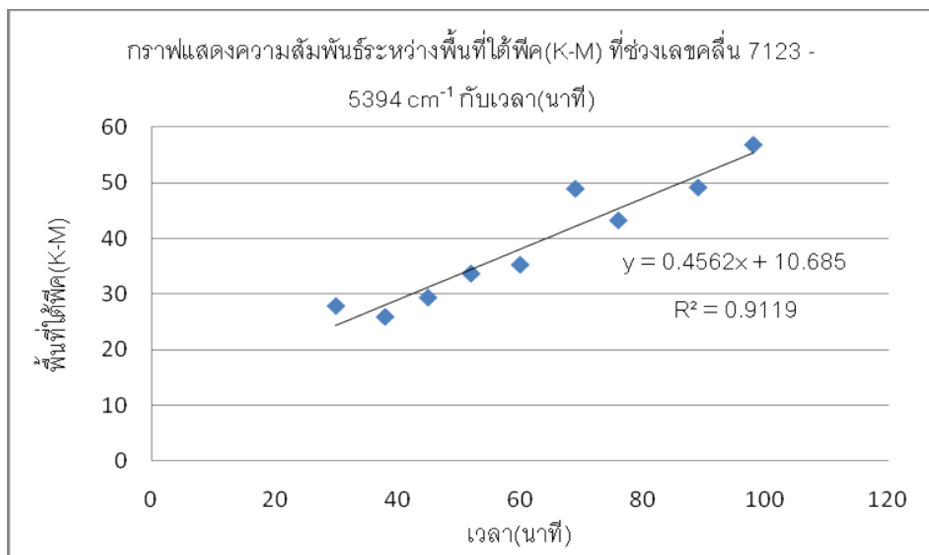
ภาพที่ 4 สเปกตรัมของคราบโลหิตที่ระยะเวลาต่างๆ กันในช่วงเลขค่า 7800-4000 cm^{-1}

ด้วยเทคนิค DRIFT FTIR

จากสเปกตรัมของตัวอย่างคราบโลหิตในช่วงเลขค่า 7800-4000 cm^{-1} ในช่วงระยะเวลาตั้งแต่เริ่มต้นหยดโลหิตถึงภายใน 1 ชั่วโมงแรก พบร่องน้ำที่ชัดเจนอยู่ 2 พิกคือที่ช่วงเลขค่า 7260 – 6225 cm^{-1} และ 5395 – 4692 cm^{-1} หลังจากเวลาผ่านไป 1 ชั่วโมงแล้ว พิกของ Methemoglobin ที่ช่วงเลขค่า 7123 – 5394 cm^{-1} จะปรากฏขึ้นมาและพบว่าพิกของน้ำมีพื้นที่

ลดลงในขณะที่พิคของ Methemoglobin มีพื้นที่เพิ่มขึ้น เนื่องจากเหล็ก (Fe^{2+}) ที่อยู่ในโมเลกุลของ อี莫โกลบินในเม็ดโลหิตแดงถูกออกซิไดซ์ เกิดการออกซิเดชั่นจาก Fe^{2+} เป็น Fe^{3+} เกิดเป็น เมทธิโ莫โกลบิน

เมื่อนำสเปกตรัมที่ได้จากตัวอย่างทราบโลหิตมาหาพื้นที่ได้พิค (K-M) ของ Methemoglobin ที่ช่วงเลขคู่ล้วน $7123 - 5394 \text{ cm}^{-1}$ จากนั้นผลอัตราเฟเทียบกับอายุของทราบโลหิต พบว่ามีการ เพิ่มขึ้นตามสมการ $y = 0.4562x + 10.685$ มีค่าสหสัมพัทธ์เท่ากับ 0.9119 ดังภาพที่ 5



ภาพที่ 5 กราฟความสัมพันธ์ระหว่างพื้นที่ได้พิค(K-M) ของ Methemoglobin ที่ช่วงเลขคู่ล้วน $7123 - 5394 \text{ cm}^{-1}$ ของตัวอย่างทราบโลหิตกับอายุของทราบโลหิต

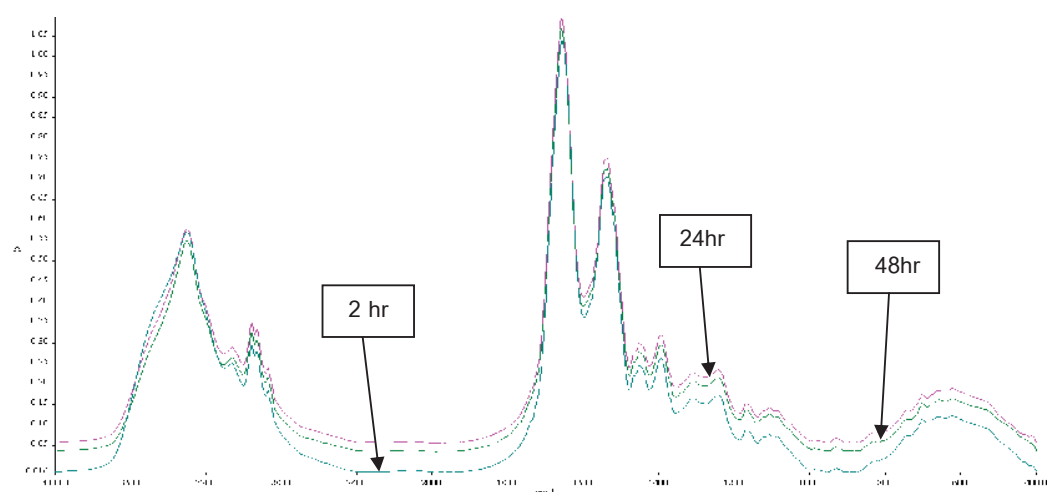
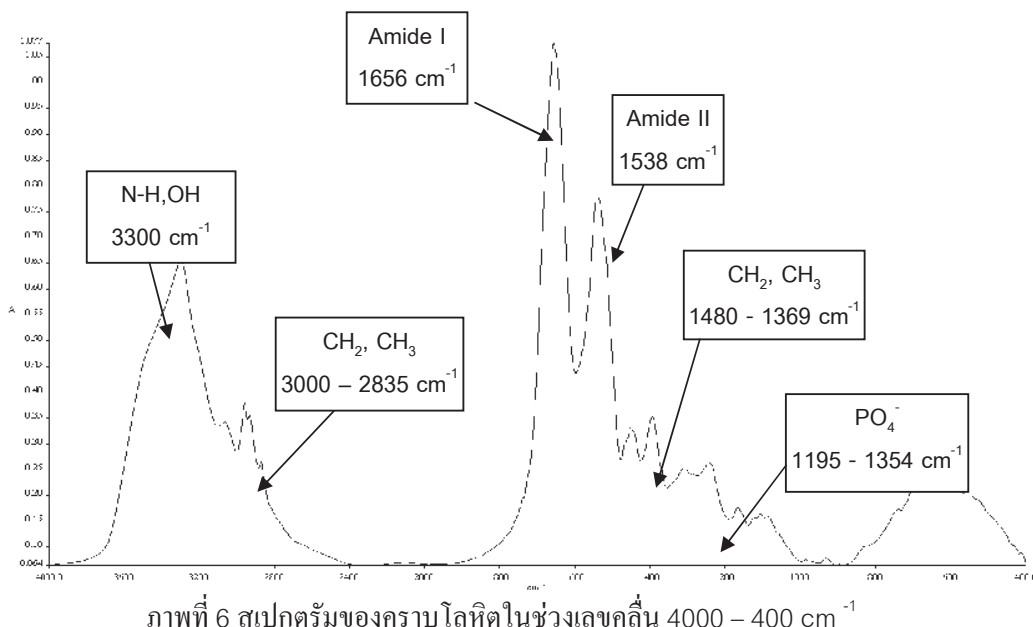
จากภาพที่ 5 พบว่าเมื่อเวลานานขึ้น กราฟที่ได้จะมีพื้นที่พิคของ Methemoglobin มีพื้นที่ เพิ่มขึ้นเมื่อเวลาผ่านไป 100 นาที หลังจากหยดโลหิตลงบนตัวรองรับ Titanium dioxide

จากการทดลอง โดยวิธี Diffuse Reflectance Infrared Fourier Transform

Spectroscopy ในช่วงเลขคู่ล้วน $7800-4000 \text{ cm}^{-1}$ ไม่เหมาะสมที่จะนำไปประยุกต์ใช้ในการ ประมาณอายุทราบโลหิต ได้เนื่องจากพบรูปเปลี่ยนแปลงในช่วงเวลาสั้นๆ ท่านั้น, ไม่สามารถ นำมาใช้กับตัวอย่างจริงได้ และโดยทั่วไปทราบโลหิตที่พบจะอยู่ในสถานะเป็นของแข็ง

2. การวิเคราะห์ตัวอย่างโลหิตด้วยเทคนิค Transmission Infrared Fourier Transform Spectroscopy

การศึกษาการตรวจประเมินหาอุบัติของคราบโลหิตของมนุษย์ ที่นำมาเตรียมตัวอย่างด้วยวิธี KBr disc และนำมามาวิเคราะห์ด้วยเทคนิค Fourier Transform Infrared Spectroscopy (FTIR) ในช่วงเลขคู่ 4000-400 cm^{-1} ได้สเปกตรัม ดังภาพที่ 6 และภาพที่ 7



ภาพที่ 7 สเปกตรัมของคราบโลหิตตัวอย่างชั่วโมงที่ 2, 24, 48

จากスペクトรัม ของคราบโลหิตพบพีคลักษณะกว้างมีเลขค่า 3700-2400 cm⁻¹ ชี้งค่าด้วนเกิดจากการซ้อนทับกันของพีคที่เกิดจาก N-H stretching ที่เลขค่า 3300 cm⁻¹, พีคของ O-H stretching ที่เลขค่า ในช่วง 2500 – 3300 cm⁻¹ และพีคของ C-H stretching ที่ช่วงเลขค่า 2835 – 3000 cm⁻¹, พีค Amide I ที่เกิดจาก C=O stretching ที่เลขค่า 1656 cm⁻¹, พีค Amide II ที่เกิดจาก N-H bending ที่เลขค่า 1538 cm⁻¹, พีคที่ช่วงเลขค่า 1480 – 1369 cm⁻¹ เกิดจาก C-H bending ของหมู่ Methyl(CH₃) ของกรดไขมัน และพบพีคที่ช่วงเลขค่า 1354 – 1195 cm⁻¹ เกิดจาก PO₄⁻ stretching ของกรดนิวคลีอิก จากราฟที่ 7แสดงให้เห็นการเปลี่ยนแปลงของスペกตรัมคราบโลหิตตัวอย่างชั่วโมงที่ 2, 24, 48 และจากスペกตรัมของคราบโลหิตพบช่วงเลขค่า ต่างๆดังตารางที่ 5

ตารางที่ 5 ช่วงเลขค่าคลื่นที่พบร่วมกันในสเปกตรัมได้จากการวิเคราะห์ของโลหิต

ช่วงเลขค่าคลื่น (cm ⁻¹)	พันธะ	หมู่ฟังก์ชันออล	ช่วงเลขค่าคลื่น ที่พบร่วมกัน [*] ที่ได้จากการทดลอง (cm ⁻¹)
3400-3250	N–H stretch	2° amide	3700-3000
3300-2500	O–H stretch	carboxylic acids	
3330-3270	C–H stretch	alkynes (terminal)	
3000-2850	C–H stretch	alkanes	2835-3000
2830-2695	H–C=O: C–H stretch	aldehydes	
1680-1640	–C=C– stretch	alkenes	
1650-1580	N–H bend	1° amines, 1° amides	1538
1600-1585	C–C stretch (in-ring)	aromatics	
1550-1475	N–O asymmetric stretch	nitro compounds	
1500-1400	C–C stretch (in-ring)	alkanes	
1470-1450	C–H bend	alkanes	1450
1320-1000	C–O stretch	alcohols, carboxylic acids, esters, ethers	
1000-650	=C–H bend	alkenes	
950-910	O–H bend	carboxylic acids	
910-665	N–H wag	1°, 2° amines	
900-675	C–H	aromatics	
850-550	C–Cl stretch	alkyl halides	
910-665	N–H wag	1°, 2° amines	
850-550	C–Cl stretch	alkyl halides	
900-675	C–H	aromatics	
700-610	C–H: C–H bend	alkynes	
690-515	C–Br stretch	alkyl halides	

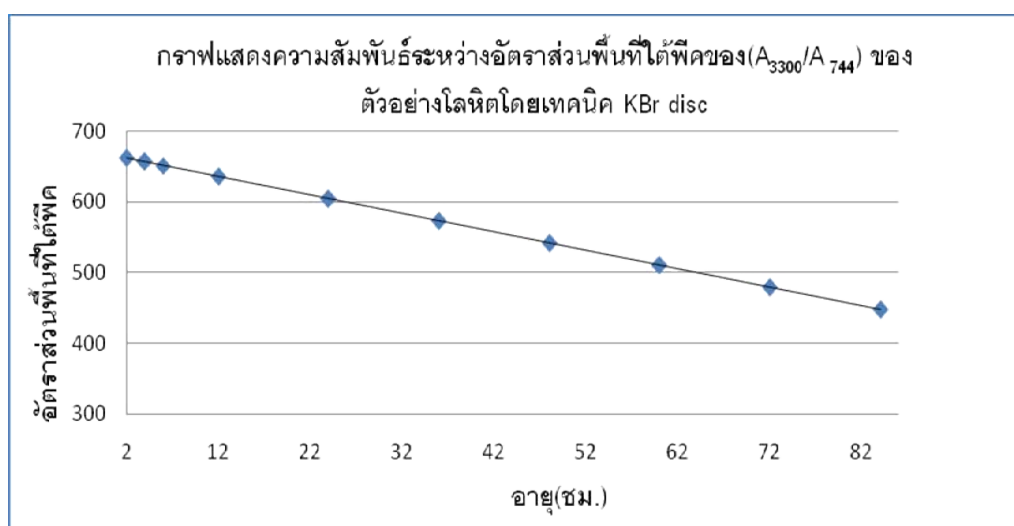
จากการนำตัวอย่างทราบโลหิตมาเตรียมด้วยเทคนิค KBr disc และนำมาศึกษาในช่วงเวลาต่างๆ กันด้วยเทคนิค FTIR โดยทำการวัดในช่วงเวลา 4 วัน ที่ช่วงเลขคู่ 4000 – 400 cm^{-1} ทำการทดลองซ้ำ 4 ครั้ง พบว่าスペกตรัมของตัวอย่างทราบโลหิตมีการลดลงของพื้นที่ได้พีกช่วงเลขคู่ 3700 – 3000 cm^{-1} (A_{3300}) และเมื่อนำพื้นที่ และพีกที่ช่วงเลขคู่ 770 – 730 cm^{-1} (A_{744}) ซึ่งเป็นพีกที่ไม่มีการเปลี่ยนแปลงเมื่อระยะเวลาผ่านไปมาหารอัตราส่วนพื้นที่ได้พีกได้ผลแสดงดังตารางที่ 6

ตารางที่ 6 อัตราส่วนระหว่างพื้นที่ได้พีกที่ช่วงเลขคู่ 3700 – 3000 cm^{-1} (A_{3300}) กับพื้นที่ได้พีกของพีกที่ไม่มีการเปลี่ยนแปลง เมื่อระยะเวลาผ่านไปที่ช่วงเลขคู่ 770 – 730 cm^{-1} (A_{744})

เวลา (ชั่วโมง)	อัตราส่วนพื้นที่ได้พีก A_{3300}/A_{744}						
	ครั้งที่ 1	ครั้งที่ 2	ครั้งที่ 3	ครั้งที่ 4	mean	SD	%RSD
2	658.76	676.14	654.69	658.60	662.05	8.30	1.25
4	653.71	671.53	648.82	653.23	656.82	8.70	1.32
6	648.67	666.92	642.94	647.85	651.59	9.11	1.40
12	633.52	653.08	625.31	631.73	635.91	10.37	1.63
24	603.23	625.41	590.06	599.47	604.54	12.97	2.15
36	572.94	597.74	554.80	567.22	573.18	15.63	2.73
48	542.65	570.07	519.55	534.96	541.81	18.32	3.38
60	512.36	542.40	484.29	502.71	510.44	21.03	4.12
72	482.07	514.73	449.03	470.45	479.07	23.76	4.96
84	451.79	487.06	413.78	438.20	447.71	26.49	5.92

จากตารางอัตราส่วนของพื้นที่ได้พีก A_{3300}/A_{744} จากการทำซ้ำ 4 ครั้ง ได้ค่าเบอร์เซ็นต์ความเบี่ยงเบนสัมพัทธ์อยู่ในช่วง 1.25 – 5.92 %

เมื่อนำอัตราส่วนระหว่างพื้นที่ได้พิคที่ช่วงเลขคู่ 3700-3000 cm^{-1} กับพิคที่ช่วงเลขคี่ 770 – 730 cm^{-1} ซึ่งเป็นพิคที่ไม่มีการเปลี่ยนแปลงเมื่อระยะเวลาผ่านไป nanoplot แสดงความสัมพันธ์ระหว่างอัตราส่วนของพื้นที่ได้พิกับอายุของกราบโลหิตพบว่าอัตราส่วนพื้นที่ได้พิคของ (A_{3300}/A_{744}) มีการลดลงเป็นเส้นตรงอย่างมีนัยสำคัญ ได้สมการเส้นตรง $y = -2.613x + 667.2$ มีค่าสหสมพัทธ์เท่ากับ 1 ดังภาพที่ 8



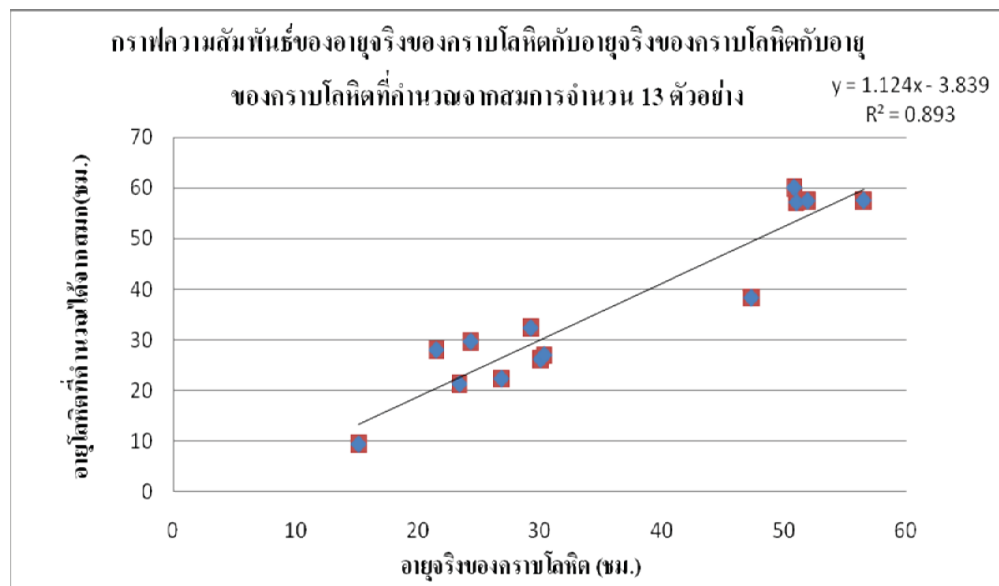
ภาพที่ 8 ความแสดงความสัมพันธ์ระหว่างอัตราส่วนพื้นที่ได้พิคของ (A_{3300}/A_{744}) ของตัวอย่างกับอายุของกราบโลหิตโดยใช้ KBr disc

การประมาณอายุกราบโลหิตตัวอย่าง จากความสัมพันธ์ที่ได้จากการเส้นตรงนี้พล็อตระหว่างอัตราส่วนพื้นที่ได้พิกเนลี่ของ (A_{3300}/A_{744}) กับอายุของกราบโลหิต สามารถนำมาประมาณอายุของกราบโลหิตได้ โดยการนำตัวอย่างกราบโลหิตจากแหล่งต่างๆ ที่ได้จากอาสาสมัครที่มี เพศ อายุ และระยะเวลาที่แตกต่างกัน มาวิเคราะห์ด้วยเทคนิค FTIR ได้ผล ดังตารางที่ 7

ตารางที่ 7 อัตราส่วนระหว่างพื้นที่ได้พีคที่ช่วงเลขคู่คี่ 3700 – 3000 cm^{-1} (A_{3300}) กับพื้นที่ได้พีคของพีคที่ไม่มีการเปลี่ยนแปลง เมื่อระยะเวลาผ่านไปที่ช่วงเลขคู่คี่ 770 – 730 cm^{-1} (A_{744}) ของตัวอย่างคราบโลหิตจำนวน 13 ตัวอย่าง

ตัวอย่างที่	อัตราส่วนพื้นที่ได้พีค A_{3300}/A_{744} ของตัวอย่าง	เวลาจริง (ชั่วโมง)	เวลาที่คำนวณจากสมการ $Y = -2.613x + 667.2$	ค่าความผิดพลาดจากการคำนวณ %
1	608.98	26.89	22.2	17.44
2	567.21	47.38	38.26	19.25
3	516.91	56.58	57.51	1.60
4	517.87	51.08	57.14	11.90
5	517.17	51.99	57.41	10.43
6	510.30	50.89	60.05	18.00
7	642.79	15.18	9.34	38.27
8	594.13	21.55	27.96	29.74
9	611.69	23.45	21.24	9.42
10	589.76	24.37	29.63	21.67
11	582.76	29.28	32.31	10.41
12	598.93	30.10	26.13	13.19
13	596.75	30.40	26.96	11.32

จากตารางแสดงอายุของคราบโลหิตที่คำนวณได้จากสมการเส้นตรง และ อายุจริงของคราบโลหิต จากตัวอย่างจำนวน 13 ตัวอย่าง เมื่อนำมาพล็อตกราฟแสดงความสัมพันธ์ระหว่างอายุของคราบโลหิตจริงกับอายุของคราบโลหิตที่คำนวณได้จากการฟิตติ้งภาพที่ 9



ภาพที่ 9 ความสัมพันธ์ระหว่างอายุจริงของรายโภคทิตกับอายุของรายโภคทิตที่คำนวณได้จากการ

จากภาพที่ 8 แสดงให้เห็นว่าเมื่อนำอายุของรายโภคทิตที่ได้จากการประมาณอายุจากสมการมาพล็อตกับอายุจริงของรายโภคทิตจะได้ความสัมพันธ์เป็นเส้นตรง ได้ความสัมพันธ์มีค่า $R^2 = 0.893$

บทที่ 5 สรุป อภิปราย และข้อเสนอแนะ

สรุปและอภิปรายผล ผลการวิจัย

จากการศึกษาการตรวจประเมินอายุคราบโลหิตของมนุษย์ ที่นำตัวอย่างมาวิเคราะห์ด้วยเทคนิค Diffuse Reflectance Infrared Fourier Transform Spectroscopy (DRIFTS) โดยใช้ Titanium dioxide เป็นตัวรองรับในช่วงเลขค่า $7800-4000 \text{ cm}^{-1}$ พบว่าในช่วงระยะเวลาตั้งแต่เริ่มต้นหยดโลหิตจนเวลาผ่านไป 1 ชั่วโมง พบรีดของน้ำที่ชัดเจนอยู่ 2 พีก คือที่ช่วงเลขค่า $7260 - 6225 \text{ cm}^{-1}$ และ $5395 - 4692 \text{ cm}^{-1}$ โดยพื้นที่ได้พีกดคลงเมื่อเทียบกับเวลา หลังจากผ่าน 1 ชั่วโมงแล้ว จะปรากฏพีกใหม่ซึ่งเป็นพีกของ Methemoglobin ที่ช่วงเลขค่า $7123 - 5394 \text{ cm}^{-1}$ พีกของ Methemoglobin นี้จะมีพื้นที่ได้พีกเพิ่มขึ้นเมื่อเทียบกับเวลา ซึ่งสอดคล้องกับผลการวิจัยของ Edita Botonjic-Sehic et al. (2009) ที่พบว่าพื้นที่ได้พีกของน้ำจะลดลงเมื่อเทียบกับเวลา และเมื่อเวลาผ่านไปจะปรากฏพีกใหม่ขึ้นคือพีกของ Methemoglobin นั้นเอง แต่เนื่องจากการลดลงของพีกนี้ ก็คิดขึ้นอย่างรวดเร็ว อีกทั้งทราบโลหิตที่พบโดยทั่วไปมักอยู่ในสถานะของแข็ง ถ้านำมาประยุกต์ใช้กับตัวอย่างย่างจริง จะคำนวณอายุได้ภายใน 1-2 ชั่วโมงเท่านั้น

จากการศึกษาการตรวจประเมินอายุของคราบโลหิตมนุษย์ ที่เตรียมตัวอย่างด้วยวิธี KBr disc และนำมายังเคราะห์ด้วยเทคนิค Fourier Transform Infrared Spectroscopy (FTIR) ในช่วงเลขค่า $4000-400 \text{ cm}^{-1}$ จากスペกตรัม พบรีดที่เกิดจาก N-H stretching ที่เลขค่า 3300 cm^{-1} ซึ่งพีกที่เกิดขึ้นมีลักษณะกว้าง เนื่องจากเกิดการซ้อนทับกันพีกของ O-H stretching ที่เลขค่า $2500 - 3300 \text{ cm}^{-1}$ และซ้อนทับกันพีก C-H stretching ที่ช่วงเลขค่า $3000 - 2835 \text{ cm}^{-1}$ พบรีด Amide I ที่เกิดจาก C=O stretching ของพันธะ peptide ที่เลขค่า 1656 cm^{-1} พีก Amide II ที่เกิดจาก N-H bending ที่เลขค่า 1538 cm^{-1} พีกที่ช่วงเลขค่า $1480 - 1369 \text{ cm}^{-1}$ เกิดจาก C-H bending ของหมู่ Methyl(CH₃) ของกรดไขมัน และพบพีกที่ช่วงเลขค่า $1354 - 1195 \text{ cm}^{-1}$ เกิดจาก PO₄⁻ stretching ของกรดนิวเคลียิก และเมื่อนำพื้นที่ได้พีกของスペกตรัมของคราบโลหิตเมื่อระยะเวลาผ่านไป มาประเมินอายุของคราบโลหิตโดยการพล็อตจากอัตราส่วนพื้นที่ได้พีกช่วงเลขค่า $3700-3000 \text{ cm}^{-1}$ กับพีกที่ช่วง

เลขคลื่น $770 - 730 \text{ cm}^{-1}$ ซึ่งเป็นพีกที่ไม่มีการเปลี่ยนแปลงเมื่อระยะเวลาผ่านไปกับเวลา พบว่า อัตราส่วนพื้นที่ได้พีกของ A_{3300}/A_{744} มีแนวโน้มลดลงเป็นเส้นตรงอย่างมีนัยสำคัญ เนื่องจาก โปรดีนในกราบโลหิตเกิดการเปลี่ยนแปลง โครงสร้างของโปรดีนในระดับทุติยภูมิ โดย ความสัมพันธ์ของอัตราส่วนพื้นที่ได้พีกของ A_{3300}/A_{744} กับอายุของกราบโลหิตได้สมการเส้นตรง $y = -2.613x + 667.2$ มีค่าสหสัมพัทธ์เท่ากับ 1

เมื่อนำสมการเส้นตรงมาใช้ประมาณอายุของกราบโลหิตจากแหล่งต่างๆ กัน พบว่าอายุของกราบโลหิตที่ประมาณได้ค่าใกล้เคียงกับอายุจริงของกราบโลหิตตัวอย่างและเมื่อนำอายุจริงของกราบโลหิตกับอายุของกราบโลหิตที่คำนวณได้จากสมการมาพล็อตกราฟ ได้ค่า R^2 เท่ากับ 0.893 ซึ่งอายุของกราบโลหิตที่ประมาณได้มีความแปรผันกับอายุของกราบโลหิตจริงของตัวอย่าง

การตรวจหาอายุของกราบโลหิตจะช่วยเข้ามายังถึงระยะเวลาของการเกิดกราบโลหิต ถูกนำมาใช้เป็นวัตถุพยาน เวลาที่อาชญากรรมเกิดขึ้นได้ ซึ่งหากมีเหตุอาชญากรรมเกิดขึ้น แล้วพบวัตถุพยานที่เป็นกราบโลหิตเราจำเป็นต้องใช้เทคนิคหรือวิธีการทางเคมีที่เหมาะสม ซึ่งเทคนิค FTIR นั้น สามารถใช้ในการประมาณเวลาในการเกิดเหตุอาชญากรรมได้ใกล้เคียงความเป็นจริง และเป็นเทคนิคที่ไม่ทำลายตัวอย่าง และช่วยให้วัตถุพยานไม่เสื่อมคลุกค่า

ข้อเสนอแนะ

ในการศึกษาครั้งนี้ เป็นการทดสอบขั้นต้นเพื่อศึกษาวิธีการตรวจหาอายุกราบโลหิตด้วย เทคนิค Fourier Transform Infrared Spectroscopy สำหรับผู้ที่สนใจและต้องการที่จะศึกษาเพิ่มเติมเพื่อใช้ในงานด้านนิติวิทยาศาสตร์มีดังนี้

1. ศึกษาการเปลี่ยนแปลงของโปรดีนในกราบโลหิตในช่วงเวลาที่เพิ่มมากขึ้น
2. ศึกษาการเปลี่ยนแปลงของกราบโลหิตบนพื้นผิวที่แตกต่างกัน เช่น กระดาษ พื้นชีเมนต์
3. ศึกษาการเปลี่ยนแปลงของกราบโลหิตที่อุณหภูมิและความชื้นและความร้อน ต่างๆ กัน

บรรณานุกรม

ภาษาไทย

- พิพัฒน์ เจิดรังสี. ระบบไหลวียนเลือด. ใน: สวีร์วิทยา. คณาจารย์ภาควิชาสปรีวิทยา คณะวิทยาศาสตร์ มหาวิทยาลัยมหิดล. กรุงเทพฯ: ฤทธิ์ศิริการพิมพ์, 2536.
- สุวรรณ์ ชีรัวรพันธ์, วิสุดา สีวิทยาวัฒน์และเพ็ญ โนม พงวิชา. สวีร์วิทยาระบบไหลวียนโลหิต. คณะเภสัชศาสตร์ มหาวิทยาลัยมหิดล. กรุงเทพฯ: ไทยมิตรการพิมพ์, 2539.
- อรรถพล แซ่นสุวรรณวงศ์, พล.ต.อ.และคณะ. นิติวิทยาศาสตร์ 1 เพื่อการสืบสวนสอบสวน. พิมพ์ครั้งที่ 4. กรุงเทพฯ: บริษัท ทีซีจี พรินติ้ง จำกัด, 2546.
- แม่น ออมสีทธิ์, ออม เพชรส. หลักการและเทคนิคการวิเคราะห์เชิงเครื่องมือ. กรุงเทพฯ: โรงพิมพ์ ชวนพิมพ์, 2535.
- ณรงค์ ไชตสุต. วิธีการวิเคราะห์โดยอุปกรณ์ Instrumental Methods of Analysis. พิมพ์ครั้งที่ 9. กรุงเทพฯ: สำนักพิมพ์มหาวิทยาลัยรามคำแหง, 2548.
- ฉันทนา อารมย์ดี. Infrared Spectroscopy. ภาควิชาเคมี คณะเภสัชศาสตร์ ขอนแก่น: มหาวิทยาลัยขอนแก่น, 2535.
- กฤษณะ พวงระษ์. การประมาณกระบวนการอายุเลือด. นครปฐม: มหาวิทยาลัยศิลปากร, 2552
- รศ.พ.ต.อ. อุทัย ตีรวนินทร และคณะ. เอกสารประกอบการเรียน นิติเวชศาสตร์. นครปฐม: โรงเรียนนายร้อยตำรวจ สามพราน, 2548.
- พ.ต.ท. หญิง ธรรมกรณ์ ชนวัฒน์วงศ์ชร. เอกสารประกอบการเรียน นิติเวชศาสตร์. นครปฐม: โรงเรียนนายร้อยตำรวจ สามพราน, 2548.
- วิน เชยชุมครี, โลหิตวิทยา [ออนไลน์], เข้าถึงเมื่อ 15 พฤษภาคม 2554 เข้าถึงได้จาก www.pirun.ku.ac.th-fsciwcc.HEMA TO.PDF

ภาษาอังกฤษ

Barcot O, Balarin M, et al. "Investigation of spermatozoa and seminal plasma by fourier transform infrared spectroscopy". Applied Spectroscopy 61 (2006) : 56–62.

- Edita Botonjic-Sehic, Chris W. Brown, et al. "Forensic Application of Near –Infrared Spectroscopy : Aging of Bloodstains". Spectroscopy (2009) :1–6.
- Hiroyuki Inoue, Fukutaro Takabe, et al. "A new marker for estimation of bloodstain age by high performance liquid chromatography". Forensic Science International 57 (1992) : 17-27.
- Jan Andrasko, B Rosén, "Sensitive identification of hemoglobin in bloodstains from different species by high performance liquid chromatography with combined UV and fluorescence detection". Journal of Forensic Sciences 39 (1994) : 1018-1025.
- Stacey Anderson, Brandi Howard, et al. "A method for determining the age of a bloodstain". Forensic Science International 148 (2005) : 37-45.
- Strasser Stefan, Zink Albert, et al. "Age determination of blood spots in forensic medicine by force spectroscopy". Forensic Science International 170 (2007) : 8-14.
- Anonymous. FTIR Diagram block[Online], Accessed 24 May 2011. Available from http://faculty.sdmiramar.edu/fgarces/LabMatters/Instruments/FTIR/Pic_FTIR/FTIR-1.gif
- Anonymous. DRIFT[Online], Accessed 24 May 2011. Available from <http://www.shu.ac.uk/research/meri/equipment/spectroscopy5.html>
- Stanislaus. Interpretation of Infrared Spectra [Online], Accessed 28 May 2011. Available from <http://wwwchem.csustan.edu/Tutorials/INFRARED.HTM>

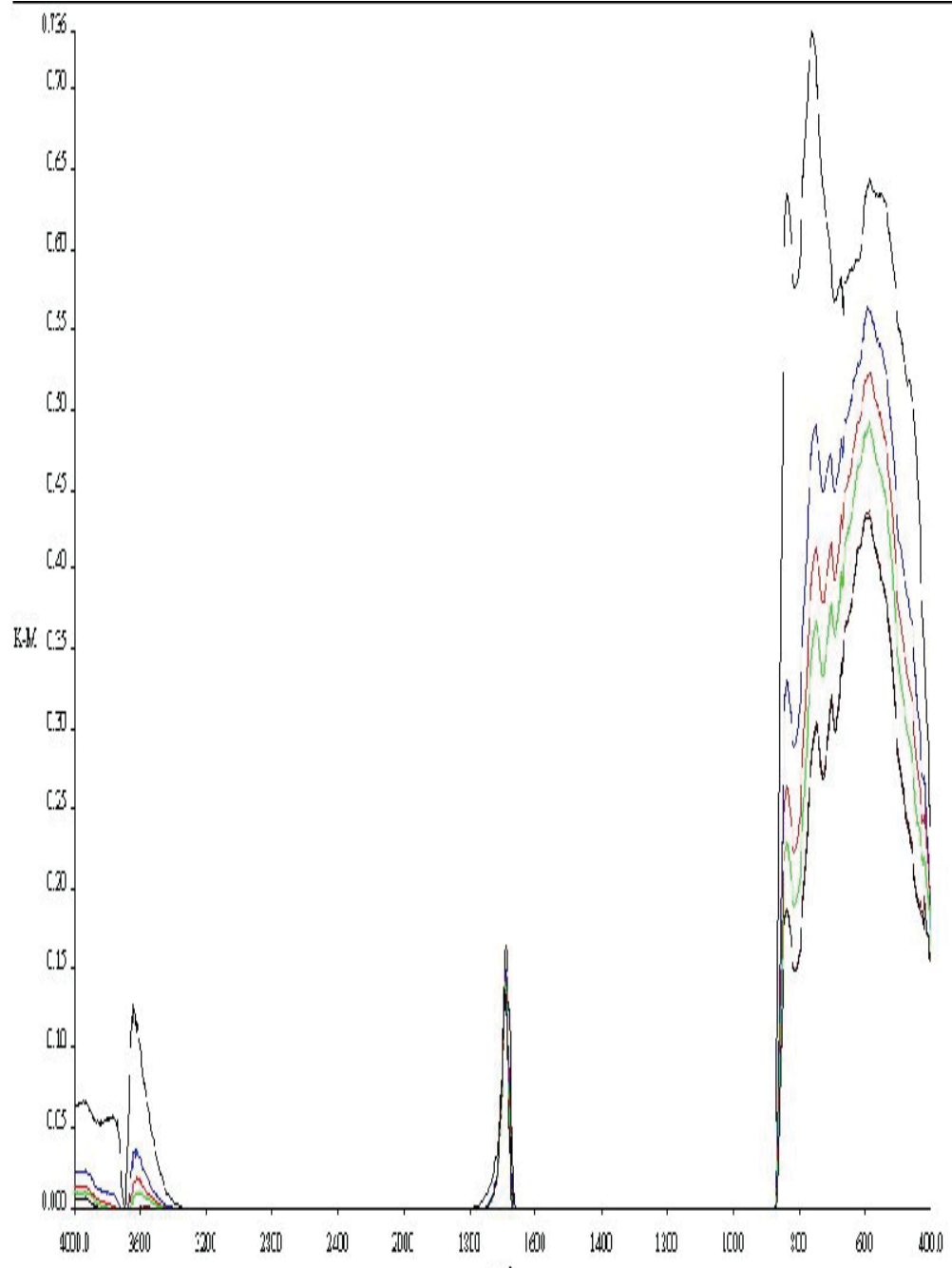
ภาคผนวก

ภาคผนวก ก

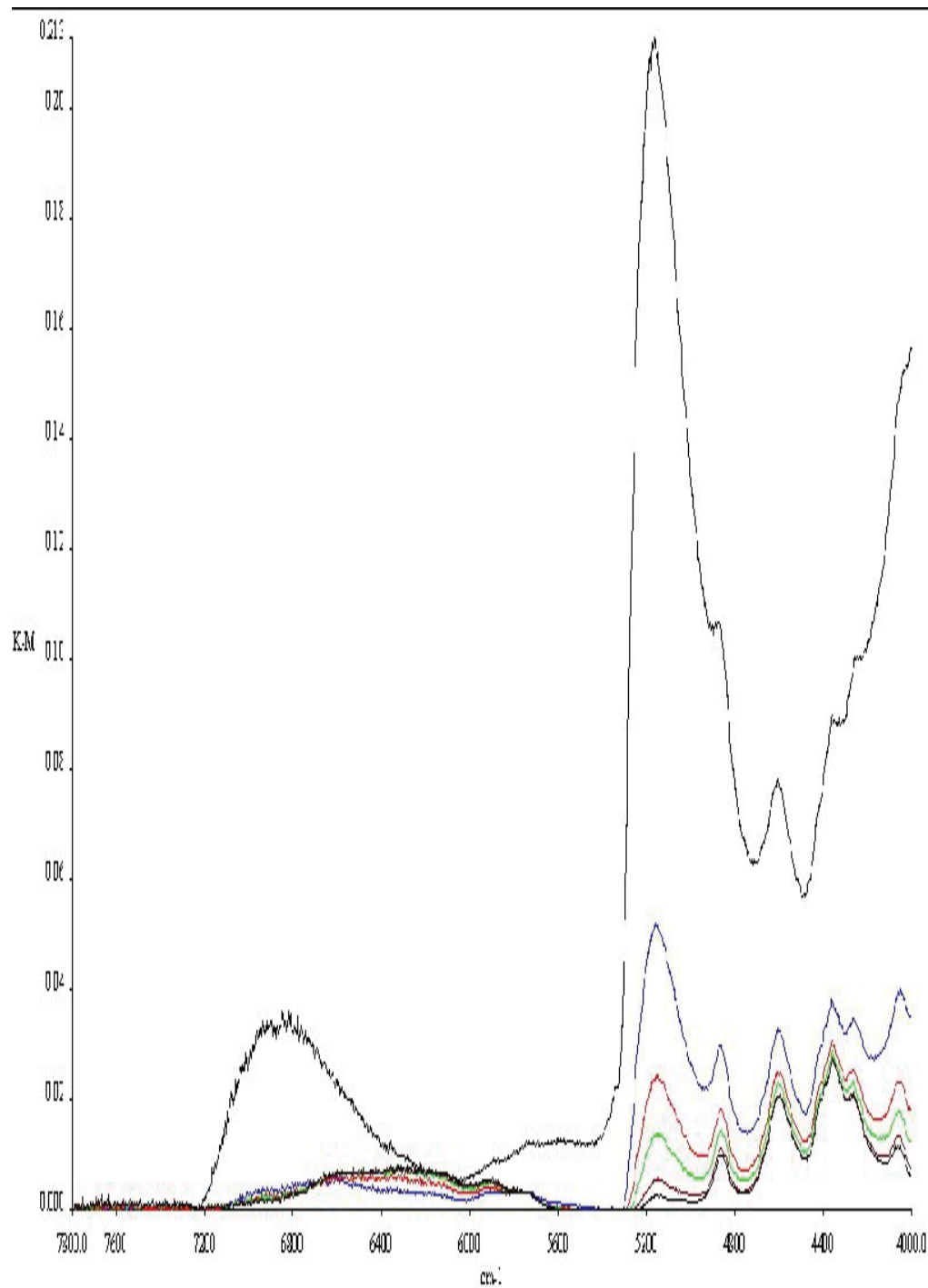
สเปกตรัมที่วิเคราะห์ด้วยเทคนิค Diffuse Reflectance Infrared Fourier Transform
Spectroscopy (DRIFT FTIR)

สเปกตรัมที่วิเคราะห์ด้วยเทคนิค Diffuse Reflectance Infrared Fourier Transform

Spectroscopy (DRIFT FTIR)



ภาพที่ 10 สเปกตรัมของครามโลหิตที่ระยะเวลาต่างๆ กันในช่วงเลขคู่ 4000 - 400 cm^{-1}

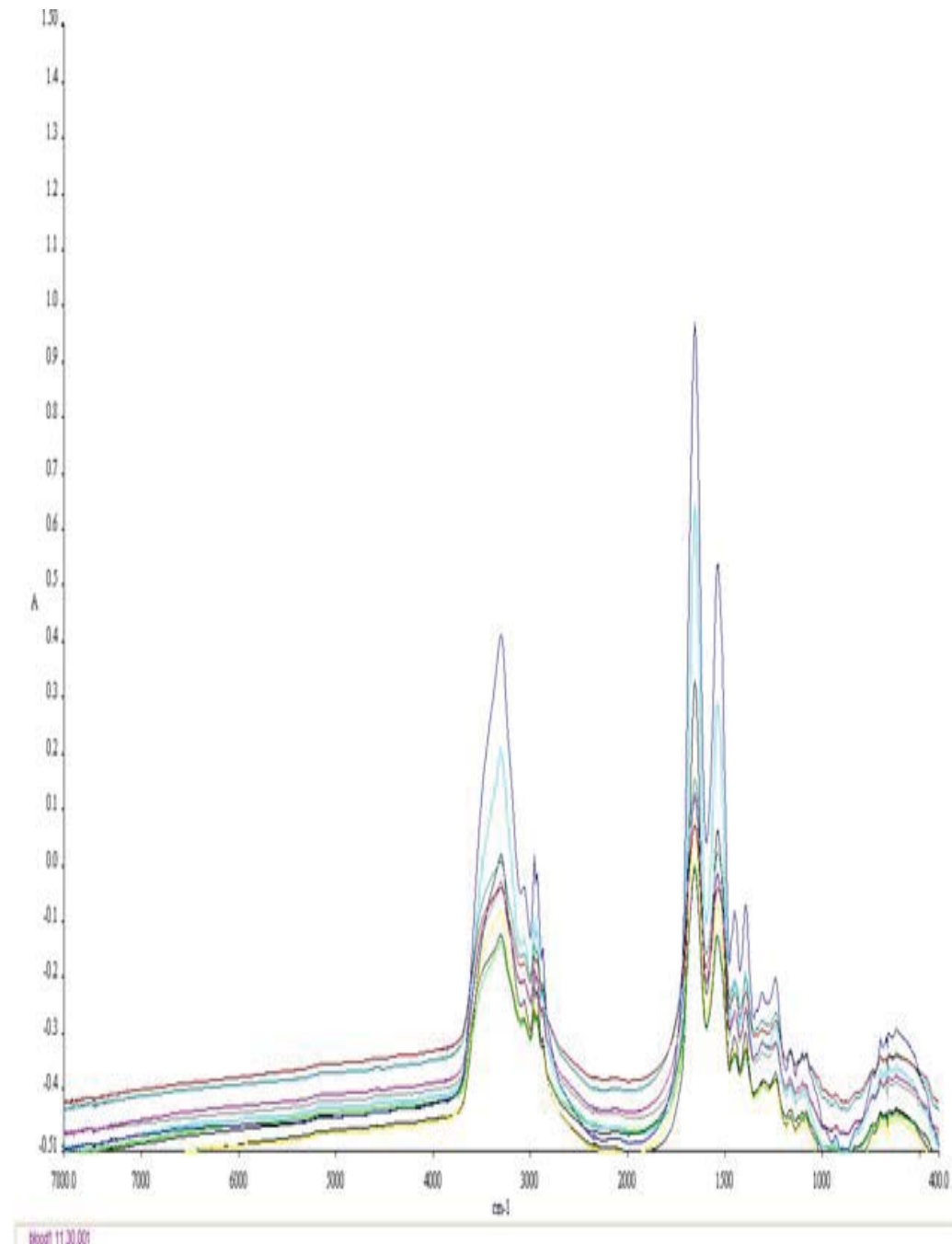


ภาพที่ 11 สเปกตรัมของกรานโลหิตที่ระยะเวลาต่างๆ กัน ในช่วงเลขคลื่น $7800-4000\text{ cm}^{-1}$

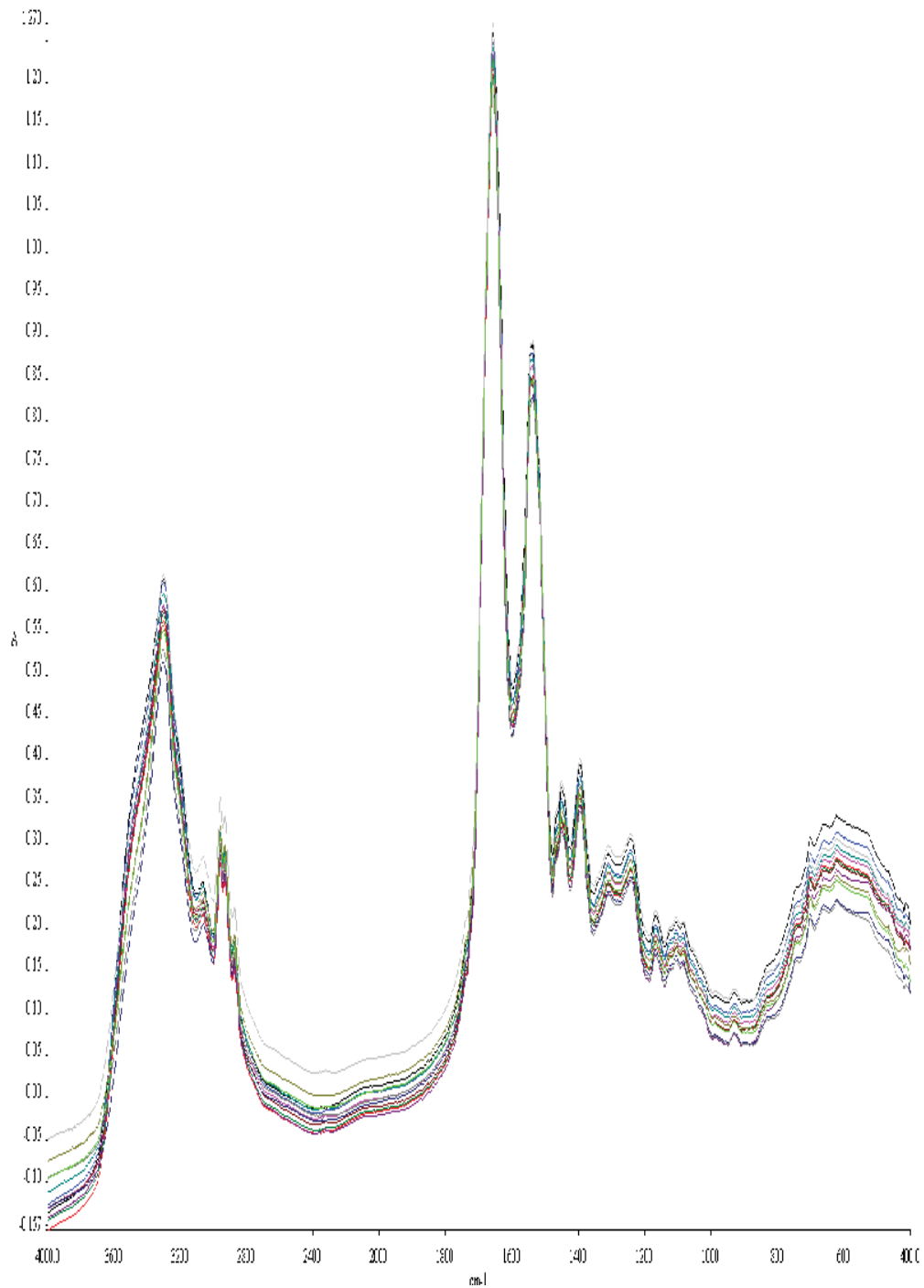
ภาคผนวก ข

สเปกตรัมที่วิเคราะห์ด้วยเทคนิค Transmission Infrared Fourier Transform Spectroscopy
(TIFT FTIR)

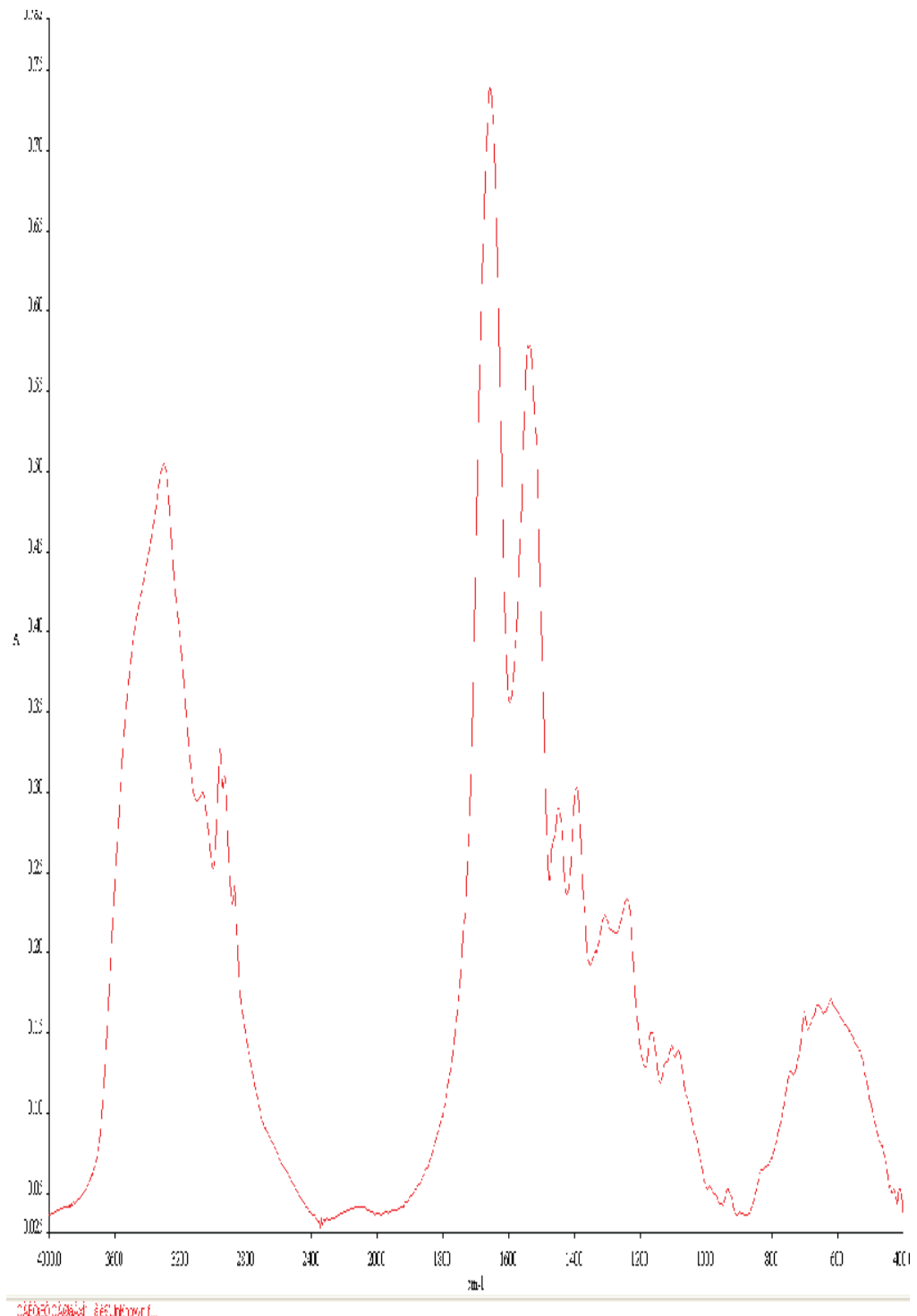
สเปกตรัมที่วิเคราะห์ด้วยเทคนิค Transmission Infrared Fourier Transform Spectroscopy (TIFT FTIR)



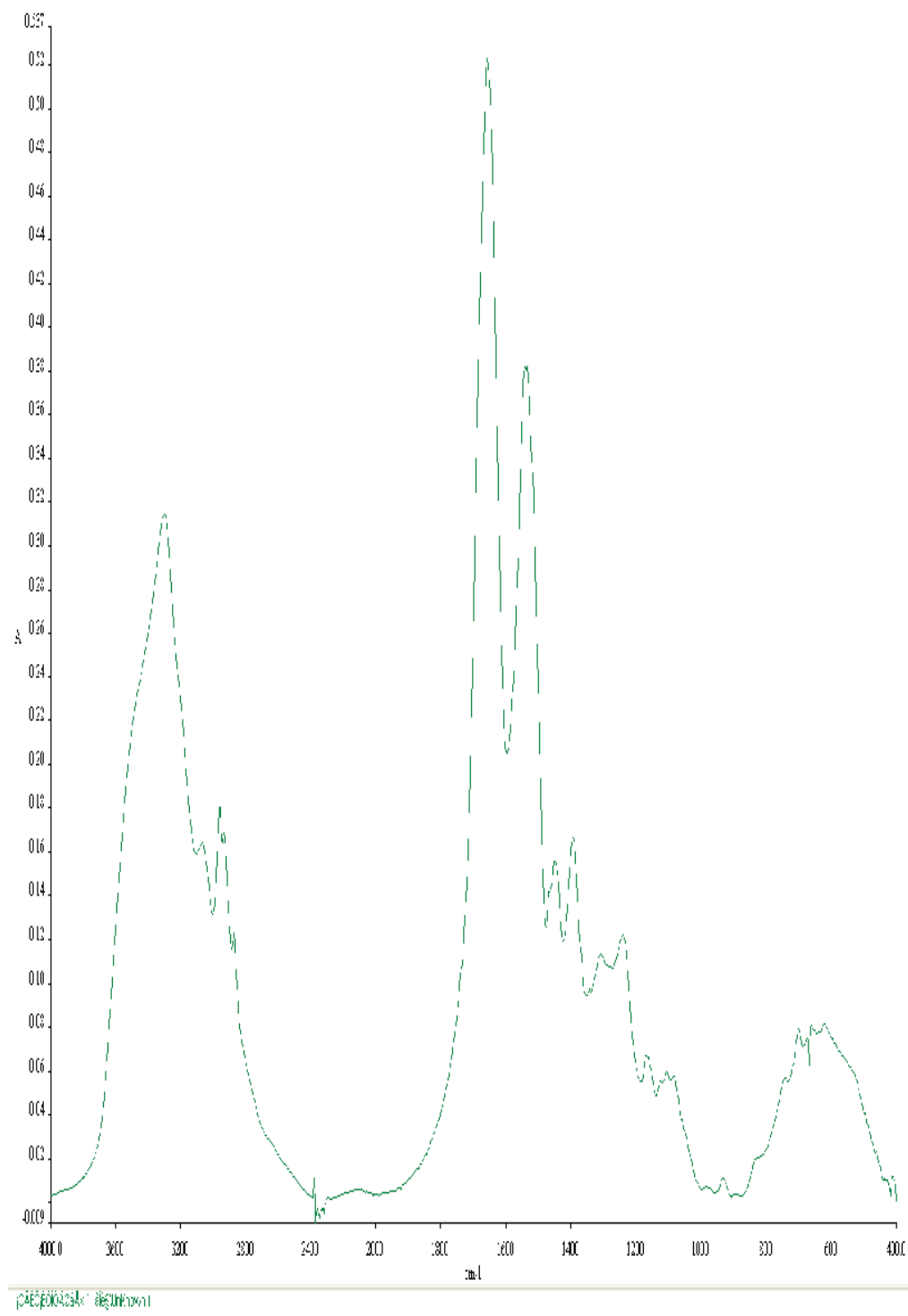
ภาพที่ 12 สเปกตรัมของคราบโลหิตในช่วงเลขคู่ 7800 – 400 cm^{-1}



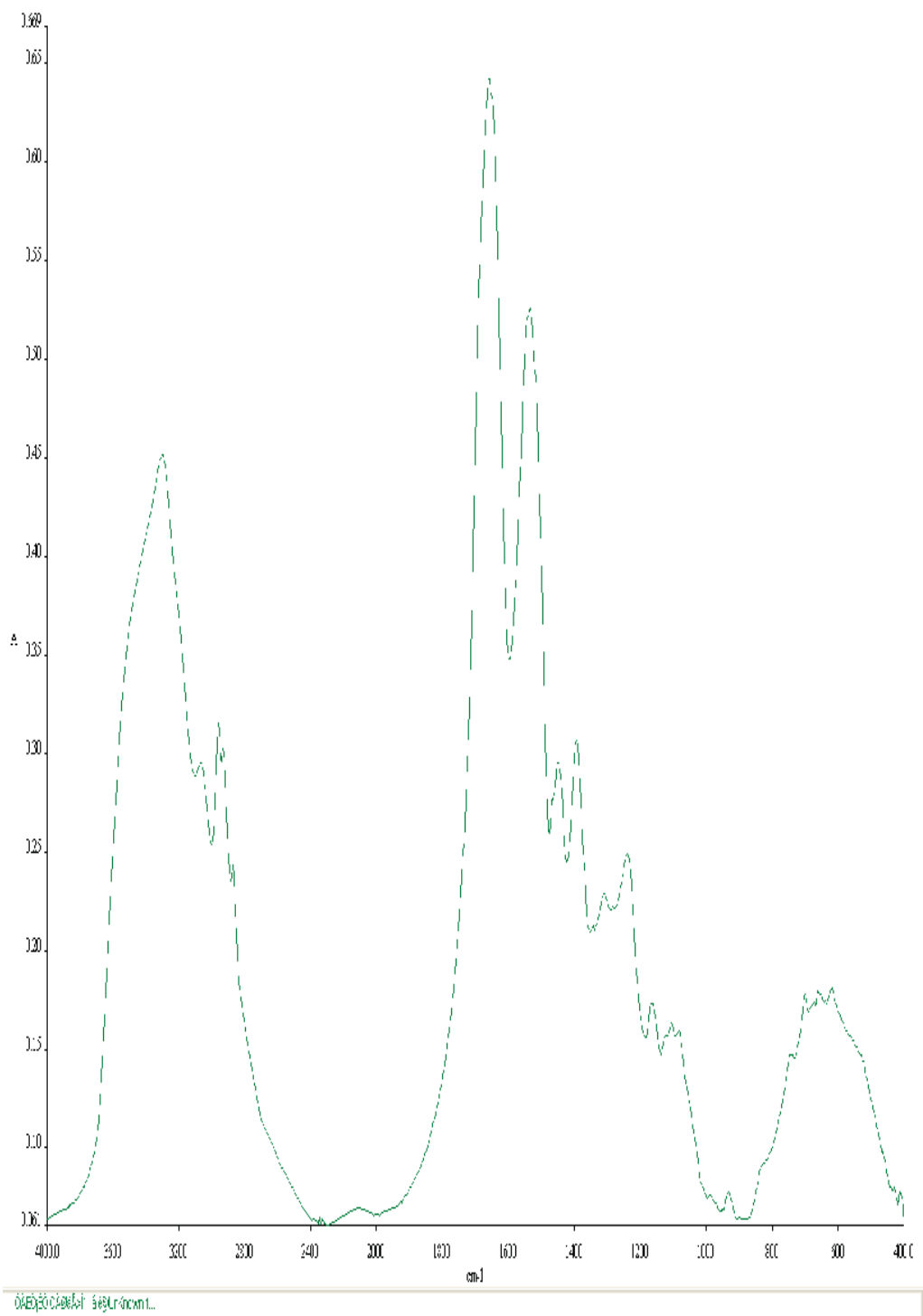
ภาพที่ 13 スペクトรัมของกรามโลหิตแสดงการลดลงของพื้นที่ใต้ฟีกในช่วงระยะเวลา 4 วัน ของวิธีการเตรียมด้วย KBr disc ทำการวิเคราะห์ข้าในระยะเวลาต่างกัน

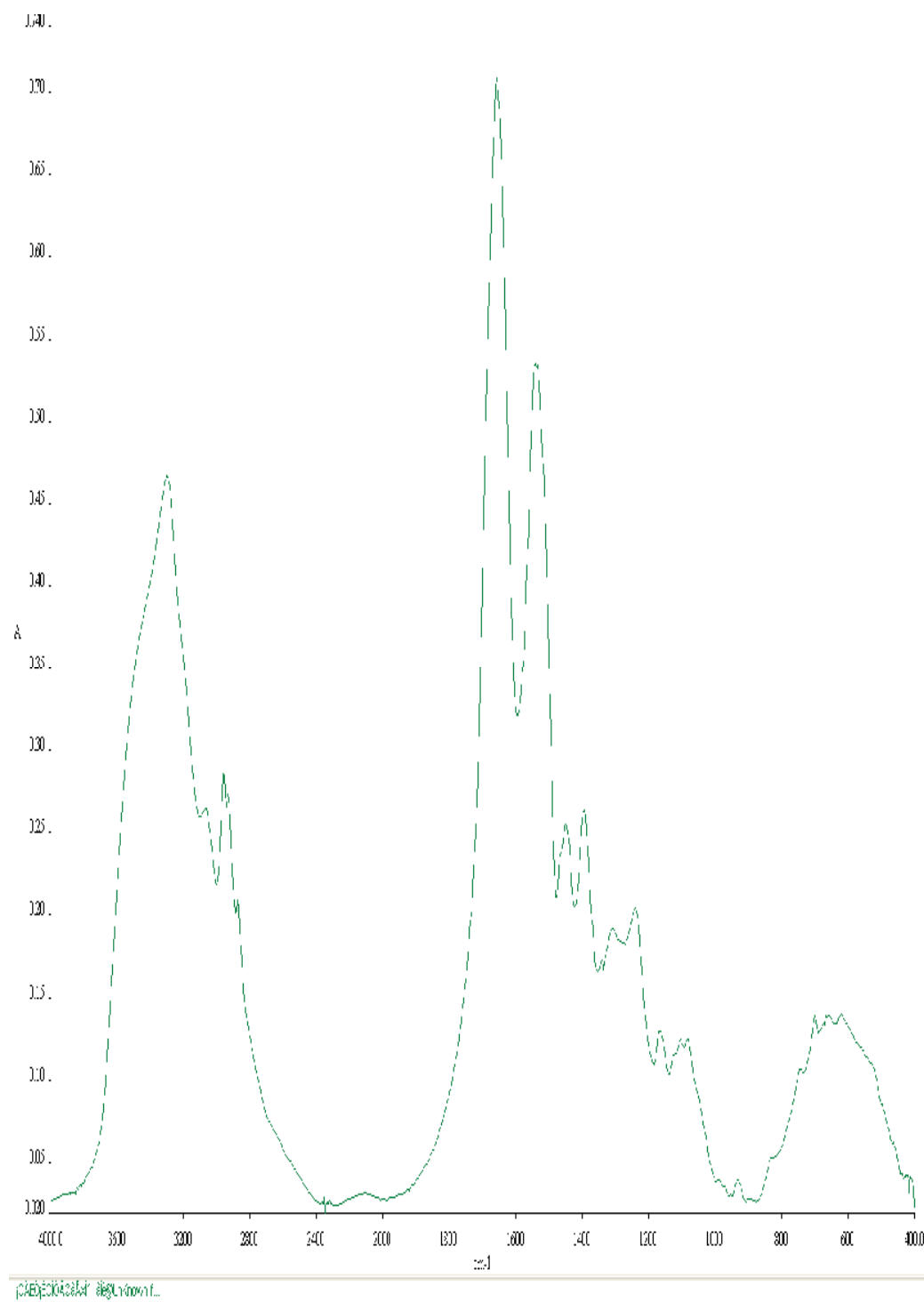


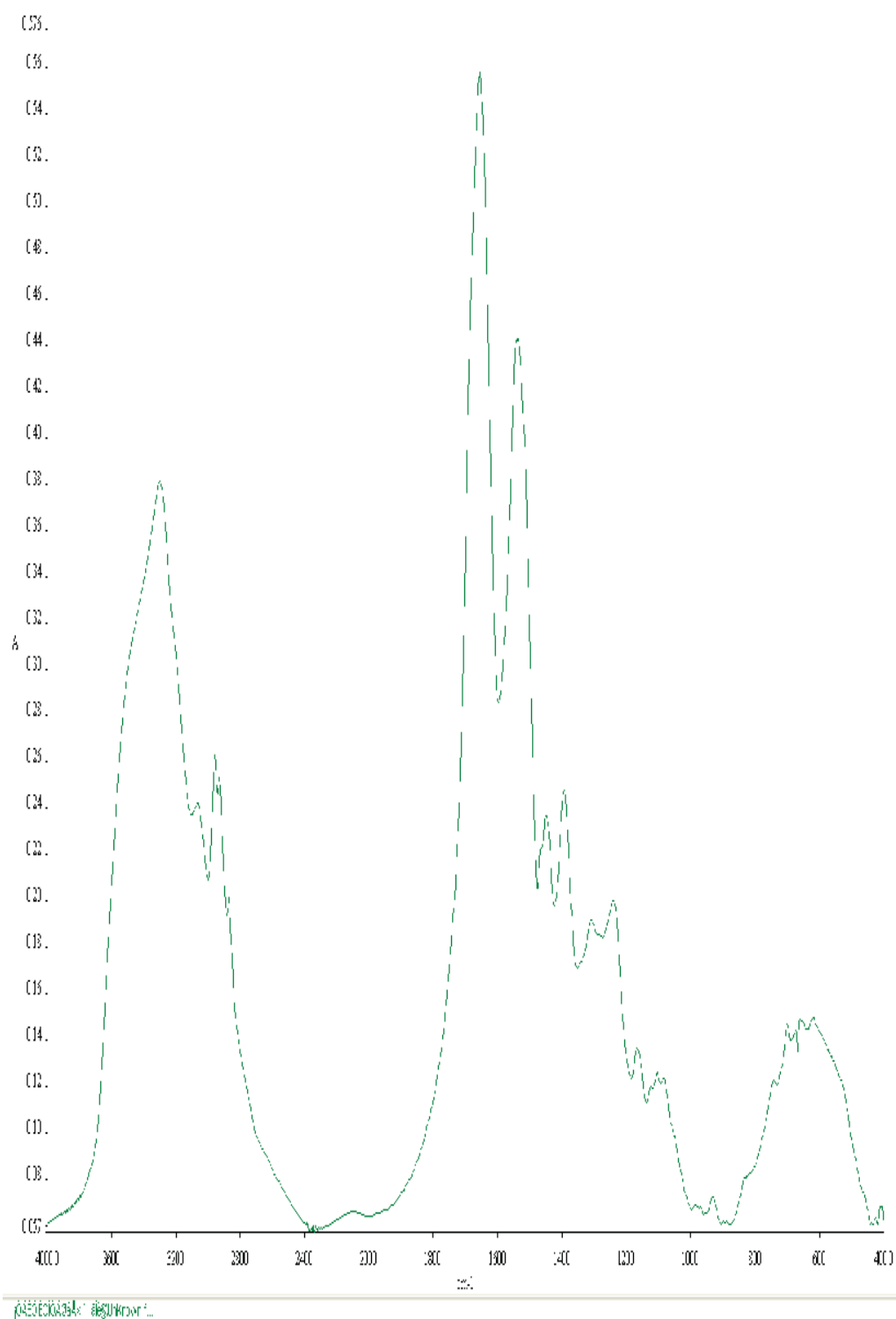
ภาพที่ 14 สเปกตรัมของกราฟโลหิตตัวอย่างอาสาสมัครคนที่ 1



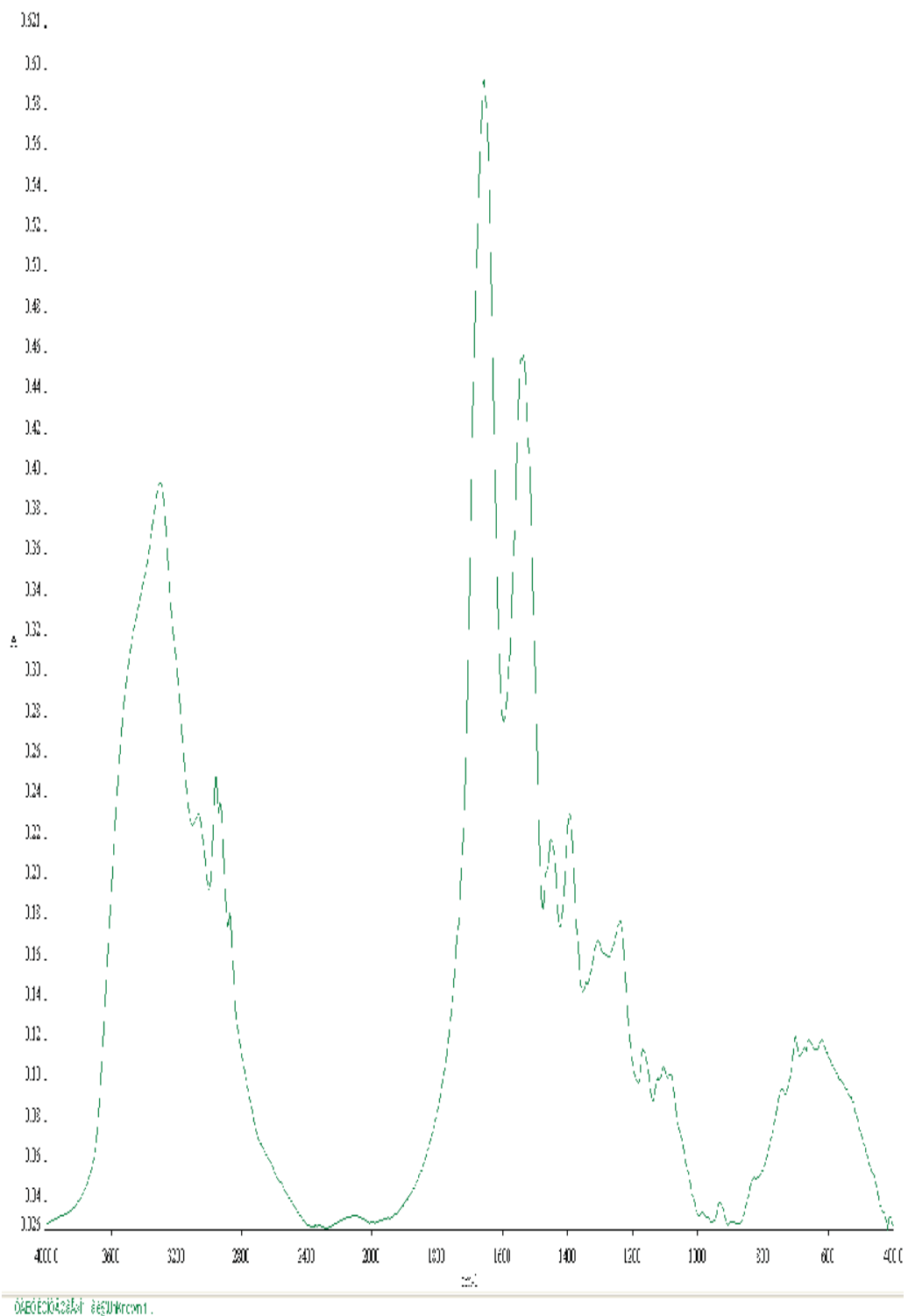
ภาพที่ 15 สเปกตรัมของกรามโลหิตด้าอย่างอาสาสมัครคนที่ 2



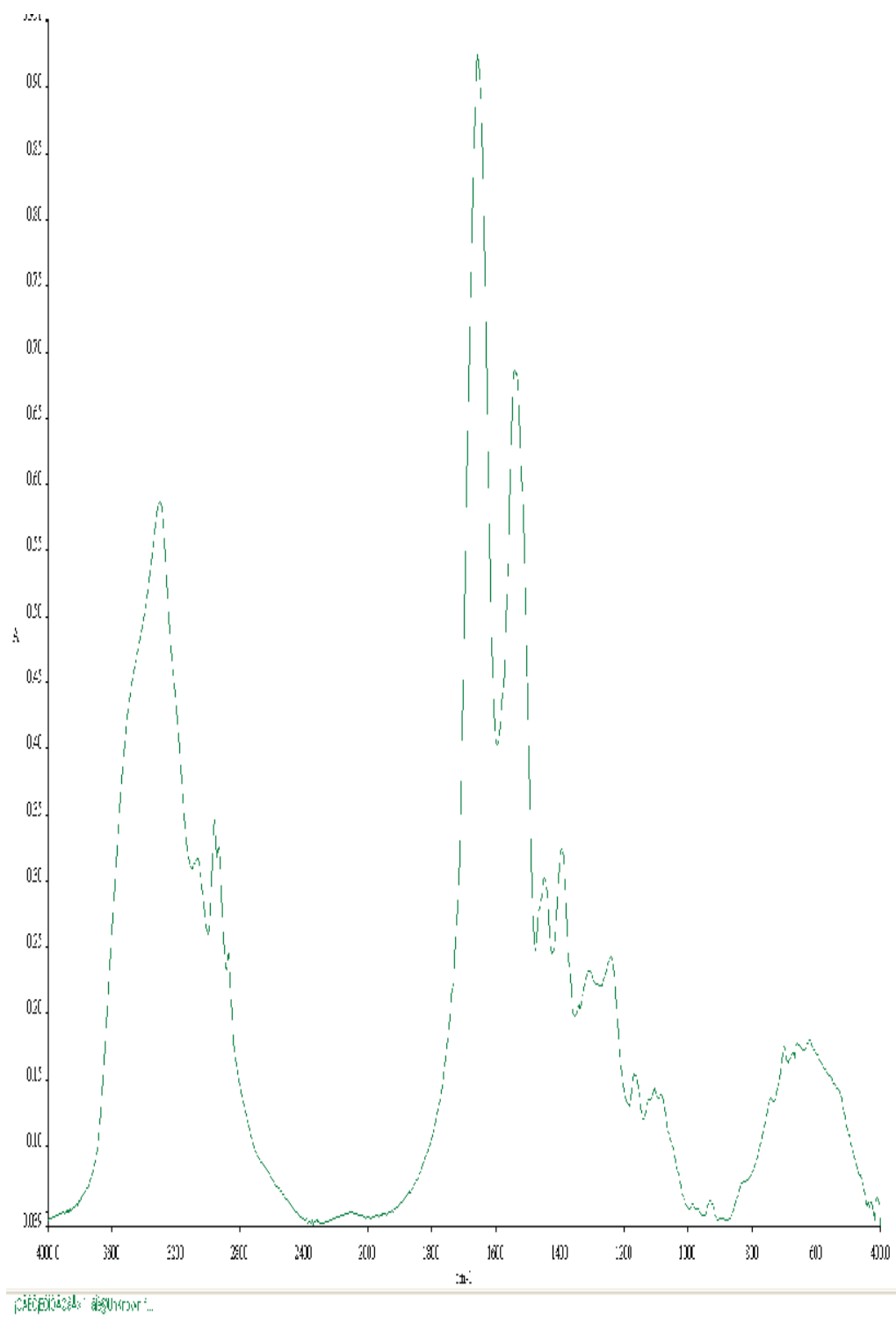


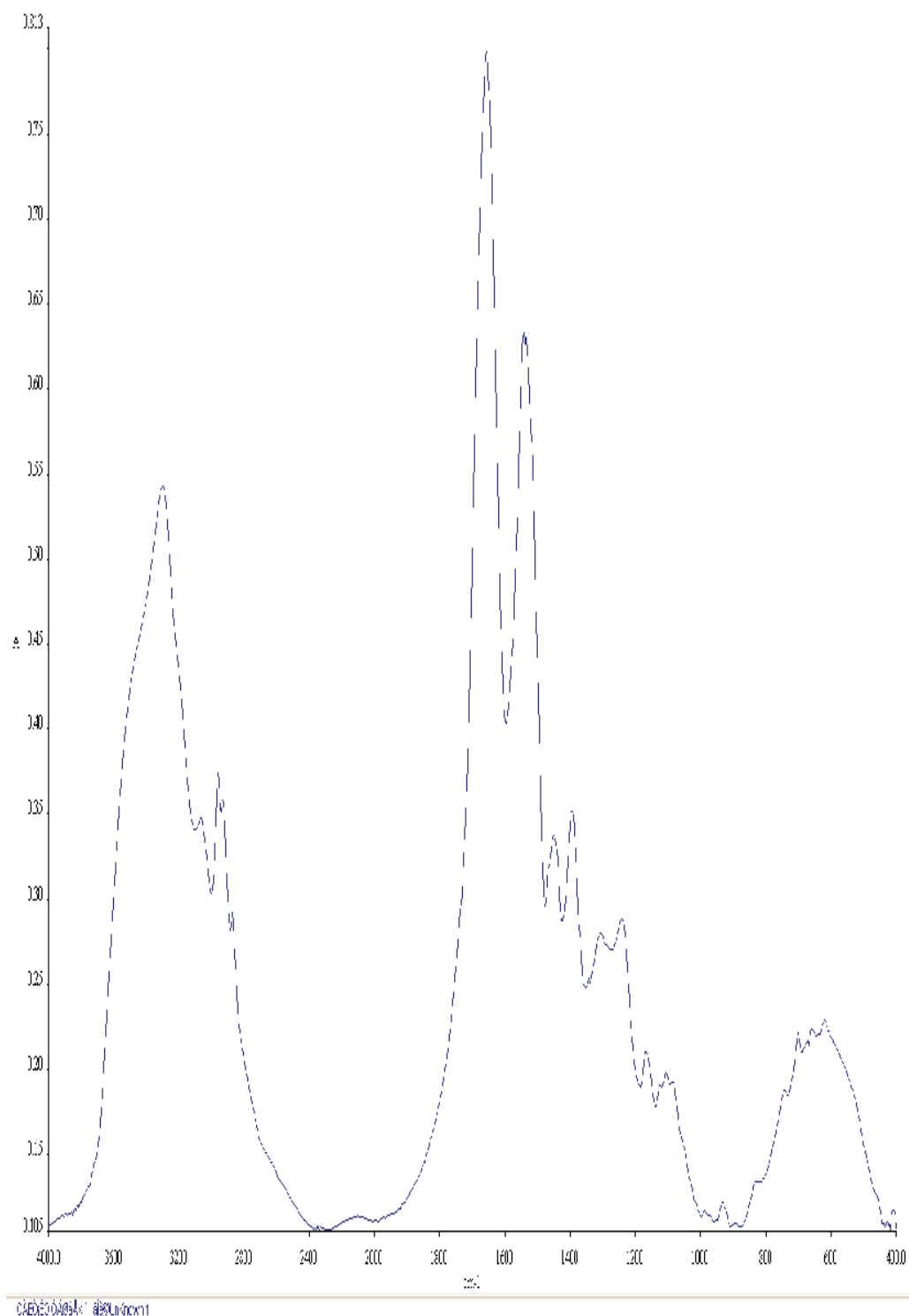


ภาพที่ 18 สเปกตรัมของกราบโลหิตตัวอย่างอาสาสมัครคนที่ 5

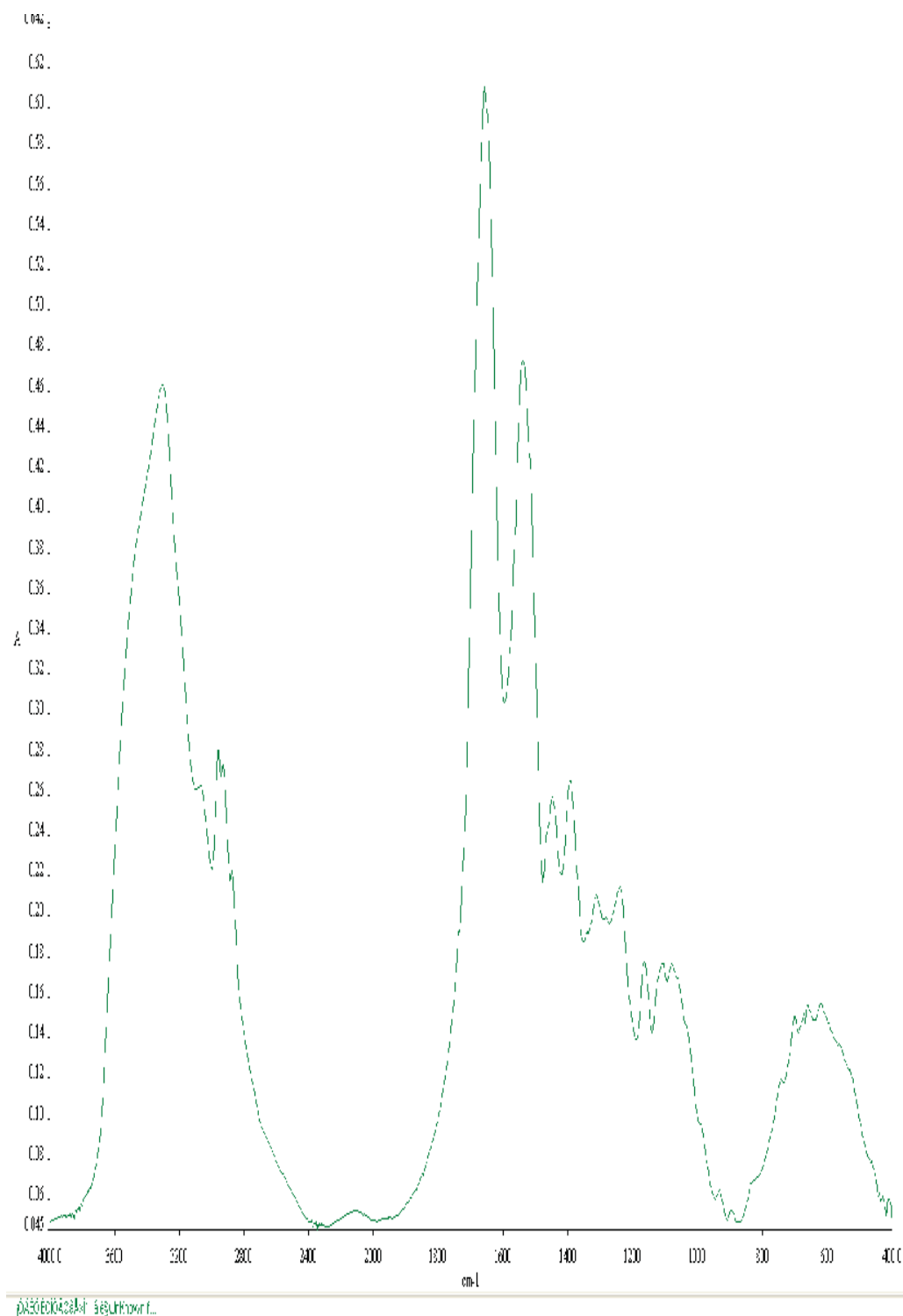


ภาพที่ 19 สเปกตรัมของกราบโลหิตตัวอย่างอาสาสมัครคนที่ 6

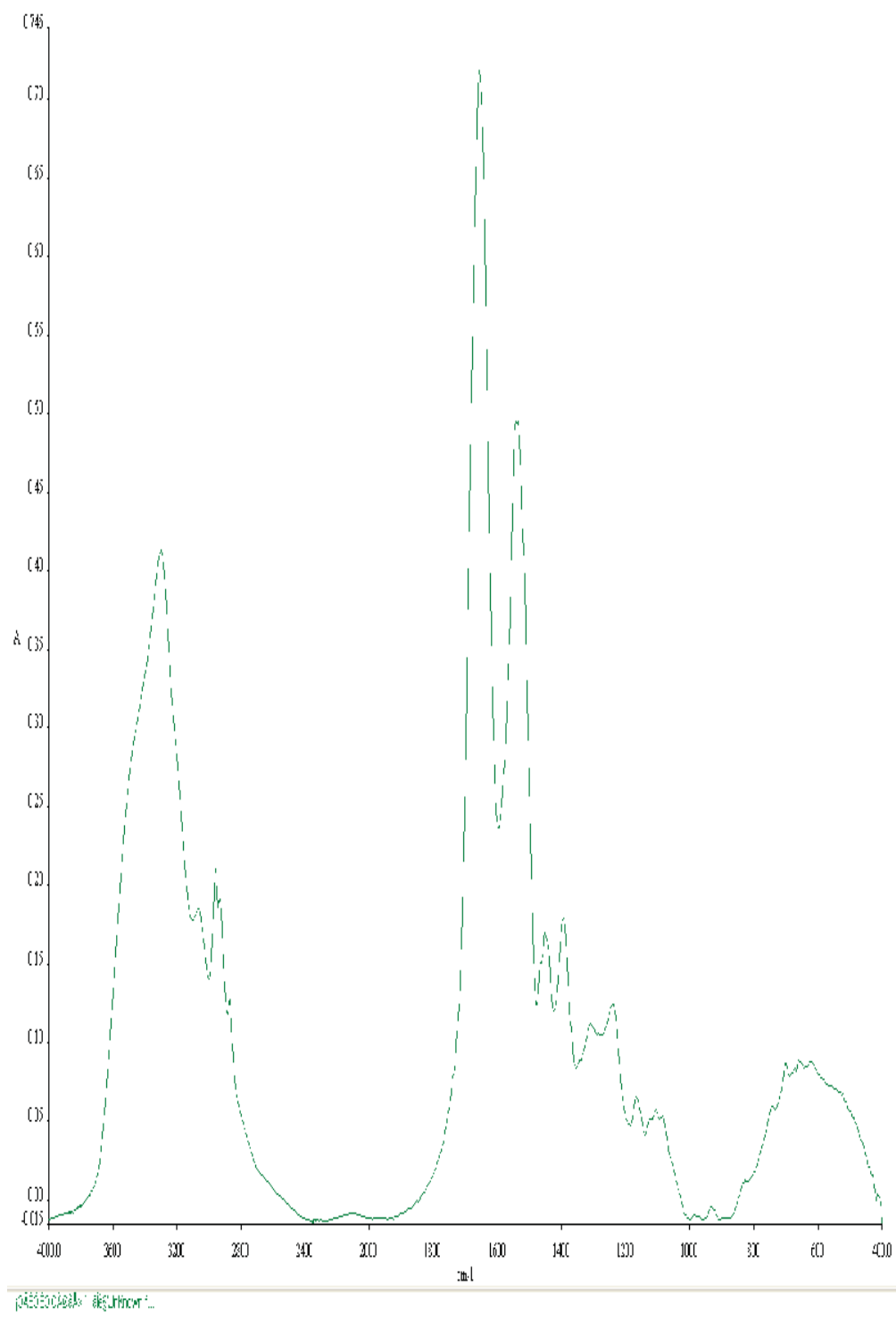




ภาพที่ 21 สเปกตรัมของคราบโลหิตตัวอย่างอาสาสมัครคนที่ 8



ภาพที่ 22 สเปกตรัมของกราบโลหิตตัวอย่างอาสาสมัครคนที่ 9



ภาพที่ 23 สเปกตรัมของกราบโลหิตตัวอย่างอาสาสมัครคนที่ 10

(13).

(12).

(11).

(10).

(9).

(8).

(7).

(6).

(5).

(4).

(3).

(2).

(1).

(0).

(11).

(10).

(9).

(8).

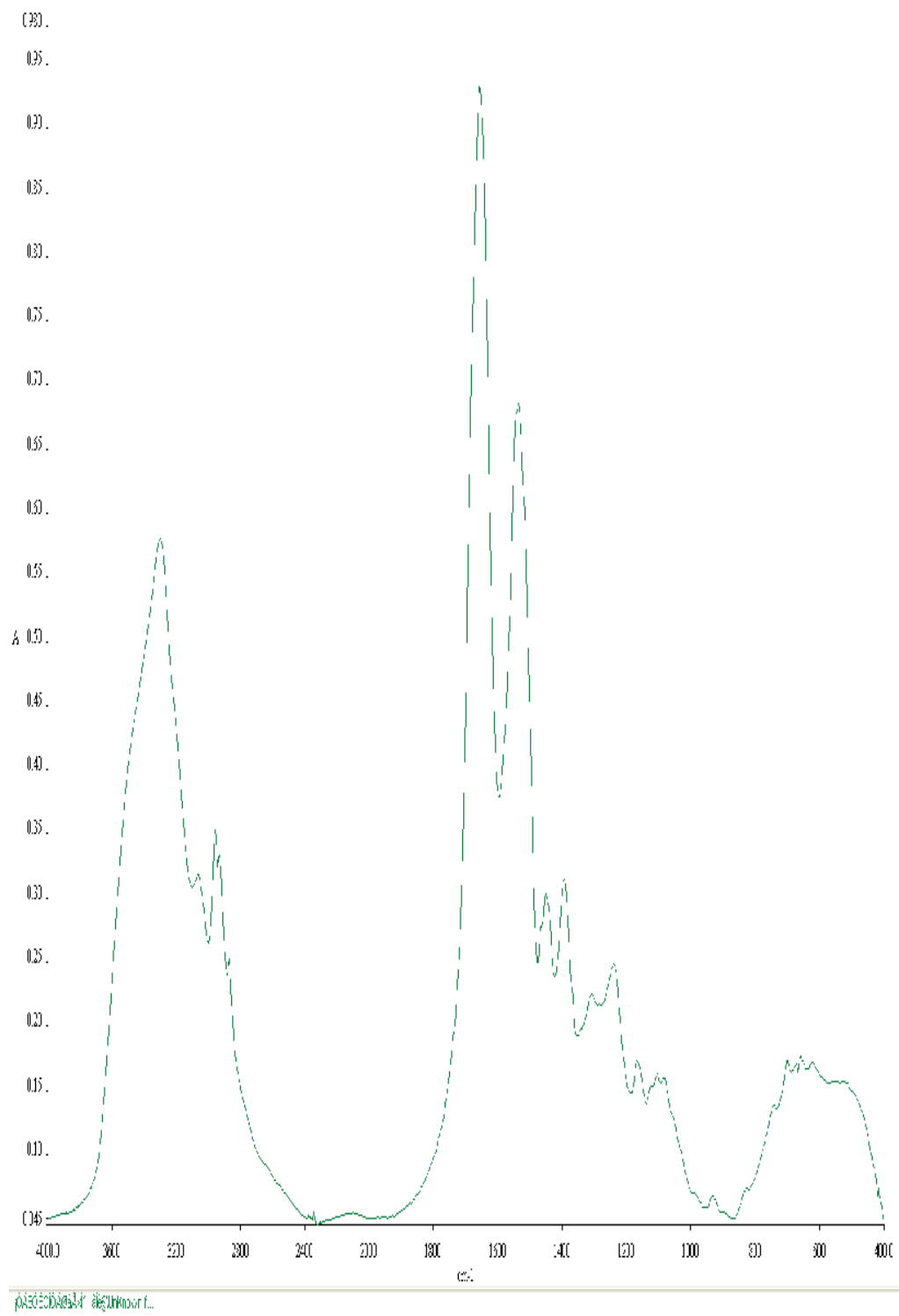
(7).

(6).

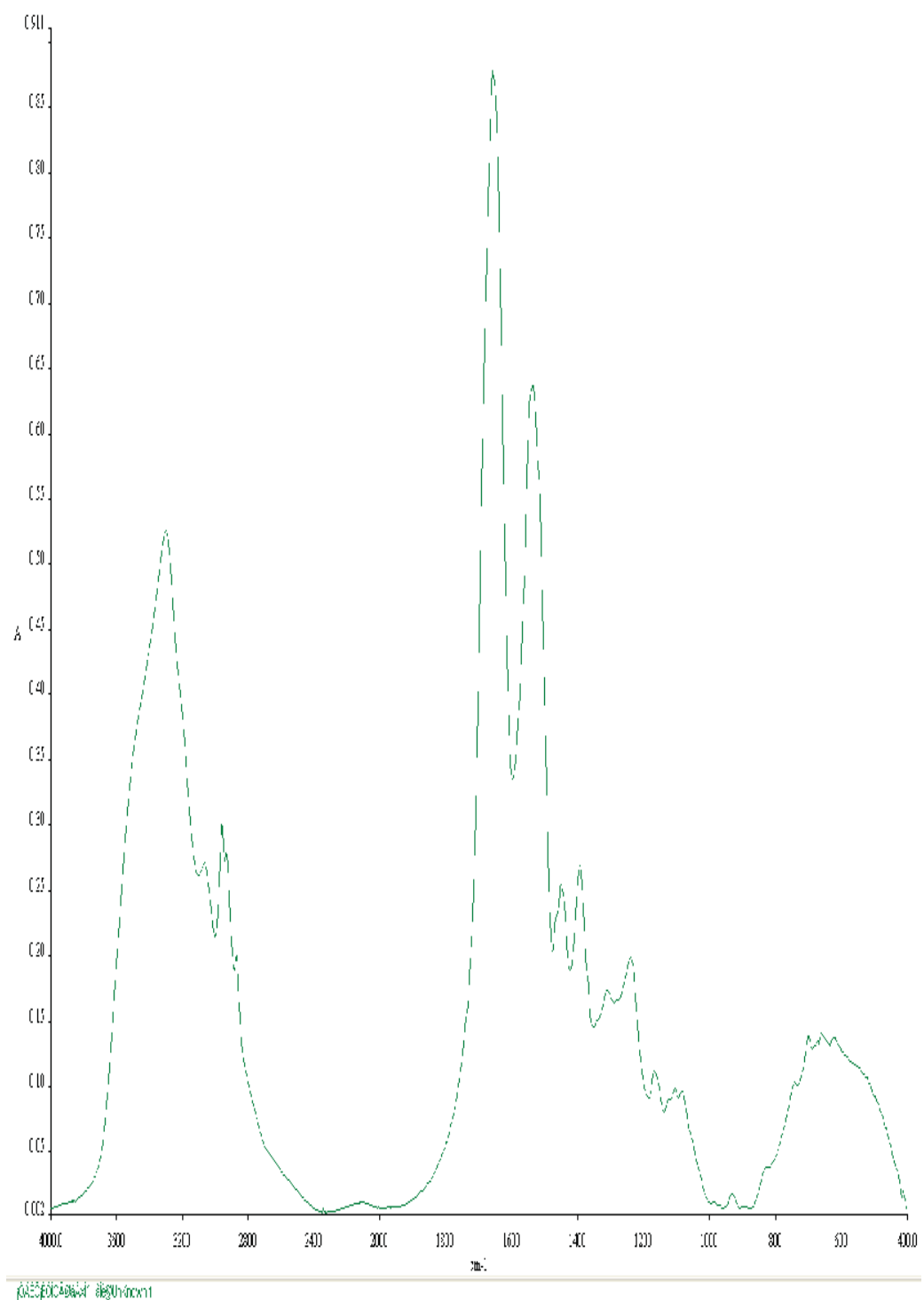
(5).

สเปกตรัมของกราบโลหิตตัวอย่างอาสาสมัครคนที่ 11

ภาพที่ 24 สเปกตรัมของกราบโลหิตตัวอย่างอาสาสมัครคนที่ 11



ภาพที่ 25 สเปกตรัมของกราบ โลหิตตัวอย่างอาสาสมัครคนที่ 12



ภาพที่ 26 สเปกตรัมของกราบโคลิคตัวอย่างอาสาสมัครคนที่ 13

ประวัติผู้วิจัย

ชื่อ-ชื่อสกุล นายสราสุช แหนมศิริ
 ที่อยู่ 85 หมู่ 7 ตำบลคองตราษ อําเภอโพธาราม จังหวัดราชบุรี 70120
 ที่ทำงาน งานขันสูตรสาธารณสุข โรงพยาบาลสมเด็จพระบูพรา จอมบึง
 อำเภอจอมบึง จังหวัดราชบุรี

ประวัติการศึกษา

พ.ศ. 2546 ประกาศนียบัตรวิทยาศาสตร์การแพทย์ สาขาพยาธิวิทยาคลินิก
 วิทยาลัยเทคโนโลยีทางการแพทย์และสาธารณสุขกาญจนากิ่ง
 สังกัดพระบรมราชชนก กระทรวงสาธารณสุข
 พ.ศ. 2549 ปริญญาตรี เอกอรัฐประศาสนศาสตร์บัณฑิต สาขาวิชาบริหารธุรกิจ
 มหาวิทยาลัยสุโขทัยธรรมราษฎร์
 พ.ศ. 2552 ศึกษาต่อระดับปริญญาโทบัณฑิต สาานนิติวิทยาศาสตร์
 บัณฑิตวิทยาลัย มหาวิทยาลัยศิลปากร

ประวัติการทำงาน

พ.ศ. 2546-ปัจจุบัน รับราชการตำแหน่ง เจ้าพนักงานวิทยาศาสตร์การแพทย์
 โรงพยาบาลสมเด็จพระบูพรา จอมบึง อำเภอจอมบึง
 จังหวัดราชบุรี